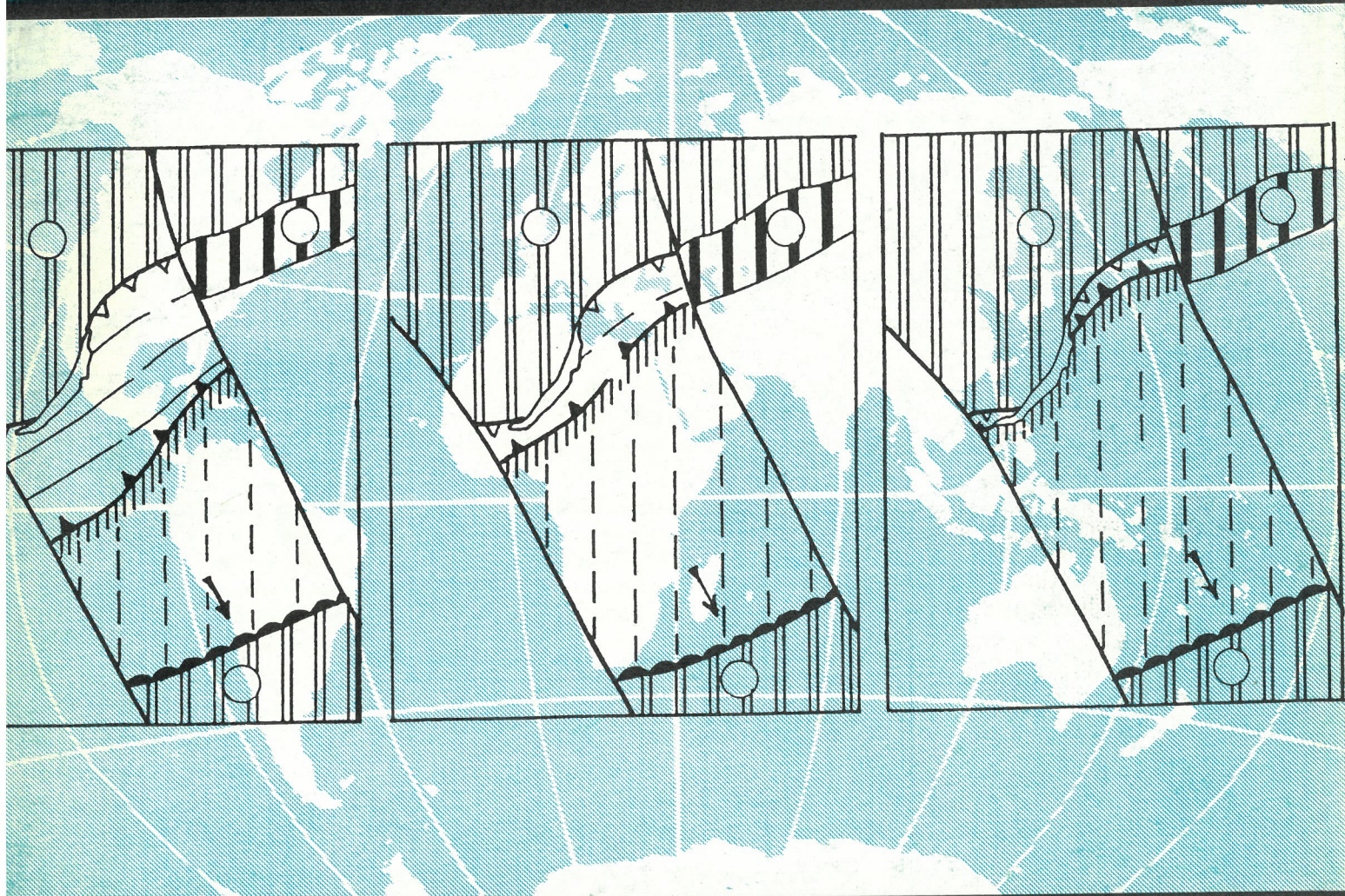


Отечественная геология



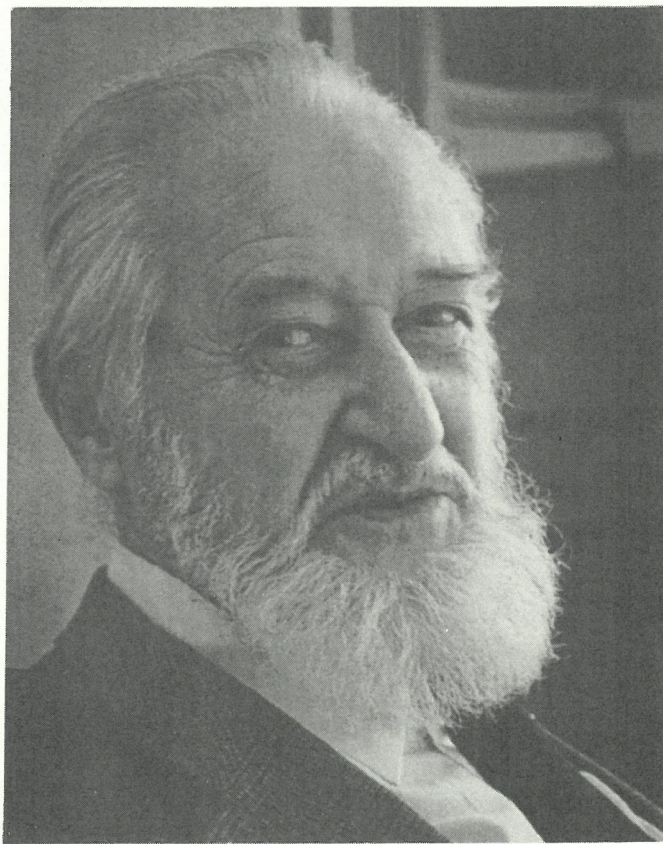
6/1997

ПРИРОДНЫЕ И ЭКОНОМИЧЕСКИЕ СВОЙСТВА
МИНЕРАЛЬНОГО СЫРЬЯ

рудоносность черных сланцев

МОНГОЛО-ЗАБАЙКАЛЬСКИЙ ГЕОБЛОК

90-летие Георгия Павловича Воларовича



Известному геологу России, выдающемуся организатору геологической науки, золотоискателю Георгию Павловичу Воларовичу исполнилось 90 лет.

По окончании в 1930 г. Ленинградского горного института Г.П.Воларович работал начальником поисковых и геолого-съемочных партий Дальневосточного геолуправления, а с 1935 г. — старшим научным сотрудником Дальневосточного филиала АН СССР.

Г.П.Воларович — один из первых отечественных геологов, начавших исследования по металлогенезу золота и цветных металлов, в первую очередь на Дальнем Востоке. В этом регионе в результате проведенных им поисковых работ были открыты месторождения свинца, цинка, золота и олова, в т.ч. группа оловорудных месторождений Кавалеровского (Лифудзинского) района. Открытие и исследование оловорудных месторождений на Дальнем Востоке, имеющих большое народнохозяйственное значение, в 1946 г. было отмечено присуждением Г.П.Воларовичу Государственной премии СССР.

Организованные Георгием Павловичем исследования золотоносности некоторых районов юга Дальнего Востока привели к открытию россыпных месторождений золота, а впоследствии и Токурского золоторудного месторождения.

Руководя с 1941 г. отделом перспективных разведок треста «Золоторазведка», Г.П.Воларович активно развивал проблемы металлогенического исследо-

вания, уделяя основное внимание изучению золоторудных районов и обобщению материалов по золотоносности страны, что привело к составлению «Карты золотоносных районов СССР», на которой были выделены перспективные площади, где впоследствии были открыты новые месторождения золота.

Работая в НИГРИзолото (впоследствии ЦНИГРИ) руководителем Геологического сектора и Поискового отдела, Г.П.Воларович составил первую «Карту золотоносности и платиноносности СССР м-ба 1:1 000 000». За эту работу ему в 1950 г. была присуждена вторая Государственная премия СССР.

В последующие годы Георгий Павлович занимался изучением закономерностей размещения золотоносных районов. По его инициативе со второй половины 60-х годов были развернуты поиски золотых и золото-серебряных месторождений в областях мезозойско-кайнозойского вулканизма на востоке страны. Его рекомендации по развитию геологоразведочных работ на рудное золото в этих районах привели к открытию крупных и богатых месторождений золота и серебра в Приамурье и Примагаданье, на Чукотке и Камчатке. С 1971 г. Г.П.Воларович — заместитель директора ЦНИГРИ по научной работе. Он руководил крупными исследованиями по геологии и металлогении благородных металлов важнейших регионов страны, в качестве куратора Мингео СССР по золоту координировал деятельность научно-исследовательских и производственных организаций.

По инициативе Г.П.Воларовича и под его руководством подготовлены и изданы методические руководства и инструкции, которые широко используются в практике геологоразведочной службы; он автор более 200 научных работ. Особое внимание Г.П.Воларович уделяет подготовке научных кадров: более 50 специалистов — его учеников стали докторами и кандидатами наук.

Г.П.Воларович — автор научно-популярных и мемуарных книг, брошюр и статей, среди которых наиболее широко известны «Цветные камни Подмосковья» и «Наука — золоту», отражающие широту диапазона его творческих интересов.

Следует особо отметить неиссякаемый оптимизм Георгия Павловича, его доброжелательность и объективность.

Г.П.Воларович — доктор геолого-минералогических наук, профессор, заслуженный деятель науки и техники Российской Федерации, почетный академик Международной Академии минеральных ресурсов.

Отмечая неоценимый вклад Г.П.Воларовича в развитие отечественной науки и открытие месторождений благородных металлов, развитие золотодобычи в стране, Коллегия Министерства природных ресурсов РФ, Ученый совет ЦНИГРИ, редколлегия журнала, многие его друзья, последователи и ученики сердечно поздравляют Георгия Павловича с юбилеем и желают ему доброго здоровья.

Отечественная геология

Ежемесячный научный журнал

Основан в марте 1933 года

6/1997

Учредители:

Министерство природных
ресурсов РФ
Российское геологическое общество
Центральный
научно-исследовательский
геологоразведочный институт
цветных и благородных металлов

РЕДАКЦИОННАЯ КОЛЛЕГИЯ

Главный редактор А. И. Кривцов

Бюро: *И. Ф. Глумов, Р. В. Доброльская* (зам. главного редактора),
В. А. Ерхов, В. И. Казанский, А. А. Кременецкий, Г. А. Машковцев,
Н. В. Милененко, Л. В. Оганесян (зам. главного редактора), *М. В. Рогачева* (отв. секретарь), *А. Ю. Розанов, Г. В. Ручкин* (зам. главного редактора), *Б. А. Соколов, В. И. Старостин, А. А. Шнак, А. Д. Щеглов* (председатель редсовета)

Редсовет: *А. Н. Барышев, Э. К. Буренков, В. С. Быкадоров, Н. Н. Ведерников,*
И. С. Грамберг, А. Н. Еремеев, А. И. Жамойда, А. Н. Золотов, А. Б. Каждан,
М. М. Константинов, Т. Н. Корень, Л. И. Красный, Н. К. Курбанов, Н. В. Межеловский,
И. Ф. Мигачев, В. М. Питерский, В. Ф. Рогов, Е. И. Семенов, В. В. Семенович,
В. С. Сурков, В. А. Ярмолюк

Содержание

ОРГАНИЗАЦИЯ, УПРАВЛЕНИЕ, ЭКОНОМИКА, НЕДРОПОЛЬЗОВАНИЕ

- Неженский И.А.*
Взаимосвязь природных и экономических характеристик минерального сырья

ГЕОЛОГИЧЕСКОЕ КАРТИРОВАНИЕ

- Буренков Э.К., Морозова И.А., Гуляева Н.Г., Головин А.А.*
Ландшафтная информация в решении задач регионального многоцелевого геохимического картирования

РУДНЫЕ И НЕРУДНЫЕ МЕСТОРОЖДЕНИЯ

- Соколов А.С., Фролов А.А.*
Историко-геологические взаимоотношения апатитов и фосфоритов

- Прудников С.Г.*
Условия образования и закономерности размещения россыпей Харальского золотоносного района

- Илупин И.П.*
Своеобразие кимберлитовой трубки Обнаженная и Куойского поля

ГЕОДИНАМИКА И СЕЙСМИЧНОСТЬ

- Афанасьев Г.В.*
Монголо-Забайкальский геоблок: дрейф континентальной плиты в рифее-палеозое и его последствия

ЛИТОЛОГИЯ, ПЕТРОЛОГИЯ, МИНЕРАЛОГИЯ, ГЕОХИМИЯ

- Жабин А.Г.*
Рудоподготовительные процессы в черносланцевых осадочных формациях

ГЕОФИЗИКА И ГЛУБИННОЕ СТРОЕНИЕ

- Масляев Г.А.*
Геологическая природа геофизических аномалий Балтийского щита

- 75-летие Игоря Сергеевича Грамберга

- К 300-ЛЕТИЮ ГЕОЛОГИЧЕСКОЙ СЛУЖБЫ РОССИИ
О чем писал наш журнал

Редакция: *Р.В.Доброзванская, Г.В.Вавилова, М.В.Рогачева*
Компьютерный набор *В.К.Комарова*
Верстка и оригинал-макет *А.Н.Щендригин*

Сдано в набор 05.05.97. Подписано в печать 22.05.97. Формат 60 × 88/8. Бумага мелованная.
Печать офсетная. Тираж 1000 экз.

Адрес редакции: 113545, Москва, Варшавское шоссе, 1296.
Телефон: 315-28-47

Отпечатано Государственным картографо-геодезическим предприятием «Поликарт»

Организация, управление, экономика, недропользование

УДК 553.04

© И.А.Неженский, 1997

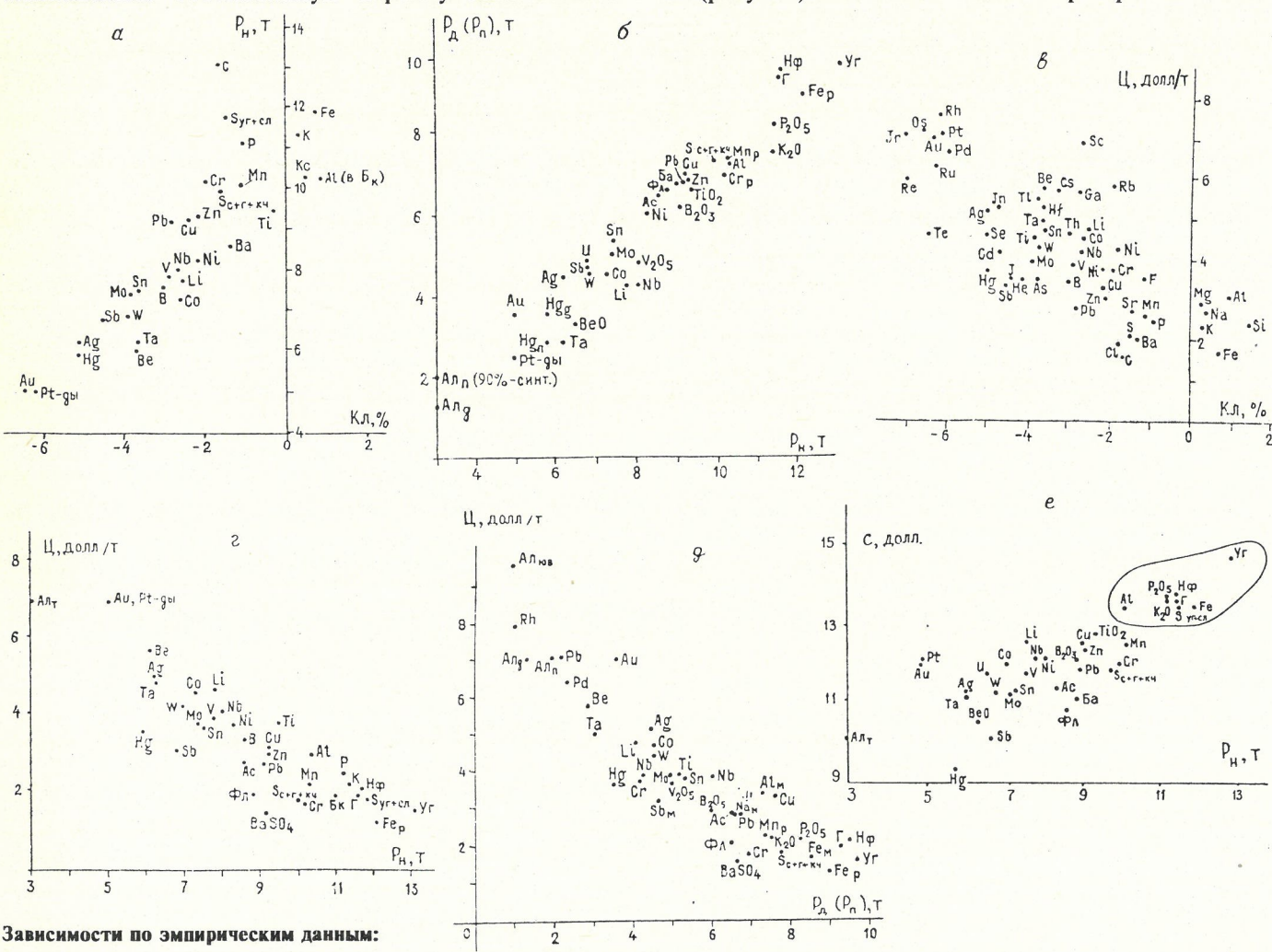
Взаимосвязь природных и экономических характеристик минерального сырья

И.А.НЕЖЕНСКИЙ (ВСЕГЕИ)

Данная проблема неоднократно обсуждалась [1–11 и др.]. Были попытки описания на теоретической или эмпирической основе взаимосвязей таких характеристик, как кларки элементов в земной коре, физико-химические свойства атомов элементов, промышленные концентрации элементов, запасы элементов в месторождениях полезных ископаемых, масса элементов в земной коре, начальные промышленные ресурсы, цены на минеральное сырье. Действительно, взаимосвязь этих характеристик, к которым можно добавить еще и годовую добывчу (годовое потребление) полезных ископаемых, общую стоимость минерального сырья и т.д., очень интересна и не всегда "очевидна". При этом, если физико-химические характеристики элементов можно считать более или менее установленными и не подвергающимися существенной корректировке во времени, то экономические данные постоянно уточняются. Поэтому назрела необходимость представить современную, максимально обоснованную картину взаимосвязей

между основными природными и экономическими характеристиками минерального сырья: начальными мировыми ресурсами P_n и кларками элементов Кл, годовой добывчей (годовым потреблением) минерального сырья P_d , P_p и начальными мировыми ресурсами, ценой на минеральное сырье Ц и кларками, ценой и начальными мировыми ресурсами, ценой и годовой добывчей (потреблением), валовой стоимостью минерального сырья С и начальными (текущими) мировыми ресурсами. Последние опубликованные данные по мировым ресурсам минерального сырья, его добывче, потреблению и т.п. относятся к началу 1993 г. [12]. Соответственно все остальные необходимые составляющие проводимого анализа брались максимально приближенными к этому времени (кларки — по работе [13], цены — по работе [14]).

Для наглядного отображения соответствующих связей по эмпирическим данным были построены графики (рисунок). Учитывая большой разброс значений



Зависимости по эмпирическим данным:

α — между начальными промышленными мировыми ресурсами минерального сырья P_n и кларками элементов Кл; β — годовой добывчей P_d и годовым потреблением P_p минерального сырья и его начальными промышленными мировыми ресурсами P_n ; γ — ценами на минеральное сырье Ц и кларками элементов; δ — ценами на минеральное сырье Ц и его годовой добывчей P_d или потреблением P_p ; ε — общей стоимостью минерального сырья С и его начальными промышленными ресурсами P_n .

Кларки химических элементов, мировые промышленные ресурсы минерального сырья и коэффициенты, характеризующие соотношения между ними

Химический элемент	Среднее содержание в земной коре, кларк, % [13]	Мировые начальные ресурсы элемента в месторождениях P_H , т [12]	α в уравнении $P_H = \alpha + K_{\text{кл}}$	$K = P_H/K_{\text{кл}}, 10^{10}$ т	$K, 10^{10}$ т [6]
Алюминий	8,07	$2,1 \cdot 10^{10}$ (в бокситах)	9,4	0,26	0,1
Титан	$5,3 \cdot 10^{-1}$	$1,9 \cdot 10^9$	9,8	0,35	0,1
Бериллий	$2,0 \cdot 10^{-4}$	$1,2 \cdot 10^6$	9,8	0,6	$0,06$
Тантал	$2,2 \cdot 10^{-4}$	$1,5 \cdot 10^6$	9,8	0,7	0,2
Кобальт	$2,3 \cdot 10^{-3}$	$2,1 \cdot 10^7$	9,8	0,91	0,2
Барий	$4,7 \cdot 10^{-2}$	$4,4 \cdot 10^8$	10	0,94	0,2
Литий	$2,5 \cdot 10^{-3}$	$6,6 \cdot 10^7$	10,5	2,6	0,3
Никель	$7,0 \cdot 10^{-3}$	$1,9 \cdot 10^8$	10,5	2,7	0,9
Ниобий	$2,1 \cdot 10^{-3}$	$1,0 \cdot 10^8$	10,8	4,8	0,9
Ванадий	$1,2 \cdot 10^{-3}$	$6,2 \cdot 10^7$	10,8	5,2	0,25
Вольфрам	$1,4 \cdot 10^{-4}$	$8,8 \cdot 10^6$	10,8	6,3	1
Ртуть	$7,2 \cdot 10^{-6}$	$7,1 \cdot 10^5$	11	10	9,6
Калий	2,13	$2,4 \cdot 10^{11}$	11	11	2,2
Марганец	$9,0 \cdot 10^{-2}$	$1,1 \cdot 10^{10}$	11,2	12	7,5
Олово	$2,3 \cdot 10^{-4}$	$3,3 \cdot 10^7$	11,3	14	6,8
Железо	5,33	$9,0 \cdot 10^{11}$	11,3	17	8
Платина	$5,7 \cdot 10^{-7}$	$1,0 \cdot 10^5$	11,3	19	0,2
Молибден	$1,2 \cdot 10^{-4}$	$2,3 \cdot 10^7$	11,3	19	5
Серебро	$7,3 \cdot 10^{-6}$	$1,5 \cdot 10^6$	11,3	20	6,6
Сурьма	$3,0 \cdot 10^{-5}$	$6,5 \cdot 10^6$	11,3	22	4
Золото	$3,5 \cdot 10^{-7}$	$9,4 \cdot 10^4$	11,5	27	31,4
Цинк	$6,8 \cdot 10^{-3}$	$1,9 \cdot 10^9$	11,5	28	2,4
Сера	$3,3 \cdot 10^{-2}$	$1,0 \cdot 10^{10}$ (с+г+кч)	11,6	30	5,4
Медь	$5,3 \cdot 10^{-3}$	$1,8 \cdot 10^9$	11,7	34	7,2
Хром	$9,3 \cdot 10^{-3}$	$6,0 \cdot 10^9$	12,2	60	5,4
Свинец	$1,3 \cdot 10^{-3}$	$1,4 \cdot 10^9$	12,2	110	7
Фосфор	$1,0 \cdot 10^{-1}$	$1,5 \cdot 10^{11}$	12,2	150	7,2
Сера	$3,3 \cdot 10^{-2}$	$6,0 \cdot 10^{11}$ (уг+сл)	13,3	1800	—
Углерод	$2,0 \cdot 10^{-2}$	$1,4 \cdot 10^{13}$ (уг)	14,8	70 000	—

всех характеристик, при построении графиков был выбран логарифмический масштаб. Интуитивно ясно, что связи между ценами и начальными ресурсами, ценами и добывчей (потреблением), ценами и кларками должны быть обратными, а между начальными ресурсами и кларками, добывчей (потреблением) и начальными ресурсами (менее очевидно), валовой стоимостью мировых ресурсов и их количеством в недрах (еще менее очевидно, поскольку малораспространенные виды сырья стоят дороже) — прямыми. Поэтому логичной представляется форма аппроксимации для обратных связей в виде уравнения $y = a - x$, для прямых связей $-y = a + x$ и $y = x - a$. Эти уравнения применимы для всех видов минерального сырья, однако величина a в каждом уравнении для разных видов сырья различна. Приведем значения параметра a для шести уравнений (см. рисунок).

(1) $\lg P_H = a + \lg K_{\text{кл}}$ (см. рисунок, α); $a = 9,4$ для Al в бокситах; 9,8 — Ti, Be, Ta, Co; 10 — Ba; 10,5 — Li, Ni; 10,8 — Nb, V, B, W; 11 — Hg, K; 11,3 — Mn, Fe, Sn, Pt, Mo, Ag, Sb; 11,5 — Au, Zn; 11,6 для Sc+г+кч; 11,7 — Cu; 12,2 — Cr, Pb, P; 13,3 — Syг+сл; 14,8 — Сут;

(2) $\lg P_D(P_H) = \lg P_H - a$ (см. рисунок, β); $a = 1,2$ для Al_п; 1,6 — Au; 1,9 — Ag, Al_д; 2,2 — U; 2,3 — Hf, Sb, Sn, Фл; 2,5 — Mo, Г, Hg, Cu, Ni, W, Pb; 2,8 — Pt, Zn, Sc+г+кч; 3 — Co, TiO₂; 3,2 — Mn_п, B₂O₃; 3,4 — Al, V₂O₅; 3,5 — Fe, Cr_п, P₂O₅, BeO, Ta; 3,8 — Уг, Li; 4 — Nb; 4,2 — K₂O;

(3) $\lg \Pi = a - \lg K_{\text{кл}}$ (см. рисунок, θ); $a = 1,9$ для Te; -1,3 — Sb, Hg; -0,9 — Re, J; -0,7 — Cd, He, Br; -0,5 — Se; -0,3 — As; 0,1 — Jr, Ru, Ag, Mo, Cl, Pb, Сут; 0,5 — S; 0,6 — Os, Au, Pd, Jn, Tl, W, B, Ba; 0,9 — Pt, Zn; 1,1 — Sn, V, Cu; 1,2 — Sr, U, Rh, Ta; 1,5 — P, Mn; 1,7 — Ge, Hf, Ni, Th, Nb; 2,2 — Be, Co; 2,5 — Fe, F, Cs, Zr, Li; 2,6 — K; 3 — Na, Ga; 3,2 — Mg; 3,6 — Ti; 3,8 — Rb, Al, Si; 4,2 — Sc;

(4) $\lg \Pi = a - \lg P_H$ (см. рисунок, ϱ); $a = 9,2$ для Hg; 9,9

— Sb, Al_п; 10,6 — Ba; 10,8 — Фл; 10,9 — Ta; 11 — Ag, Mo, W, Sn; 11,2 — Ac; 11,7 — Sc+г+кч; 11,8 — Cr, Pb, Co, Be, Au, Pt, V; 12 — B, Ni, Nb; 12,2 — Zn; 12,5 — Mn, Li, Cu; 13,5 — Fe_п, Syг+сл, Г, Нф, К, Р, Al, Ti; 14,5 — Уг;

(5) $\lg \Pi = a - \lg P_D(P_H)$ (см. рисунок δ); $a = 7$ для Hg, U; 7,6 — Cr_п, Sb; 8 — Ba, Nb, Al_д, Ta; 8,5 — Cr_п, B₂O₃, Sn, Mg, Ti, Фл, W, Li, Be, Pd, Al_п, Rh, V₂O₅; 9 — Co; 9,5 — Mn_п, Mn_п, K₂O, Ag, Sc+г+кч, Pb; 10 — Fe_п, Fem, Zn, Ni; 10,3 — P₂O₅; 10,5 — Al, Au, Al_{люв}; 10,8 — Cu; 11,2 — Г, Уг; 11,5 — Нф;

(6) $\lg C = a + \lg P_H$ (см. рисунок, ϵ); $a = 1,2$ для Fe; 1,5 — Уг; 1,8 — Cr, Sc+г+кч, Syг+сл; 2 — Нф, Mn, Ba, Фл, Г; 2,1 — P₂O₅, K₂O; 2,7 — Ac, Pb; 3 — Zn, Al; 3,2 — Hg, Sb, Cu; 3,8 — Ni, Ti, Mo, Sn; 4 — BeO, V; 4,1 — W, Nb; 4,7 — Co, Li; 5 — Ag, U, Ta; 6,9 — Au; 7 — Al_п, Pt.

Анализ приведенных уравнений представляет собой самостоятельную задачу и может идти по разным направлениям. Отметим, например, следующее. Зависимость начальных ресурсов полезных ископаемых (на глубинах, доступных для их эксплуатации) от кларков соответствующих элементов в земной коре обычно описывалась уравнением типа $P_H = K K_{\text{кл}}$ [1, 2, 6–11 и др.], где K — коэффициент пропорциональности, усредненный или имеющий значения для каждого элемента или групп элементов. По нашим данным, можно также, причем более обоснованно, рассчитать значения K как $K = P_H/K_{\text{кл}}$, а затем сравнить с данными других исследователей, например, Л.Н.Овчинникова [6] (таблица). Интересно отметить, что рассчитанные нами значения K и a в первом уравнении полностью коррелируются между собой и в значительной мере с данными работы [6], однако иногда с существенными уточнениями, поскольку нами учитывались более полные и точные данные по состоянию на начало 1993 г. [12].

К интересным результатам приводит анализ описываемой в уравнении (6) зависимости между валовой

потенциальной стоимостью ресурсов минерального сырья в недрах С и их количеством Р_н. Подавляющая часть валовой стоимости минерального сырья приходится на несколько его видов, при этом большая — на угли. На рисунке, *е* выделены виды сырья, суммарная стоимость которых составляет 96 % общей стоимости. Последняя равна примерно 900 трлн. долл. В целом стоимостной ряд полезных ископаемых (в %) для мира в целом имеет следующий вид: уголь — 62,3; нефть — 7,2; фосфатные руды — 5,7; газ — 4,7%; сера — 4,7, калийные соли — 4,4 в пересчете на K₂O; железные руды — 3,3; бокситы — 3; пигментный диоксид титана и титан — 0,7 и т.д. Кстати, из общей стоимости минерального сырья на долю России приходится порядка 260 трлн. долл. (29 %). Это — валовая стоимость ее начальных ресурсов, которую не следует путать с товарной, рыночной стоимостью запасов и прогнозных ресурсов минерального сырья в недрах [15].

СПИСОК ЛИТЕРАТУРЫ

1. Булкин Г.А. Количественная оценка прогнозных запасов руд. — М.: Недра, 1984.
2. Булкин Г.А., Неженский И.А. Модели для количественного прогнозирования минерального сырья. — Л.: Недра, 1991.
3. Иванов В.В., Панфилов Р.В. О геохимической корреляции минеральных ресурсов // Докл. АН СССР. 1979. Т. 249. № 1. С. 193—196.
4. Канищев А.Д., Менакер Г.И. Средние содержания 15 химических элементов в земной коре Забайкалья // Геохимия. 1974. № 2. С. 187—202.
5. Квятковский Е.М., Новиков Г.Ф. Некоторые количественные литохимические критерии прогнозной оценки рудоносных площадей на различных этапах исследований // Зап. ЛГИ. 1974. № 2. Т. 67. С. 93—110.
6. Минеральные ресурсы зарубежных стран. — М.: ВНИИзарубежгеология, 1994.
7. Неженский И.А., Павлова И.Г. Методические основы оценки стоимости российских недр // Минеральные ресурсы России. Экономика и управление. 1995. № 4. С. 13—18.
8. Овчинников Л.Н. Прогнозная оценка мировых запасов в месторождениях суши // Докл. АН СССР. 1971. Т. 196. № 3. С. 683—686.
9. Овчинников Л.Н., Лутков Р.И. Металлы: кларки — запасы — цены // Редкие элементы в геологии. М., 1982. С. 5—9.
10. Овчинников Л.Н. Прикладная геохимия. — М.: Недра, 1990.
11. Сафонов Н.И., Мещеряков С.С., Иванов Н.П. Энергия рудообразования и поиски полезных ископаемых. — Л.: Недра, 1978.
12. Соловьев А.П. Геохимические методы поисков месторождений полезных ископаемых. — М.: Недра, 1985.
13. Цены мирового рынка на минеральное сырье и продукты его переработки в 1992—1993 гг. — М.: ВНИИзарубежгеология, 1993.
14. Allais M. Method of appraising economic prospects of mining exploration over large territories: Algerian Sahara case study // Management Sci. 1957. Vol. 3. P. 285—345.
15. McKelvey V.E. Relation of reserves of elements to their abundes // Amer. J. Sci. 1960. Vol. 258 A. P. 234—241.

Принята редакцией 26 ноября 1996 г.

Геологическое картирование

УДК 550.84

© Коллектив авторов, 1997

Ландшафтная информация в решении задач регионального многоцелевого геохимического картирования

Э.К.БУРЕНКОВ, И.А.МОРОЗОВА, Н.Г.ГУЛЯЕВА, А.А.ГОЛОВИН (ИМГРЭ)

Несомненно, ими и методы геохимии ландшафтов, вскрывающие прямые и обратные связи между природными телами и опирающиеся на принципы историзма, унаследованности, зональности и дифференциированности, составляют важную методологическую основу многоцелевого геохимического картирования. Однако разработанность методики ландшафтно-геохимического анализа в отношении разных прикладных задач неодинакова.

Ландшафтно-геохимические исследования сопровождают поиски полезных ископаемых практически с возникновения геохимических методов [4]. К настоящему времени ландшафтно-геохимическое районирование по условиям проявляемости вторичных геохимических ореолов рассеяния, а следовательно и применения геохимических методов поисков, оформилось в самостоятельное направление.

Многолетний опыт поискового геохимического картирования успешно реализуется и в эколого-геохимических исследованиях [1]. Методологическая основа этих исследований — геохимия ландшафта, основным положением которой является признание неоднородности территорий по ответной реакции на равное техногенное воздействие. Наименее разработаны приемы ландшафтно-геохимического анализа для агрохимии. Вместе с тем, уже сама топонимика сельскохозяйственных районов ("черноземье", "нечерноземье" и т.п.)

указывает на их соответствие определенным ландшафтным условиям. Все перечисленные направления прикладной геохимии опираются на опробование и анализ компонентов ландшафта (почв, донных отложений, вод), что и выдвигает ландшафтно-геохимическую карту в качестве одной из важных (наряду с геологической) основ многоцелевого геохимического картирования (МГХК).

Общее представление о разнообразии условий миграции элементов можно составить по только что изданной обзорной карте "Условия формирования гипергенных геохимических полей России" масштаба 1:5 000 000 (автор И.Н.Крицук). Работа выполнена в рамках Федеральной программы "Геохимическая карта и Геоэнология России", реализуемой под руководством ИМГРЭ. Не вдаваясь в подробности методики и содержания карты, заметим лишь, что техногенные аномалии в ней, так же как и рудогенные, рассматриваются как неотъемлемая часть ландшафта. В связи с этим реализуется возможность типизации территорий их формирования. В основе такой типизации лежит аналитическое сопоставление направленности поступления техногенных или рудогенных продуктов. Это дает возможность прогнозировать проявляемость вторичных ореолов рассеяния и особенности техногенного загрязнения.

В первом приближении можно говорить о трех типах районов. Первый охватывает главным образом горные сильнорасчлененные ландшафты и характеризуется формированием открытых контрастных вторичных ореолов рассеяния рудных объектов. Для района харак-

* Если учитывать не только самородную, газовую серу и серу в колчеданных месторождениях, стоимость которой составляет сотые доли процента от общей, но и серу, содержащуюся в углях и сланцах, данные по которой приведены в работе [12].

1. Краткая характеристика геохимических ландшафтов Восточно-Забайкальского и Московского полигонов МГХК-1000

Геохимические ландшафты	Число точек	Особенности поверхностных вод	Ведущие геохимические процессы	Геохимическая ассоциация элементов в гумусовом горизонте почв (в кларках концентрации)
Восточно-Забайкальский полигон				
Горно-таежные расчлененных средне-низкогорий с горными мерзлотно-таежными почвами на автохтонных щебнистых мало мощных образованиях	230	M=0,5 г/л рН 7–7,6 $\text{YCO}_3-\text{SO}_4-\text{Cl}$	Криогенный механогенез, оксидогенез	$\text{F}_{4,0}(\text{Pb B})_{3,5}\text{Zn}_{2,2}\text{Cu}_{1,7}\text{Ba}_{1,4}(\text{Mn Rb})_{1,3}$ $\text{Sc}_{1,2}(\text{Co Mo})_{1,1}\text{V}_{0,8}(\text{Zr Ga Cr})_{0,7}(\text{P Ni})_{0,6}$ $\text{Be}_{0,5}\text{Sn}_{0,4}$
Горные степные слаборасчлененных низкогорий с горными глубокопромерзающими черноземами на автохтонных щебнистых образованиях повышенной мощности	140	M=1 г/л рН 7,6–7,8 HCO_3	Криогенный механогенез, гуматогенез	$\text{F}_{3,8}\text{Pb}_{3,0}\text{B}_{2,5}\text{Rb}_{1,6}\text{Cu}_{1,5}(\text{Zn Ba})_{1,4}\text{Mn}_{1,1}$ $\text{Mo}_{1,0}(\text{Sc Co})_{0,9}(\text{Zr Ti V})_{0,8}\text{Cr}_{0,6}(\text{P Ga Be Ni})_{0,5}\text{Sn}_{0,3}$
Лугово-степные аккумулятивных равнин с глубокопромерзающими черноземами на аллюхтонных суглинистых отложениях	210	M=1,7 г/л рН 7,6–7,8 HCO_3-SO_4	Криогенез, гуматогенез, кальцитогенез	$\text{F}_{3,5}\text{Pb}_{2,5}\text{B}_{2,5}\text{Rb}_{1,6}\text{Cu}_{1,3}\text{Ba}_{1,2}\text{Mo}_{1,0}\text{Sc}_{0,9}$ $(\text{Mn Zr V Co Zn Ti})_{0,8}(\text{P Be Ga Ni})_{0,5}$ $\text{Cr}_{0,4}\text{Sn}_{0,3}$
Сухо-степные аккумулятивных равнин с глубокопромерзающими каштановыми почвами при участии солончаков на аллюхтонных супесчано-суглинистых отложениях	220	M=5,7 г/л рН 8–8,5 $\text{Cl}-\text{HCO}_3-\text{SO}_4$	Криогенез, кальцитогенез, галогенез	$\text{F}_{4,0}\text{Pb}_{3,0}\text{B}_{2,0}\text{Rb}_{1,4}\text{Mn}_{1,1}(\text{Cu Mo})_{1,0}\text{Ti}_{0,9}$ $\text{Zr}_{0,8}(\text{Sc V})_{0,7}\text{Zn}_{0,6}(\text{Co Ga Be})_{0,5}(\text{Cr P Ni})_{0,3}\text{Sn}_{0,2}$
Московский полигон				
Смешанные леса гляциональных реликтовых аккумулятивных равнин с дерново-подзолистыми почвами на конечно-моренных и покровных суглинках	317	M=0,4 г/л $\text{HCO}_3-\text{Cl}-\text{SO}_4$	Опалогенез, оксидогенез, гуматогенез	$\text{B}_{4,1}\text{Pb}_{3,9}\text{Zn}_{2,9}(\text{P Cu})_{1,9}\text{V}_{1,2}\text{Mn}_{1,1}(\text{Zr Co Ga})_{0,9}\text{Ti}_{0,8}(\text{Cr Mo})_{0,6}\text{Sn}_{0,4}(\text{Sc Ni Ba})_{0,3}$
Смешанные леса флювиогляциальных реликтовых аккумулятивных равнин с болотно-подзолистыми почвами на водно-ледниковых песках	59	M=0,3 г/л $\text{HCO}_3-\text{SO}_4-\text{Cl}$	Опалогенез, глеегенез, гуматогенез	$\text{Pb}_{3,2}\text{B}_{3,1}\text{P}_{2,3}\text{Zn}_{2,0}\text{Cu}_{1,6}(\text{Mn V Mo})_{0,8}(\text{Ti Zr})_{0,6}(\text{Co Ga})_{0,5}\text{Cr}_{0,4}(\text{Sc Sn})_{0,3}(\text{Be Ni Ba})_{0,2}\text{Sr}_{0,1}$
Болота флювиогляциальных реликтовых аккумулятивных равнин	46	M=0,4 г/л HCO_3-SO_4	Детритогенез, опалогенез	$\text{Pb}_{3,0}\text{P}_{3,0}\text{B}_{2,7}\text{Zn}_{1,7}\text{Cu}_{1,5}\text{Mn}_{0,9}(\text{V Mo})_{0,6}$ $(\text{Zr Ga Co Ti})_{0,5}(\text{Sc Cr})_{0,3}(\text{Sn Be Ni Ba})_{0,2}\text{Sr}_{0,1}$
Широколиственные леса аккумулятивно-денудационных флювиально-делювиальных равнин со следами реликтовых гляциальных равнин с серыми лесными почвами на покровных суглинках	51	M=0,4 г/л HCO_3	Гуматогенез, опалогенез	$\text{B}_{5,6}\text{Pb}_{4,2}\text{Zn}_{2,8}\text{Cu}_{2,1}\text{P}_{1,9}\text{V}_{1,4}\text{Mn}_{1,2}\text{Co}_{0,9}(\text{Ti Zr})_{0,7}(\text{Ga Mo Cr})_{0,6}(\text{Sn Ni})_{0,4}\text{Sc}_{0,3}(\text{Ba Be})_{0,2}\text{Sr}_{0,1}$
Лугово-степные флювиально-делювиальные аккумулятивно-денудационных равнин с черноземами на покровных суглинках	7	M=0,5 г/л HCO_3	Гуматогенез, (опалогенез)	$\text{B}_{4,3}\text{Pb}_{3,8}\text{Zn}_{3,0}\text{P}_{2,5}\text{Cu}_{2,1}\text{V}_{1,8}\text{Mn}_{0,9}(\text{Zn Co})_{0,8}\text{Ti}_{0,7}(\text{Cr Mo Ni})_{0,5}(\text{Sn Ga Sc})_{0,4}(\text{Be Ba})_{0,2}\text{Sr}_{0,1}$

терно обнаружение жесткой корреляции вторичных ореолов с первичными и активный вынос продуктов загрязнения.

Второй тип районов отвечает ландшафтам структурно-денудационных равнин, плоскогорий, плато и характеризуется благоприятными условиями для проявляемости геохимических аномалий техногенной природы и ограниченно благоприятными для ореолов рудной природы. Среди последних преобладают ореолы закрытого типа и открытые выщелоченные, слабо соответствующие составу первичных ореолов.

Третий тип отвечает ландшафтам аккумулятивных слаборасчлененных равнин. Аномалии рудных объектов в современных ландшафтах не выявляются. Особенности формирования загрязнения определяются преобладанием процессов аккумуляции, что приводит к прогрессивному накоплению техногенных продуктов.

Естественно, что масштаб ландшафтно-геохимической карты, как и само ее содержание (в рамках общей направленности) определяются в соответствии с конкретным объемом прикладных задач. Ландшафтно-геохимические карты мелкомасштабного многоцелевого геохимического картирования масштаба 1:1 000 000 (МГХК-1000) представляют собой результат системного анализа сведений о неотектонических, геоморфологических, биоклиматических особенностях, почвенном и четвертичном покровах; выявления устойчивых связей между перечисленными факторами и последующей характеристики выделенных комплексов, т.е. геохимических ландшафтов.

Геохимические свойства ландшафтов рассчитываются непосредственно по результатам систематического опробования (1 проба на 100 км²), выполненного в процессе МГХК-1000 и последующего анализа проб спектральным полуколичественным анализом. Расчеты выполнялись только для элементов, встречаемость которых составляет не менее 70 %.

Характеристика свойств геохимических ландшафтов для рассматриваемого масштаба осуществлялась на регионально-зональном уровне и складывалась из описания ведущих геохимических процессов, определяющих миграцию элементов, расчета фоновых содержаний и кларков концентрации элементов в разных ландшафтных средах, а также коэффициентов радиальной и местной миграции.

Рассмотрим результаты ландшафтно-геохимических исследований по двум полигонам: Восточно-Забайкальскому (ВЗП) и Московскому.

Первый расположен на юге Читинской области (северная половина листа М-50). Общая площадь полигона 78 000 км². Опробование осуществлено сотрудниками ГГП "Читагеолсъемка" и ИМГРЭ. Общее число точек комплексного опробования (гумусовый и иллювиальный горизонты почв, донные отложения, коренные породы, воды) — 800. Территория Московского полигона соответствует Московской области. Общая площадь составляет 47 000 км². Опробование почв выполнено сотрудниками ИМГРЭ, вод и донных отложений специалистами ГГК "Геологоразведка". Общее число точек комплексного опробования 480. Распределение

2. Регионально-зональные оценки фона микроэлементов в почвах, мг/кг

Элемент	Почвы мира		Восточно-Забайкальский полигон				Московский полигон				
	[2]	[5]	Мерзлотно-таежные	Горные черноземы	Черноземы	Каштановые	Дерново-подзолистые	Болотно-подзолистые	Болотные	Серые лесные	Черноземы
Цинк	50	90	110	70	40	30	147	101,5	84,5	141	150
Свинец	10	35	35	30	25	30	39,3	32	30,5	42	37,5
Фтор	200	200	800	750	700	800	—	—	—	—	—
Хром	200	70	60	50	40	25	53,9	32,8	28,3	55,4	42,5
Бор	10	20	35	25	25	20	40,8	31	27,3	56,6	42,5
Кобальт	10	8	11	9	8	5	9,1	4,7	4,9	9	7,5
Никель	40	50	25	20	20	10	10,3	8,9	8,9	16,7	20
Медь	20	30	35	30	25	20	38,3	32,7	30,5	42,4	42,5
Молибден	2	1,2	2	2	2	2	1,2	1,4	1,2	1,2	1
Ванадий	100	90	80	80	80	65	115	71	61,1	140	175
Марганец	850	1000	1100	900	700	900	934	639	766	1022	725
Барий	500	500	700	700	600	700	146	95	86,4	95	75
Бериллий	6	0,3	3	3	3	3	0,6	1,1	0,9	1,2	1,2
Титан	4600	5000	4500	3500	3500	3500	3671	2575	2250	3110	3000
Галлий	30	20	20	15	15	16	26,5	14	14,4	17,8	12,5
Скандий	7	7	8	6	6	5	2,6	2,2	2	2,3	2,8
Рубидий	100	150	130	160	160	160	—	—	—	—	—
Иттрий	—	40	3	25	25	25	12,2	9,8	8,9	13,1	14,5
Цирконий	300	400	200	250	250	250	276	173	159	201	225,0
Олово	10	4	3,5	3	2,5	2	4,3	2,5	2,2	4,3	4,0
Стронций	300	250	—	—	—	—	33,4	33,5	38,1	30,7	30
Фосфор	800	800	509	401	401	231	1553	1875	2364	1512	2000

ление точек опробования по отдельным геохимическим ландшафтам и их краткая характеристика приведены в табл. 1.

Одним из наиболее важных, на наш взгляд, не только практическим, но и научным результатом является получение фоновых регионально-зональных оценок содержаний микроэлементов в почвах (табл. 2).

Строгое определение репрезентативных средних содержаний химических элементов (кларков) в отдельных телах ландшафта в силу их значительной неоднородности — задача весьма сложная и до сих пор до конца не решенная. Хотя наиболее известные к настоящему времени расчеты кларков в почвах, выполненные А.И.Виноградовым [2] и Х.Бовеном [5] для многих элементов (цинк, фтор, кобальт, никель, медь, молибден, ванадий, марганец) оказались достаточно удовлетворительными, все же представление о кларках других элементов (бериллий, олово, хром, барий, бор, стронций) нуждаются в уточнении или могут рассматриваться как ориентировочные (ртуть, мышьяк, висмут, сурьма, серебро). Это объясняется тем, что систематических определений отдельных элементов недостаточно в связи со слабой геохимической изученностью отдельных типов почв, вынужденностю использовать материалы разной аналитической надежности.

Оценки фоновых содержаний микроэлементов в зональных почвах Восточного Забайкалья и Московской области, полученные по результатам МГХК-1000 отличают следующие особенности:

достаточно высокая площадная представительность отдельных типов почв;

генетическая однородность проб выборки (погоризонтный расчет);

единовременный отбор и анализ проб;

единная аналитическая база — лаборатория спектрального анализа Бронницкой геолого-геохимической экспедиции ИМГРЭ.

Фоновые оценки содержаний элементов, кларки концентрации (K_k — отношение содержания элемента в почве к его кларку в почвах мира, по А.И.Виноградову [2]) и показатели взаимодействия сред, а именно, коэффициент радиальной дифференциации ($K_{\text{за}}$ — отношение фонового содержания элемента в гумусовом горизонте почвы А к его содержанию в иллювиальном горизонте В) и коэффициент местной миграции (K_m — отношение фонового содержания в донных отложениях к его содержанию в гумусовом горизонте почв), позво-

ляют охарактеризовать региональные геохимические свойства ландшафтов и их зональные особенности.

Расчет кларков концентрации позволяет провести сравнение распространенности микроэлементов и вывести типоморфные геохимические ассоциации различных ландшафтов (см. табл. 1), в которых отчетливо выделяются элементы-индикаторы, отражающие региональную специализацию, и элементы-индикаторы, отражающие зональную дифференциацию.

Например, к числу общих (региональных) геохимических характеристик всех ландшафтных комплексов Восточно-Забайкальского полигона отнесены существенно повышенные (против кларка) содержания во всех средах фтора (в 3,5–4 раза), свинца (2,5–3,5), бора (2–3,5) и пониженные олова (3–5), никеля, бериллия (2–3). Распределение этих элементов не обнаруживает прямой связи с зональными геохимическими эффектами. Зональные особенности отчетливо прослеживаются по другой группе элементов: цинку, кобальту, меди, никелю, скандию (рис. 1, а). Содержание этих элементов закономерно снижается от горно-таежных к горно-, лугово- и сухо-степным ландшафтам. Различия крайних аддитивных показателей кларков концентрации этих элементов составляют 2,2 раза для горизонта A1, 1,8 — для горизонта В и 2,3 — для донных отложений.

Заметим, что группа элементов, на миграцию которых оказывают существенное влияние ландшафтные условия, с одной стороны, входит в состав элементов-индикаторов многих типов рудных месторождений, а с другой, характеризуется наибольшей частотой встречаемости и в промышленных производствах, нередко составляя основной удельный вес в суммарном загрязнении территорий.

Главные особенности рассмотренных ландшафтов предопределены протеканием на территории криогенных процессов почвы гор. А именно, глубокое промерзание почв и медленное оттаивание обусловливают сокращенный период почвообразования, неглубокое распространение корневой системы, снижение интенсивности микробиологической активности. Это выражено в повышенной минерализации вод; укороченном профиле всех типов почв; отсутствии оподзоленности, а следовательно и резкой дифференциации в распределении элементов по профилю таежных почв; невысокой гумусности и, в силу этого, слабой биогенной аккумуляции элементов в черноземах; отсутствии в профиле

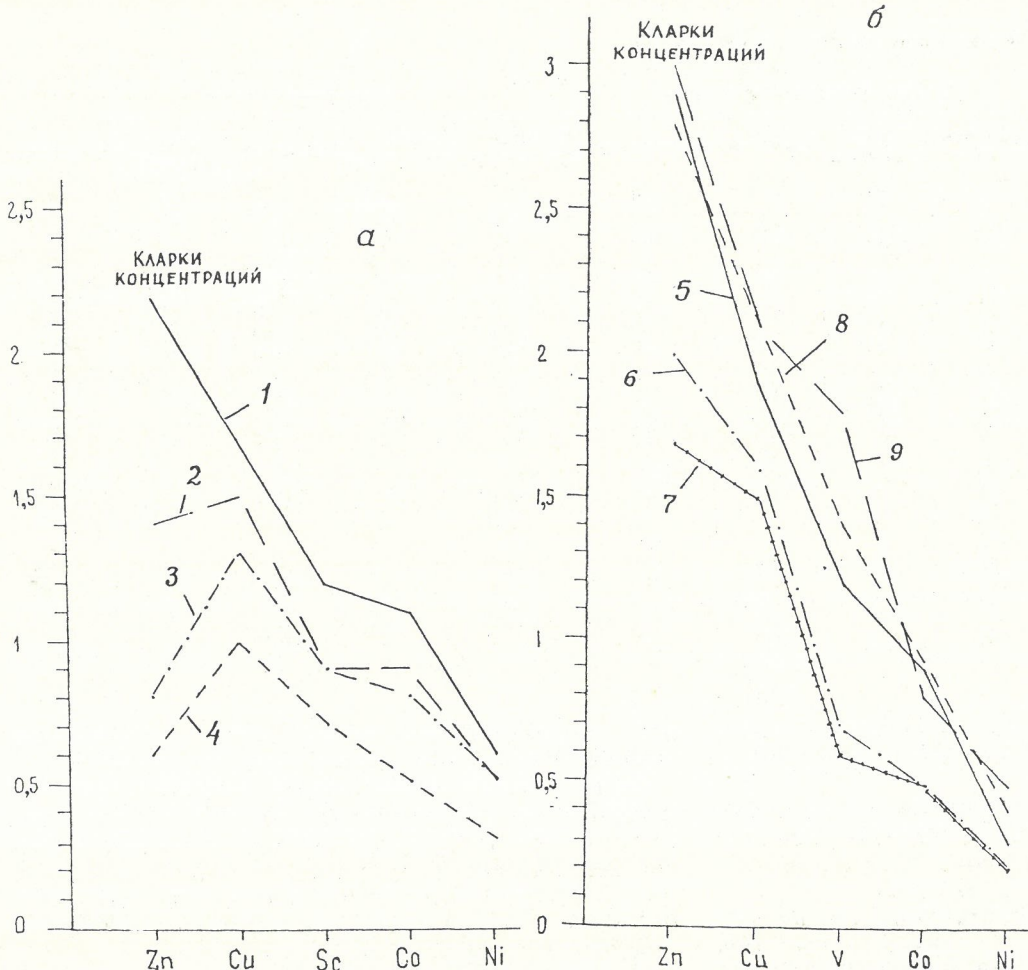


Рис. 1. Геохимические спектры элементов в зональных типах почв Восточно-Забайкальского полигона (а) и Московского полигона (б):

1 — горные мерзлотно-таежные;
2 — горные глубокопромерзающие черноземы; 3 — глубокопромерзающие черноземы; 4 — глубокопромерзающие каштановые; 5 — дерново-подзолистые; 6 — болотно-подзолистые; 7 — болотные; 8 — серые лесные; 9 — черноземы

степных почв белоглазки и гипса (характерных для степных почв западного региона России) и низкой контрастности карбонатного барьера. Формированию слабодифференцированного (как в морфическом, так и вещественном плане) почвенного профиля, способствуют и явление мерзлотного пучения, а также осыпания верхнего горизонта по морозобойным трещинам в глубокие части разреза.

Общие (региональные) черты геохимических ландшафтов Московского полигона выражены в высоких концентрациях фосфора и свинца во всех комплексах. Повышенные содержания фосфора предопределены геохимической специализацией литогенной основы Московского полигона. Косвенно на это указывает и заметное увеличение содержаний этого элемента в донных отложениях по сравнению с почвами. Вследствие горизонтального залегания осадочных толщ именно в долинах выше вероятность вскрытия коренных и, в частности, фосфоритоносных пород.

Повышенные содержания свинца, скорее всего, связаны со значительной урбанизацией рассматриваемой территории. Свинец является типичным элементом техногенных процессов городов и главным элементом транспортных выбросов; характеризуется высокими содержаниями в атмосферных выпадениях средней полосы России.

Наиболее отчетливо зональные эффекты дифференциации прослеживаются по следующей группе положительно коррелирующих элементов: ванадий, кобальт, цинк, медь, никель. Аддитивный показатель кларков концентрации этих элементов для дерново-подзолистых почв 8,3, подзолисто-болотных — 5,8, болотных — 4,4, серых лесных — 8,8, черноземов — 9,1.

Геохимические спектры этих элементов в почвах указывают на близкое генетическое родство дерново-подзолистых и серых лесных, болотно-подзолистых и болотных почв. При этом уровни содержания элемен-

тов в дерново-подзолистых и серых лесных почвах несколько выше, чем в болотных и болотно-подзолистых, но ниже, чем в черноземах (см. рис. 1, 2). Это объясняется характером ведущих геохимических процессов (гумато- и опалогенеза), интенсивность и приоритетность которых несколько изменяются от комплекса к комплексу.

Значение приведенных выше ландшафтно-геохимических характеристик для выявления и интерпретации вторичных геохимических ореолов рассеяния рудных объектов достаточно подробно описано в литературе и особенно широко используется при крупномасштабных поисках. Величина коэффициента радиальной дифференциации указывает на наличие или отсутствие гипергенных геохимических процессов, ослабляющих в той или иной степени проявленность вторичных остаточных ореолов рассеяния конкретных элементов на дневной поверхности. На этом основании обычно выбирается представительный горизонт опробования.

Данный коэффициент, выражая суммарный эффект перераспределения элементов в результате протекания почвообразующих процессов, имеет численную оценку интенсивности и направленности общего эффекта. При преобладании процессов, снижающих миграцию элементов и ведущих к их аккумуляции (например, процессы гумато-, кальцитогенеза и др.) — он больше 1. При преобладании выноса элементов из профиля почвы (например, процессы опало-, глеогенеза и др.) — меньше 1. При неявно выраженных тенденциях — близок к 1. Соответственно, в первом случае можно ожидать формирование ослабленных и выщелоченных ореолов, а во втором — контрастных.

Коэффициент местной миграции используется при сравнительной оценке контрастности, а следовательно и эффективности вторичных ореолов и потоков рассеяния конкретных элементов.

Вместе с тем, мелкомасштабные поисковые исследо-

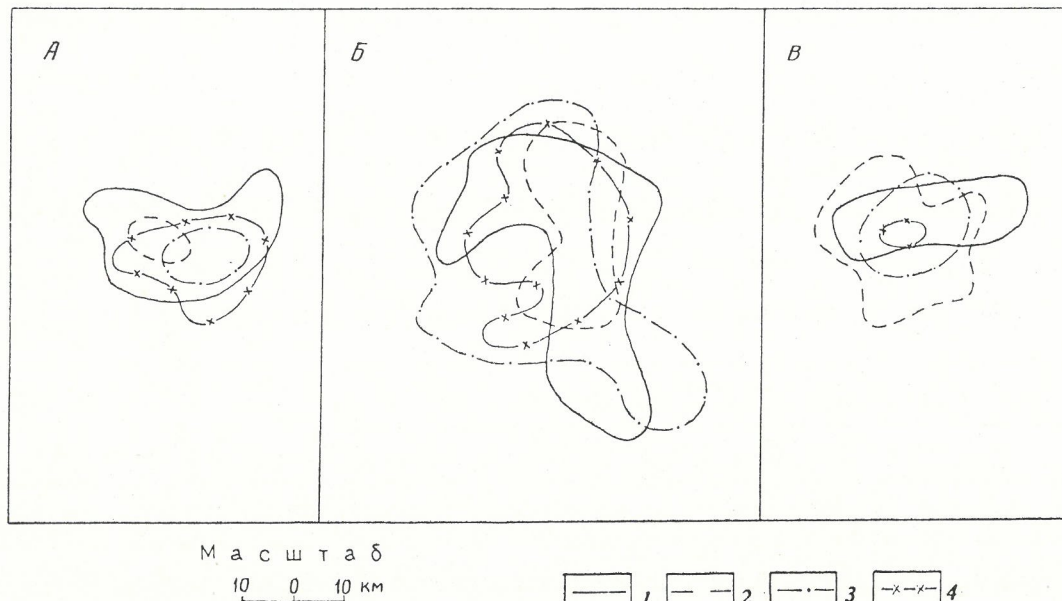


Рис. 2. Структуры интегральных геохимических аномальных полей, формирующихся в горно-таежных ландшафтах Восточно-Забайкальского полигона:

A — $K_{\text{за}} < 1$, $K_{\text{м}} \leq 1$; *B* — $K_{\text{за}} \geq 1$, $K_{\text{м}} < 1$; *C* — $K_{\text{за}} > 1$, $K_{\text{м}} \geq 1$; 1 — коренные породы; 2 — донные отложения; горизонты почв: 3 — А, 4 — В

вания имеют и свои особенности использования ландшафтно-геохимической информации. В процессе регионального геохимического картирования исследователь сталкивается с достаточно большим разнообразием ландшафтов, и учет фоновых дифференцированных оценок при оконтуривании объектов становится даже более важным, чем при крупномасштабных. Это объясняется тем, что уровень аномальности региональных объектов существенно ниже (2–3-кратный) и вполне сопоставим флуктуациями фона в разных ландшафтах.

Другая особенность — более четкая картографическая выраженность гипергенного рассеяния, заключенная лишь в частичном или даже ограниченном пространственном перекрытии оконтуренных аномальных полей, сформировавшихся в разных средах.

Иллюстрацией сказанного является структура интегральных геохимических аномальных полей (ИГАП), представляющих собой совокупность аномальных полей, выявленных в отдельных компонентах ландшафта [3].

Анализ показывает, что, хотя каждое из составляющих ИГАП полей может отличаться как числом, так и набором аномалиеобразующих элементов, общая структура, т.е. соотношение размеров отдельных гипергенных полей хорошо согласуется с коэффициентами радиальной дифференциации и местной миграции.

Три наиболее распространенных варианта структуры ИГАП в пределах горно-таежных мерзлотных ландшафтов Восточного Забайкалья в зависимости от значений $K_{\text{за}}$ и $K_{\text{м}}$ для аномалиеобразующих элементов приведены на рис. 2.

Первый вариант *A* отвечает следующим значениям: $K_{\text{за}} < 1$, $K_{\text{м}} \leq 1$. Максимальная площадь соответствует аномальному полю в горизонте почв В, минимальная — в донных отложениях. Второй вариант *B* согласуется с $K_{\text{за}} \geq 1$, $K_{\text{м}} < 1$. Максимальная площадь соответствует аномальному полю в гумусовом горизонте, а минимальная — в донных отложениях. Вариант *C* согласуется с $K_{\text{за}} > 1$, $K_{\text{м}} \geq 1$. Максимальная площадь соответствует аномальному полю в донных отложениях, а минимальная — в горизонте В почв.

Наличие сложной и разнообразной структуры ИГАП указывает на меньшую вероятность оконтуривания поискового объекта при использовании только одной среды и повышение надежности этого в случае привлечения нескольких сред. Показатели фона и коэффициенты, описывающие распространенность и перераспределение элементов в ландшафте, необходимы и при анализе уровня техногенного загрязнения. Дифферен-

цированный фон по сути является главным и универсальным показателем (мерилом) естественного состояния различных природных систем, отправной точкой мониторинга. Универсальность фона определяется несовершенством современной нормативной базы: ПДК и ГОСТы разработаны далеко не для всех элементов, к тому же их пречень неодинаков по различным ландшафтным средам.

Фоновые содержания подавляющей части распространенных элементов в пределах разных ландшафтов Московского и Восточно-Забайкальского полигонов различаются в 1,5–2,5, по бериллию и цинку — в 5, а по фосфору и барнию — в 10 раз (см. табл. 2). Соответственно изменяются и базовые экологические состояния разных ландшафтов. Для его оценки был использован показатель природной (потенциальной) экологической опасности — ПЭО (табл. 3). Он рассчитывается как сумма кларков концентрации (нормированные на кларк А.И.Виноградова) элементов I — III классов опасности минус число элементов, участвующих в расчетах без одного. По сути это “природный” аналог известного суммарного показателя химического загрязнения Z_c , характеризующего степень химического загрязнения почв (Ю.Е.Саэт и др., 1990).

Совершенно очевидно, что один и тот же объем техногенной нагрузки в разных ландшафтах вызовет неодинаковые изменения экологической обстановки. Они тем больше, чем выше природный фон отдельных элементов и показатель природной экологической опасности.

О характере ответной реакции конкретного ландшафта на определенный объем загрязнения можно составить представление, опираясь на рассмотренные выше ландшафтно-геохимические коэффициенты следующим образом. Сначала выясняются направление и интенсивность перераспределения токсичных элементов в ландшафтных средах в процессе гипергенной миграции. На вынос элементов указывают значения $K_{\text{за}}$ и $K_{\text{м}}$ менее 1, на накопление — больше 1. В первом случае, на ранних (или малоинтенсивных) стадиях загрязнение может формироваться даже по скрытому типу в почвах с перекачкой загрязняющих веществ в воды и растения. Во втором случае, проявляется наибольший отрицательный эффект загрязнения.

Далее определяется уровень превышения техногенной нагрузки над фоном (например, в пределах ВЗП она в разных ландшафтах составляет от 0,7 до 13). Полученная величина сопоставляется с интенсивностью и направленностью природных процессов. Только

3. Показатели природной (потенциальной) экологической опасности почв и донных отложений Восточного Забайкалья и Московской области

Геохимические ландшафты	Природная экологическая опасность	
	гумусового горизонта почв	донных отложений
<i>Восточное Забайкалье</i>		
Горная тайга (горные мерзлотно-таежные почвы)	11,7	11,2
Горная степь (горные глубокопромерзающие черноземы)	8,6	9,3
Луговая степь (глубокопромерзающие черноземы)	7	7,6
Сухая степь (каштановые глубокопромерзающие почвы)	7,5	6,6
<i>Московская область</i>		
Смешанные леса (дерново-подзолистые почвы)	10,1	4,1
Смешанные леса (болотно-подзолистые почвы)	6,9	4,1
Смешанные леса (болотные почвы)	5,9	2,4
Широколиственные леса (серые лесные почвы)	12,3	2,4
Луговые степи (черноземы)	11	4,8

в случае, когда природные процессы ориентированы на вынос элементов, а интенсивность выноса сопоставима с таковой поступления, можно говорить о возможности саморегуляции ландшафтом процессов загрязнения. Такие ситуации реально существуют как пределах ВЗП, так и в Московской области. Однако, в силу длительного и интенсивного освоения этих районов все же преобладают территории, где природа давно исчерпала свои возможности противостояния загрязнению.

Господствующие типы ландшафтов России, их почвенно-геохимическая характеристика (типы почв, обстановки водной миграции) и группировка ландшафтов по потенциальному самоочищению от загрязняющих веществ являются главным содержанием ландшафтно-экологого-геохимической карты России масштаба 1:5 000 000 (авторы Е.П.Сорокина, Е.М.Никифорова, 1994). Эта карта выполнена также в рамках упоминавшейся выше Федеральной программы "Геохимическая карта и Геоэкология России".

Б основу карты положены теоретические разработки М.А.Глазовской (1976, 1978, 1979, 1980, 1983) по изучению и анализу степени устойчивости отдельных природных ландшафтно-геохимических систем к разного рода техногенным воздействиям и их способности к самоочищению. В частности, факторами, определяющими возможность загрязнения почв — главного компонента ландшафта — являются их щелочно-кислотные, сорбционные и окислительно-восстановительные условия. Именно эти показатели в конечном счете определяют скорость разложения и особенности миграции различных загрязняющих веществ.

Рассматриваемая карта выявила отчетливую связь потенциала самоочищения почв с ландшафтно-геохимической зональностью, отметила особенно высокую уязвимость ландшафтов Севера, отразила в целом преобладание на территории России ландшафтов с ограниченными возможностями самоочищения.

В настоящее время большое значение придается вопросу выяснения плодородия и на основании этого принятию мер по сохранению или восстановлению природного состояния почв (Комплексная Федеральная программа "Плодородие" на 1990—2000 гг.). Материалы МГХК-1000 позволяют выполнить ориентировочную сравнительную оценку обеспеченности зональных почв разных регионов биологически активными элементами как составной части плодородия. Точная категоризация осуществляется, как известно, по содержанию подвижных форм и потребует дополнительных аналитических определений.

Изменение суммы валовых содержаний (в кларках концентрации) биологически активных микроэлементов в гумусовом горизонте почв равнин Московского и Восточно-Забайкальского полигонов полностью согласуется с биоклиматической зональностью и увеличивается от почв смешанных лесов к почвам широколиственных лесов и луговых степей в пределах Московского полигона и от почв сухих степей к почвам луговых степей в пределах Восточного Забайкалья (табл. 4).

Полученные данные позволяют также выполнять сравнение содержаний элементов в одноименных типах почв разных полигонов, например, черноземах луговых степей Московского и Восточно-Забайкальского полигонов. Суммарная обеспеченность опорными биологически активными элементами черноземов юга Московской области почти в 2 раза выше, чем черноземов Восточного Забайкалья. При этом обеспеченность черноземов Московской области выше в 2,5 раза по бору, в 3,8 раза по цинку, в 1,6 раза по меди.

Кроме этой основной информации полезно привлекать данные о $K_{\text{за}}$ для биологически активных элементов. Этот коэффициент менее 1 указывает на необходимость корректировки доз внесения удобрений соответствующего элемента с учетом не только его фонового уровня в почвах, но и наличия систематического выноса в нижние горизонты почв и в воды. Покидая ландшафт, такие элементы становятся источниками загрязнения среды.

Таким образом, роль геохимии ландшафта в многоцелевом геохимическом картировании можно определить следующим образом: установление границ ландшафтно-геохимических систем, определение дифференциации в них геохимического фона и фоновой структуры, выявление геохимических процессов, определяющих своеобразие миграции элементов и, на этой основе, районирование территорий по типу возможных ответных реакций окружающей среды как на хозяйственную деятельность, так и на наличиеrudогенных источников.

Изложенные материалы позволяют сделать некоторые научно-практические выводы.

1. Привлечение ландшафтно-геохимических карт при МГХК-1000 позволяет не только получить достоверные регионально-зональные оценки фоновых содержаний элементов в разных ландшафтных средах, но и уточнить представление о кларках элементов в почвах.

2. Вторичные ореолы охватывают разные компоненты ландшафта и формируются в соответствии с главны-

4. Содержание биологически активных микроэлементов в гумусовом горизонте почв ландшафтов Восточно-Забайкальского и Московского полигонов (в клярах концентрации)

Почвы	Микроэлементы						Сумма
	B	Zn	Mo	Mn	Cu	Co	
<i>Восточно-Забайкальский полигон</i>							
Горные мерзлотно-таежные (горная тайга)	3,5	2,2	1	1,3	1,7	1,1	10,8
Горные глубокопромерзающие черноземы (горная степь)	2,5	1,4	1	1,1	1,5	0,9	8,4
Черноземы глубокопромерзающие (луговая степь)	2,5	0,8	1	0,8	1,3	0,8	7,2
Каштановые глубокопромерзающие (сухая степь)	2,0	0,6	1	1,1	1	0,5	6,2
Среднее содержание микроэлементов по полигону в целом	2,6	1,2	1	1,1	1,4	0,8	8,1
<i>Московский полигон</i>							
Дерново-подзолистые (смешанные леса)	4,1	2,9	0,6	1,1	1,9	0,9	11,5
Болотно-подзолистые (смешанные леса)	3,1	2	0,7	0,8	1,6	0,5	8,7
Болотные (смешанные леса)	2,7	1,7	0,6	0,9	1,5	0,5	7,9
Серые лесные (широколиственные леса)	5,6	2,8	0,6	1,2	2,1	0,9	12,3
Черноземы (луговые степи)	6,3	3	0,5	0,9	2,1	0,8	13,6
Среднее содержание микроэлементов по полигону в целом	4,3	2,5	0,6	1,0	1,8	0,7	10,9

ми геохимическими процессами конкретного ландшафта. Техногенные потоки трансформируются под влиянием тех же геохимических процессов.

3. Все ландшафтные тела связаны миграцией элементов, поэтому соотношения между ореолами, формирующимися в разных средах, вполне закономерны для каждого ландшафта. Ландшафтно-геохимические коэффициенты радиальной дифференциации и местной миграции позволяют объяснить структуру интегральных геохимических аномальных полей.

4. Разные ландшафты реагируют на равное техногенное загрязнение неадекватно. Изменения геохимической обстановки тем больше, чем выше показатель природной экологической опасности конкретного ландшафта. Нередко природная экологическая опасность ландшафтов отвечает уже напряженному экологическому состоянию.

5. Учет законов миграции химических элементов в современных ландшафтах при анализе проявляемости вторичных геохимических ореолов рассеяния, формирования загрязнения, а также предпосылок аграрного

потенциала, позволяет существенно продвинуть и повысить эффективность решения этих прикладных задач.

СПИСОК ЛИТЕРАТУРЫ

1. Буренков Э.К., Морозова И.А., Смирнова Р.С. и др. Использование методологии прикладной геохимии в экологических исследованиях // Геохимические методы в экологических исследованиях. М., 1994. С. 3–11.
2. Виноградов А.И. Геохимия редких и рассеянных химических элементов в почвах. — М.: Изд-во АН СССР, 1957.
3. Головин А.А., Гулчева Н.Г., Морозова И.А. Интегральные аномальные поля как объект многоцелевого геохимического картирования // Разведка и охрана недр. 1996. № 6. С. 3–4.
4. Морозова И.А. Ландшафтно-геохимические основы многоцелевого геохимического картирования // Прикладные аспекты геохимических исследований. М., 1993. С. 9–17.
5. H.J.M.Bowen. Environmental Chemistry of the Elements. Academic Press 1979. London—New-York—Toronto—Sydney—Son Francisco. P. 250

Принята редакцией 27 мая 1996 г.

Рудные и нерудные месторождения

УДК 563.64

© А.С.Соколов, А.А.Фролов, 1997

Историко-геологические взаимоотношения апатитов и фосфоритов

А.С.СОКОЛОВ (ГИГХС), А.А.ФРОЛОВ (ВИМС)

Фосфор нередко и вполне обоснованно называют “элементом жизни”. Он составная часть белка, любой живой клетки, основа энергетической жизнедеятельности растений, на питание которых в виде фосфорных удобрений направляется 90 % добываемого человеком фосфора. А добывается его немало: за последнее десятилетие в среднем за год 150 млн. т фосфатов. Их нарастающая важность проявилась, например, в том,

что за последнюю четверть века фосфатов добыто 2,6 млрд. т, тогда как за предшествующее столетие менее 1 млрд. т.

Все это и ряд других особенностей обусловили высокий интерес к фосфору, содержащим его породам, особенно к носителям повышенных концентраций — фосфатным рудам. Они разделены на две главные группы — апатитовые, преимущественно эндогенные, и

фосфоритовые — экзогенные. Это генетическое различие обусловлено тем, что изучением апатитов и фосфоритов занимаются геологи разных специализаций, литература по ним обособлена. Исключением из этого явилась работа [6] с обобщенным возрастным сопоставлением накоплений апатитов и фосфоритов, связанных со вспышками магматизма, активизировавшего поступление эфузивного фосфатоносного материала в океаны, возрастание в них резерва фосфора и формирование фосфоритоносных формаций. Полностью разделяя эти общие положения и используя накопления новой информации, мы попытались в настоящей статье вскрыть конкретно расширенное и углубленное геохронологическое и генетическое взаимоотношение апатитового и фосфоритового рудогенеза.

Широко распространено представление о совершенном разнообразии источниках фосфора, формирующих апатитовые и фосфоритовые руды: у первых — это, не вызывающие сомнений эндогенные выделения, а у вторых — снос с континентов; причем считается, что вулканогенные поступления его в океаны ничтожны. Как бы подтверждением этого явились данные о весьма подчиненной роли поступлений вулканогенного фосфора в современный океан [1]. Однако не было учтено, что нынешняя эпоха отличается весьма ослабленным вулканализмом, а еще совсем недавно — в начале антропогена и в плиоцене — вулканизм был гораздо интенсивней, о чем свидетельствуют такие недавно потухшие вулканы, как Арагат, Эльбрус и др. В более давние времена, особенно в эпохи тектоно-магматической активности, вулканализм проявлялся еще интенсивней, и поступления глубинного эндогенного фосфора в океаны были гораздо значительней. И вполне естественно, что немало исследователей фосфоритов эндогенному источнику фосфора придавали важнейшее, а для некоторых эпох и типов фосфоритонакоплений, даже первостепенное значение [3, 10, 27 и др.].

Таким образом, становится ясно, что эндогенный фосфор приводил к образованию не только апатитовых руд, но и участвовал в формировании древних фосфоритов, и, следовательно, в накоплении тех и других должна проявляться историко-геологическая взаимосвязь. Для ее обоснования необходим анализ обстановок образования этих руд, сопоставление геохронологии их накоплений и вскрытие геолого-генетических взаимоотношений.

Основой для сопоставления геохронологии накоплений тех и других фосфатных руд являются их мировые запасы и распределение их по возрасту. Мировые запасы фосфатов приведены во многих работах [7, 35–39], однако данные эти разноречивы, что обусловлено многими причинами, в т.ч. отсутствием единой классификации запасов, учетом их в ряде стран не в недрах, а в получаемой продукции (концентратов) и т.п. Мы попытались, преодолевая разные подходы, оценить запасы в унифицированном виде, приняв за основу классификацию США, действующую во многих странах, и сориентировались в ней на группу "выявленные запасы" (identified resources). В принятой у нас классификации этой группы соответствуют запасы категории A, B, C₁, C₂) и часть P₁; последняя на разведанных месторождениях очень близка к C₂, также представляя экстраполяционные прирезки на флангах и на глубину. Правильность ориентации на группу "выявленные запасы" подтверждается также и тем, что именно она приведена в последней, наиболее капитальной работе по мировым ресурсам фосфатов [39], которой мы постоянно пользовались наряду с другими источниками. Заметим, что к группе "выявленные запасы" весьма близки "общие запасы", приведенные в последнем обзоре ВНИИзарубежгеологии [7].

Нами учтены данные по более 60 государствам.

Общие мировые запасы оценены в 63076,4 млн. т P₂O₅, в т.ч. 5259 апатитовых и 57817,4 млн. т P₂O₅ фосфоритовых. Для общей ориентировки укажем запасы некоторых государств (в млн. т P₂O₅, в скобках — апатиты):

Марокко	15 810 (10)
США	15 028 (20)
Китай	9530,4 (10)
Россия	4827,5 (3410)
Казахстан	4306 (30)
Мексика	1683 (5)
Западная Сахара	1020
Тунис	999
Ирак	850
Эстония	826
Египет	742
Австралия	670 (100)
Бразилия	609,6(495)

В перечисленных странах сосредоточено 56901,5 млн. т P₂O₅, что составляет 90 % общемировых запасов.

Все учтенные месторождения расположены на континентах. Однако кроме них в океанах имеются еще островные фосфориты и промышленно оцененные залежи фосфатоносных пород на шельфах. Их запасы оцениваются в 240 и 7271 млн. т P₂O₅ соответственно. В наших дальнейших сопоставлениях они не учитываются. Апатитовые месторождения в океанах неизвестны.

На континентах в многообразии апатитоносных месторождений выделены три главных генетических класса: магматические, карбонатитовые и коры выветривания. Среди магматических особое место занимают месторождения, связанные с анерозитовой формацией, формировавшейся в самые древние эпохи, а в фанерозое практически исчезнувшей. Примером являются месторождения хр. Джугджур, возраст которых 2700 млн. лет. Магматические месторождения связаны также с габброидами; все они докембрийские (2700–800 млн. лет), с широким металлогеническим профилем (P, Fe, Ti, Cu, V); локализованы преимущественно в меланократовых мафит-ультрамафитовых интрузиях. Содержание P₂O₅ в рудах 2,5–8 %; запасы 80–100, редко до 150 млн. т P₂O₅. В России их потенциал 250–300 млн. т P₂O₅; разрабатывается только Волковское апатит-медио-титаномагнетитовое месторождение, дающее 60–80 тыс. т попутного апатитового концентрата. Предварительно разведаны Кручининское, Гремяча-Вырмес, Ошурковское, группа Джугджурских месторождений [25].

Самые многочисленные в мире и России и заключающие более 70 % мировых запасов апатитовых руд — месторождения, связанные с ультраосновными-щелочными породами и карбонатитами (УЩК). К этой группе тяготеют и уникальные Хибинские месторождения, обычно трактуемые как магматические, но, по-видимому, принадлежащие сложному полиформационному комплексу. И те и другие образуют массивы центрального типа с зонально-кольцевым строением, с серией последовательно сформированных пород: ультрамафиты, фоидолиты, мелилитовые и нефелиновые щелочные породы, карбонатитоиды и карбонатиты [2, 11, 16 и др.]. Глубинное происхождение щелочно-ультраосновной магмы, давшей эту серию дифференциаторов, убедительно показано в работах [32, 33]. Выплавка ее из подкоровых горизонтов мантии связана с резким падением давления в зонах глубоко проникающих рифтогенных структур растяжения. Последние наиболее характерны для позднего докембра и мезокайнозоя — периодов наивысшей деструкции земной коры. Крупные рифтовые пояса меридиональной ориентировки (Восточно-Африканский, Восточно-Бразильский, Ангаро-Таймырский и др., протяженностью тысячи кило-

1. Распределение мировых запасов апатитовых руд по эпохам их накопления

Геохронологический интервал эпох накопления апатитовых руд, млн. лет	Главнейшие месторождения эпохи	Запасы апатитовых руд, млн. т Р ₂ O ₅	Тектоно-магматические эпохи, с которыми связаны накопления апатитовых руд
2700—2600	Джунгджур	150	Кеноранская
2065—2000	Палабора, Маунт-Вельд, Новополтавское	385	Карельская
1800—1740	Гремяха-Вырмес, Стремигородское, Укдуска	200	Готская
1300—1140	Гленовер, Селигдар	230	Гренвильская
700—650	Томтор, Татарское, Арбарастиах, Ощурково	650	Байкальская
600—500	Белозиминское, группа Норвежских	320	Байкальская (завершение)
390—360	Хибинские, Ковдор, Сокли	1415	Каледонская (завершение)
260—210	Маймеч-Котуйские, Дорова и другие в Замбии	530	Герцинская (завершение)
150—110	Группы Бразильских, Малавийских месторождений	295	Киммерийская (завершение)
85—25	Группа Бразильских, Сукулу, Букусу	230	Альпийская
200—0	Месторождения коры выветривания	828	

метров), контролируют многие десятки массивов УЩК, а также кимберлитовые трубки мантийного происхождения с повышенным содержанием фосфора. Геотектонические позиции поясов внутри- и периконтинентальные. Массивы УЩК строго приурочены к рифтам, узлам их сочленения, пересечениям попечными разломами; в таких условиях сосредоточено более 300 рудоносных карбонатитсодержащих комплексов, обогащенных фосфором в виде апатита. Содержание Р₂O₅ в них 3,5—10 %, в среднем 5—6 %. В 30 % массивов УЩК апатитоносность имеет практический интерес, ассоциируясь с магнетитом, пирохлором и другими ценными компонентами. Они представляют собой ведущий апатитовый потенциал мира. В России разрабатываются Ковдорское, уникальные Хибинские месторождения, много разведанных (Вуориярви, Себльярви, Томтор, группа Маймеч-Котуйской провинции, Белозиминское, Татарское и др.). За рубежом разрабатываются 10 месторождений в Бразилии, в восточно-африканских странах. На руднике Палабора в ЮАР получают ежегодно до 3 млн. т апатитового концентрата (с 36—38 % Р₂O₅), а также циркониевый, магнетитовый, медный и др.

В отличие от магматических месторождений группа, связанная с УЩК, имеет более широкий геохронологический диапазон формирования — от протерозоя до неогена.

Третья генетическая группа апатитовых месторождений связана с корами выветривания карбонатитов. Выщелачивание карбонатов приводит к увеличению рудных концентраций, в т.ч. фосфора в 2—3 раза. Это и приповерхностное залегание руд обусловливают приоритетность разработки месторождений данной группы, что и осуществляется на многих месторождениях Бразилии, Африки.

По нашей оценке, мировые запасы апатитовых руд составляют 5347 млн. т Р₂O₅, в т.ч. магматические 665, карбонатитовые (включая Хибины) 3854 и коры выветривания 828 млн. т Р₂O₅. Общий потенциал апатитоносности превышает 10 млрд. т Р₂O₅.

Образование месторождений апатитсодержащих руд проявилось на всех платформах в связи с процессами тектоно-магматической активизации. Докембрийские, преимущественно магматические, геотектонически приурочены к троговым структурам: позднеархейским зеленокаменным поясам (Джунгджур), ранне- и среднепротерозойским протогеосинклиналям (Гремяха-Вырмес, Ельтозерское). Позднепротерозойско-вендинские

карбонатитовые месторождения (Восточные Саяны, Енисейский кряж, Алдан, Канада) связаны с рифтами и авлакогенами. Докембрийские троги многими трактуются как древние рифтоподобные структуры. Все это представляется как единый процесс деструкции земной коры со специфическими магматизмом и металлогенией. В фанерозое в рифтовые периоды развития земной коры деструкция достигла максимума.

На континентах, в основном на платформах установлено до 10, в т.ч. 4—5 глобальных накоплений апатитовых руд, приуроченных к тектоно-магматическим эпохам, в основном к их завершающим этапам.

К настоящему времени установлен абсолютный возраст большинства месторождений. Геохронологическое распределение накоплений апатитовых руд показано в табл. 1. Главные апатитонакопления формировались в байкальскую, в конце каледонской и герцинской, а также в киммерийскую и альпийскую тектоно-магматические эпохи. Самые значительные запасы связаны с границей каледонской и герцинской эпох; в это время образовались в числе других уникальные Хибинские месторождения, в которых сосредоточено 800 млн. т Р₂O₅.

Все апатитоносные массивы УЩК приурочены к материковым структурам растяжения — рифтам. Только в условиях мощной материковой коры мантийная мagma в ходе длительного подъема с остановками в промежуточных камерах могла испытать дифференцию и дать широкую гамму последовательно сформированных петрографических серий пород. Из них наиболее насыщены апатитом самые поздние образования — камафориты и карбонатиты. Большая часть массивов УЩК расположена в зонах периконтинентальных рифтов, примыкающих к акваториям Атлантического, Индийского океанов и др. Максимальные проявления щелочно-ультраосновного магматизма происходили синхронно с формированием мировой океанической рифтовой системы. Интенсивный рифтогенез проявился расколом Протопантеи, а позднее Гондваны, Африка-Южно-Американского блока [21]. Ось раздвижения последнего представлена в настоящее время Южно-Атлантическим срединным хребтом.

Главные этапы заложения рифтогенных структур байкальской и киммерийско-альпийской тектонических эпох отвечают основным fazам расширения Земли в ходе ее пульсационного развития. Ю.М.Пушаровский видит в этом две возможные причины бурную вспышку энергии ядра и мантии или внеземной импульс

2. Стратиграфическое распределение мировых запасов фосфоритов

Стратиграфические подразделения	Главнейшие фосфоритоносные бассейны и месторождения	Мировые запасы фосфоритов, млн. т P ₂ O ₅	
Плиоцен	Мексиканский (Санто-Доминго и др.)	766,7	
Миоцен	Флорида, Северная Каролина	7613,3	
Эоцен	Западно-Африканский	9756,6	
Палеоцен	Марокканский Алжиро-Тунисский,	4624,5	
Поздний мел	Актибинский, Днепрово-Донецкий Саудовская Аравия Колумбийско-Венесуэльский	Восточно-Средиземноморский	9235,1
Поздняя юра — ранний мел	Волжский	515	
Юра — поздний триас	Мексиканский (Центральное плато) Аляска (США)	65	
Пермь	Фосфория	684	
Ранний карбон	Штат Юта, США	7556	
Поздний девон	Эльбрус (Иран)	208	
Ордовик	Прибалтийский, Лено-Тунгусский	6,3	
Средний кембрий	Джорджина (Австралия)	1454	
Ранний кембрий	Каратаяуский	570	
Поздний венд	Лаокай	9464,7	
Венд	Патос-ди-Минас (Бразилия)	4735,7	
Протерозой	Центрально-Африканский	227	
средний	Удайпурский (Араваллийский)	30,4	
ранний	Прибайкальский (Слюдянка)	25	
Фосфориты невыясненного возраста	Шиньдун-Корейский	63,9	
Фосфориты коры выветривания — остаточно-метасоматические	Алтае-Саянский (Телокская и др.) Теннесси-Кентуккий (США) Маукок (Вьетнам)	216,2	

воздействия на глубинный режим магматизма планеты [20]. Заметное преобладание меридиональных рифтов, возможно, обусловлено ротационным эффектом, вызванным ускорением или торможением вращения Земли вокруг своей оси.

Как уже отмечалось, общий потенциал апатитоносности оценивается в 10 млрд. т P₂O₅. Таково весомое фосфорное "дыхание" мантии на континентах. Надо полагать, что еще более значительные выделения фосфора имели место в океанах, существенно повышая в них резерв и концентрации фосфора.

В океанских рифтовых структурах современных срединных хребтов находят выход гидротермы "курильщиков", отлагающих рудное вещество; выделяющиеся термальные растворы, смешиваясь с морской водой, создают дымоподобную сульфидную взвесь. Формируются конусные постройки, внутренние части которых состоят из сульфидов — пирита, халькопирита. Постройки группируются в протяженные гряды холмов. Интересно, что подобные образования распознаются в древних медноколчеданных залежах [19].

С эпохами рифтогенеза в фанерозое совпадают пики щелочно-ультраосновного и базальтового магматизма, максимальная дегазация примантийных и мантийных горизонтов. Тепловой поток в зонах спрединга вызывал конвективный ток вод, выщелачивающих океанические базальты, всегда обогащенные фосфором.

Все это обуславливала крупные поступления фосфора в океанические воды, повышая в них его концентрации, резервы. Прямым показателем данного процесса, например, для венд-кембрийского океана является развитие брахиопод и гастрапод, со скелетом из карбоната не кальция, а фосфора. Сохранность же раковинок от

растворения свидетельствует о концентрациях фосфора в океанских водах, близких к насыщению.

Таким образом, тектоно-магматическая активность, интенсивный рифтогенез, обусловившие формирование апатитовых месторождений, вместе с тем подготовливали условия для образования и накопления фосфоритов.

Стратиграфическое размещение фосфоритов изучено достаточно надежно, что позволяет установить распределение мировых запасов фосфоритовых руд по стратиграфическим подразделениям (табл. 2). Резко выделяются две крупнейшие эпохи — поздневендско-раннекембрийская и позднемеловая-палеогеновая. Они не только заключают огромные запасы (25 и 35 % мировых соответственно); бассейны и месторождения донного возраста распространены на многих континентах, что позволяет относить эти эпохи к глобальным. Почти синхронное образование в это время фосфоритов в весьма удаленных регионах свидетельствует, что первопричиной фосфоритогенеза явились общие условия планетарного масштаба. Таковыми, надо полагать, были повышенные концентрации и ресурсы фосфора в океанских водах всей планеты.

Крупные накопления фосфоритов фиксируются также в перми, неогене, ордовике. Однако большая их часть концентрируется не только в локальных, хотя и очень крупных бассейнах (Фосфория, Флорида — Северная Каролина, Прибалтийский), но и в других регионах: пермские в Приуралье (Селеук), неогеновые в Мексике (Санта-Доминго и др.), в Перу (Сечура), ЮАР; ордовикские в Лено-Тунгусском бассейне, а в последнее время выявлены в Аргентине и смежных

районах Боливии. Так что эти эпохи фосфоритообразования имеют тенденции относиться к глобальным.

Фосфориты остальных стратиграфических подразделений носят локальный характер, хотя некоторые из них распространены на значительных площадях (например, желваковые границы юры и мела).

Обращают на себя внимание весьма ограниченные запасы в протерозое, хотя установлено [34], что фосфатоносные породы (метаэзогенные фосфатоносные комплексы) этого возраста широко распространены и заключают крупные массы фосфора. Однако его низкие концентрации (первые проценты P_2O_5) не позволяют отнести их к фосфоритам. Причины весьма ограниченного фосфоритообразования в протерозое требуют выяснения.

Тектонические условия образования и нахождения фосфоритов изучены недостаточно. Предложенное А.В.Казаковым [12] выделение двух основных групп фосфоритоносных фаций — платформенные и геосинклинальные — сначала широко были восприняты [14, 19]. К геосинклинальным он отнес Фосфорию, Карагату, а также североафриканские фосфориты. Однако Н.С.Шатский [31] убедительно показал, что последние — типично платформенные образования. А вскоре Г.И.Бушинский, детально изучив материалы по Фосфории [4], установил, что в палеозое этот регион характеризовался платформенным режимом, и лишь в мезокайнозое здесь проявились резкие тектонические движения, обусловившие складчатость и разрывные нарушения. Это, а также излияния андезитовой лавы, дезориентировало многих исследователей, считавших фосфориты Фосфории геосинклинальными. Трактовку, подобную трактовке Г.И.Бушинского, дали В.Е.Хайн и Е.Е.Милановский [29], охарактеризовавшие этот регион как зону кайнозойского горообразования в областях докайнозойских материковых платформ.

Вслед за Фосфорией платформенные условия были убедительно показаны [13] в отношении образования и фосфоритов Карагату, формировавшихся в платформенную стадию развития геосинклинальной области [4, 5].

Таким образом, тенденция “оплатформливания” фосфоритовых месторождений, начало которой положил Н.С.Шатский, получило дальнейшее развитие не только для Фосфории и Карагату, но и в отношении других бассейнов и месторождений, ранее считавшихся геосинклинальными.

Можно считать установленным, что образование всех сколько-нибудь значительных месторождений фосфоритов происходило в платформенных условиях. Геосинклинальные же условия с их интенсивным прогибанием, ускоренным накоплением мощных, преимущественно терригенных осадков, противопоказаны для сколько-нибудь значительных накоплений фосфоритов.

Структурной ареной формирования большинства, в т.ч. всех крупнейших фосфоритоносных бассейнов, являлся шельф, преимущественно мелководный. Развитие шельфовых зон — необходимое условие для фосфоритообразования. В глобальные эпохи фосфоритогенеза этому условию благоприятствовали тектонические события.

С конца рифея в венд-кембрии проявилась, как уже отмечалось, мощнейшая общепланетарная байкальская складчатость, сопровождавшаяся интенсивным рифтогенезом и раздроблением раннепротерозойского материка Протопангея на сравнительно небольшие континенты — Сибирский, Сино-Корейский, Янцзыкий и др. По их окраинам широко развились шельфы, расположенные к тому же в низких широтах с аридным климатом. Все это благоприятствовало фосфоритогенезу.

Деструкция Протопангея сопровождалась интенсивными магматическими выделениями щелочных, базальтоидных и других пород, обогащенных фосфором. Это и непосредственные фосфорсодержащие эманации из примантийных зон по глубинным расколам и рифтам, обусловили крупные поступления в океан эндогенного фосфора, концентрации и резервы которого в океанских водах значительно возросли. Все это и определило формирование крупномасштабной поздневендско-раннекембрийской глобальной эпохи фосфоритообразования. Подобная же картина имела место при формировании другой крупнейшей глобальной эпохи фосфоритогенеза — позднемеловой-палеогеновой. В киммерийско-альпийскую тектоно-магматическую эпоху произошел грандиозный раскол и разъединение Лавразии и Гонданы с образованием огромного древнего океана Тетис с глубоководными желобами, островными вулканическими дугами. Он протягивался через Гималайско-Средиземноморскую зону, отделившую в мезозое Лавразию от Африки и Индостана. Атлантики тогда еще не было, Южная Америка пристыковалась к Африке, а Тетис продолжался на запад по южной части нынешнего Карибского моря.

На южном борту Тетиса протягивался на тысячи километров шельф, продолжавшийся на западе по нынешним Венесуэле и Колумбии. Он находился на тектонически устойчивой платформе в условиях аридного климата. Это благоприятствовало фосфоритообразованию за счет апвеллинга глубинных вод Тетиса, обогащенных фосфором. В позднем мелу и раннем палеогене сформировались многочисленные, очень крупные североафриканские месторождения зернистых фосфоритов. Такие же по возрасту и типу, но несколько бедней и мелкомасштабней, сформировались и на западном фланге шельфа в нынешних Венесуэле и Колумбии.

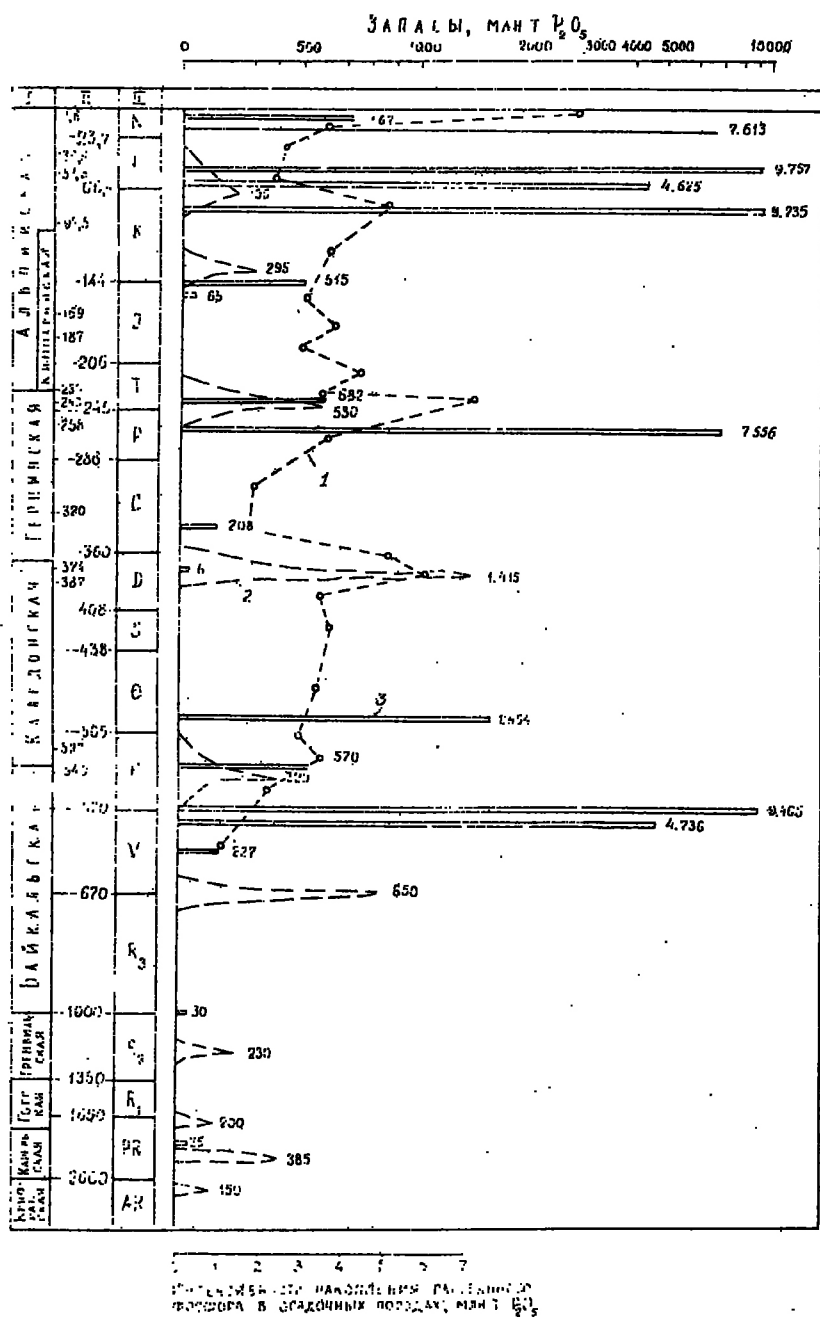
Фациально-литологическая характеристика фосфоритов разных бассейнов и месторождений, фосфоритоносных формаций достаточно освещена в литературе [8, 22 и др.]. Отметим лишь, что среди фосфоритов мы выделяем следующие основные литолого-генетические и геолого-промышленные типы, связанные с определенными формациями [8].

Микрозернистые V—E, PZ	Кремнисто-карбонатная
Ракушечные. О	Органо-терригенная
Желваковые, Jz—K	Глауконит-терригенная
Зернистые K2—P, N1—N2	Терригенно-кремнисто-карбонатная
Остаточно-метасоматические MZ—KZ	Коры выветривания

Эта типизация положена в основу Государственного баланса запасов и широко используется в отечественной литературе.

Заметим, что даже в очень кратких приведенных сведениях четко прослеживается эволюция типов фосфоритогенеза — от микрозернистых в палеозое, ракушечных в ордовике через юрско-меловые желваковые к позднемеловым-палеогеновым и миоцен-плиоценовым зернистым.

Мы не рассматриваем весьма дискуссионный вопрос генезиса фосфоритов в части механизма осаждения фосфора, роли и значения в этом хемогенного и биогенного факторов. Наши представления об этом частично изложены в работе [23]. Здесь важно подчеркнуть, что фосфориты — морские осадочные образования, а их фосфор заимствовался из океанских вод. Естественно, что его концентрации в них имели первостепенное значение для фосфоритогенеза, и эпохи накопления фосфоритов связаны с этапами повышенных



Геохронологическое размещение и сопоставление эпох накопления апатитовых и фосфоритовых руд:

I — тектономагматические эпохи; II — возраст границ периодов (цифры справа) и эпох (цифры слева), млн лет; III — периоды; эпюры накопления руд: 1 — апатитовые; 2 — фосфоритовые; 3 — средняя интенсивность накопления рассеянного фосфора в осадочных породах, млн т P_2O_5 за 1 млн лет; геохронологическая шкала для дофанерозоя и шкала запасов более 1 млрд т P_2O_5 даны в логарифмическом масштабе

концентраций и резерва фосфора в Мировом океане. Эпохи фосфоритогенеза были весьма короткими и в общем довольно редкими в истории Земли. А каковы же были концентрации фосфора в океанских водах в гораздо более продолжительные интервалы между эпохами? Изучение фосфоритов не дает ответа на этот вопрос. Однако его можно решить, если обратиться к другой форме нахождения фосфора в осадочных породах — рассеянной, содержащейся в них в окологларковых концентрациях.

В исследованиях последних 20—35 лет содержание рассеянного фосфора в осадочных породах определено для всех стратиграфических подразделений венд-фанерозоя. Оказалось, что общая масса рассеянного фосфо-

ра на много порядков превышает его запасы в фосфоритах. Последняя оценка показала [24], что масса рассеянного фосфора в осадочных породах составляет $19 \cdot 384 \cdot 10^{14}$ т P_2O_5 ; она рассчитана для каждого стратиграфического подразделения, но при этом подчеркнуто [24], что масса фосфора определяется не столько его содержанием в породах, сколько массой последних, зависящей от ряда факторов и в значительной степени от весьма различной длительности эпох и периодов. Поэтому для историко-геологического анализа гораздо более показательна не масса фосфора в том или ином подразделении, а интенсивность его накопления, т.е. масса, осаждавшаяся за единицу времени, например, за 1 млн лет. Именно интенсивность фосфоронакопления отражает его концентрацию в океанских водах той или иной эпохи, а это для задач настоящей статьи имеет первостепенное значение. Средняя интенсивность для всех эпох венд-фанерозоя определена в той же работе [24]. В ней, кроме того, показано важное значение тенденций изменения интенсивности от эпохи к эпохе и установлено, что ее нарастание приводит к эпохам фосфоритообразования и накопления. Это, конечно, легко объяснимо. Поскольку интенсивность отражает концентрацию фосфора в океанских водах, то ее нарастание свидетельствует об увеличении этой концентрации, и в пиках (максимумы) интенсивности концентрации фосфора в океанских водах достигали тех значений, которые необходимы для образования фосфоритов. Оно происходило синхронно в разных регионах, отражая глобальность главных эпох фосфоритонакопления.

Все это очень важно для решения нашей главной задачи — установить, как тектономагматические эпохи с интенсивным рифтогенезом, приводившие к формированию апатитовых руд, сопровождались крупными поступлениями фосфора в океаны, повышением в них его концентраций и образованием фосфоритов. Синхронные накопления последних возникали, однако, не повсеместно, а лишь там, где проявлялся комплекс и других условий, необходимых для фосфоритогенеза.

Образование и накопление апатитов началось в конце архея (группа магматических месторождений хр. Джугджур) и прерывисто продолжалось в протерозое, будучи связанным с карельской, готской, гренвильской тектономагматическими эпохами (рисунок). В это время преобладали апатиты магматической группы (кроме месторождений Джугджура, Укдуска, Стремигородское, Гремяча-Вырмес и др.). Постепенно все большие масштабы приобретали карбонатитовые месторождения. Если в раннем протерозое они были единичны (Палеобора, Новополтавское), то в среднем число их возрастает (Гленовер, Карджил, Лекнер-Дейк и др.). Масштабы древних апатитонакоплений сравнительно небольшие. Еще более мелкими и редкими были формирования фосфоритов; об их сопоставлении с апатитами в протерозое говорить даже не приходится.

В байкальскую тектономагматическую эпоху картина существенно меняется. Почти полностью исчезают магматические апатитовые месторождения, резко преобладают карбонатитовые, масштабы их возрастают.

Крупные накопления апатитов произошли в рифе — венде, когда формировались такие крупные месторождения, как Томтор, Мабуни в Габоне и др. Запасы апатитов, сформировавшихся в эту эпоху, равны всему, что сформировалось ранее.

С завершением байкальской эпохи связано следующее апатитонакопление, включающее Белозиминское, Фён и Кодал в Норвегии, Кокчетавское месторождения и др. Интенсивный рифтогенез и другие тектоно-магматические события байкальской эпохи привели не только к крупным накоплениям апатитов, но и значительным поступлениям эндогенного фосфора в океаны. В результате проявились крупнейшие накопления фосфоритов на границе венда и кембрия — сформировалась глобальная поздневендинско-раннекембрийская эпоха фосфоритогенеза; как отзвуки ее можно рассматривать накопления фосфоритов в среднем кембрии и раннем ордовике. То, что от венда к кембрию концентрации и резервы фосфора в океанах возрастили четко отражает нарастание интенсивности накопления рассеянного фосфора в осадочных породах (см. рисунок).

Следующая и самая крупная эпоха апатитонакопления связана с завершением каледонской и началом герцинской тектоно-магматических эпох. В сравнительно короткий отрезок времени сформировались такие масштабные апатитовые месторождения, как Хибинские, Ковдор, Вуориярви, Себльярви, Сокли, Сийлиньярви и др. С девоном связано следующее резкое нарастание интенсивности накопления рассеянного фосфора. Однако, сколько-нибудь значительным образованием фосфоритов это не сопровождалось, за исключением бедных и мелкомасштабных на хр. Эльбурс в Иране. Остается невыясненным, почему в длительное время от ордовика до перми (а это почти треть фанерозоя) фосфоритообразование не происходило, хотя “противопоказаний” этому не отмечено. Фосфориты Эльбурса и Скалистых гор (США) этой проблемы не снимают.

На рисунке хорошо видны следующие, почти синхронные накопления и апатитов, и фосфоритов в пермо-триасе с предшествующим резким увеличением интенсивности фосфоронакопления. Подобное же, но менее четко выраженное сочетание зафиксировано для границы юры и мела. А вот к позднему мелу и половине палеогена приурочена самая крупная глобальная эпоха накопления фосфоритов. Она синхронна с эпохой апатитонакоплений, проявившихся в Бразильской (Якутиранга, Сероте, Ипанема) и Восточно-Африканской (Чилва, Тундулу, Панда-Хилл) провинциях, а предшествовало ей, как и в других случаях, нарастание от юры к позднему мелу интенсивности накопления рассеянного фосфора.

Таким образом, вся “фосфатная история” вендо-фанерозоя отчетливо свидетельствует о закономерной геолого-генетической связи образования и накопления апатитов и фосфоритов с тектоно-магматическими эпохами, преимущественно с их завершающими этапами, сопровождавшимися интенсивным рифтогенезом, деструкциями земной коры, активным ультращелочным магматизмом с карбонатитообразованием на континентах и базальтоидными излияниями в океанах, и крупными выделениями глубинного мантийного фосфора. Это привело к повышению в них концентраций фосфора и обусловило формирование глобальных эпох фосфоритогенеза. Повышение концентраций фосфора в океанских водах убедительно подтверждается данными о его содержании в осадочных породах и особенно интенсивностью фосфоронакоплений и ее нарастанием, предшествующим эпохам фосфоритогенеза.

В заключение следует сказать, что, устанавливая решающую роль глубинного мантийного фосфора в формировании месторождений апатитов и его важное значение в формирова-

нии фосфоритов, мы, конечно, не сбрасываем со счета другие источники его поступлений в древние океаны и, прежде всего, его снос с континентов. Он и в те древние эпохи имел важнейшее значение, а количественно зависил от многих условий, в особенности от меняющегося характера питающих провинций [30]. Установление соотношений, баланса всех источников питания фосфором древних океанов требует специальных непростых исследований, являющихся одной из задач будущего. Однако роль эндогенного фосфора для образования древних фосфоритов несомненно более значительна, чем это обычно трактуется.

СПИСОК ЛИТЕРАТУРЫ

- Батурин Г.Н. Фосфориты на дне океана. — М.: Наука, 1978.
- Бородин Л.С., Лапин А.В., Харченков А.Г. Редкометалльные камафориты. — М.: Наука, 1973.
- Бродская Н.Г. Роль вулканизма в образовании фосфоритов. — М.: Наука, 1974.
- Бушинский Г.И. Формация Фосфория. — М.: Наука, 1969.
- Бушинский Г.И. Биохимическая теория происхождения фосфоритов // Тез. докл. к семинару “Условия образования геосинклинальных фосфоритов”. Карагату, 1970. С. 6.
- Валеев Р.Н., Файзуллин Р.М., Язмир М.М. Глобальный рифтогенез и процессы фосфатного рудообразования // Докл. АН СССР. 1979. Т. 249. С. 934—937.
- Минеральные ресурсы зарубежных стран (на начало 1992 г.). — М.: Роскомнедра, 1993.
- Геология месторождений фосфоритов, методика их прогнозирования и поисков / Под ред. А.С.Зверева, А.С.Михайлова. — М.: Недра, 1980.
- Гиммельфарб Б.М. Закономерности размещения месторождений фосфоритов СССР и их генетическая классификация. — М.: Недра, 1965.
- Дзоценидзе Г.С. Роль вулканизма в образовании осадочных пород и руд. — М.: Недра, 1969.
- Егоров Л.С. Ийолит-карбонатитовый плутонизм. — Л.: Недра, 1991.
- Казаков А.В. Фосфатные фации. Происхождение фосфоритов и геологические факторы формирования месторождений // Тр. НИУИФ. 1939. Вып. 45.
- Королев В.Г., Джумалиев Т., Киселев В.В. и др. Особенности геологического развития и условия фосфатонакопления в Таласо-Каратауской зоне // Условия образования геосинклинальных фосфоритов. М., 1983. С. 62—70.
- Красильникова Н.А. Геотектонические условия размещения фосфоритовых месторождений СССР // Проблемы прогноза, поисков и разведки месторождений горно-химического сырья. М., 1971. С. 8—13.
- Кук П.Д., Макеихини М.У. Переоценка пространственного и временного распределения месторождений фосфоритов в свете тектоники плит // Геология месторождений фосфоритов. М., 1983. С. 7—34.
- Кухаренко А.А., Булах А.Г., Ильинский Г.Л. Металлогенические особенности щелочных формаций восточной части Балтийского щита // Тр. Ленингр. об-ва естествоиспыт. 1971. Т. 72. Вып. 2.
- Кэй М. Геосинклинали Северной Америки. — М.: ИЛ, 1955.
- Лисицын А.П. Вклад эндогенного вещества в океанскую седиментацию // Литология на новом этапе развития геологических знаний. М., 1981. С. 20—45.
- Лисицын А.П., Богданов Ю.П., Гурвич Е.Г. Гидротермальные образования рифтовых зон океана. — М.: Недра, 1990.
- Пущаровский Ю.М. Мировая рифтовая система — редкое событие в геологии // Тихоокеанская геология. 1986. № 6.
- Равич М.Г. Загадки Гондваны. — М.: Знание, 1972.
- Соколов А.С. Классификация и закономерности размещения месторождений фосфатов // 27-й Междунар. геол. конгресс. Неметаллические полезные ископаемые. 1984. Т. 15. С. 48—58.
- Соколов А.С. Генетическая классификация месторождений фосфатных руд // Изв. вузов. Геология и разведка. 1995. № 5. С. 57—67.
- Соколов А.С. Фосфор в стратисфере // Докл. АН. 1995. Т. 344. № 3. С. 370—373.
- Файзуллин Р.М. Минерализация и прогноз месторождений апатита. — М.: Недра, 1991.
- Фролов А.А. Структура и оруденение карбонатитовых массивов. — М.: Недра, 1975.
- Фролов А.А. Рудоносные вулканогенные структуры. — М.: Недра, 1994.
- Фролов А.А., Соколов А.С. Роль глубинного фосфора в формировании месторождений фосфатных руд // Международный

- симпозиум "Проблемы фосфатной геологии": Тез. докл. М., 1995. С. 16–17.
29. Хайн В.Е., Милановский Е.Е. Тектоническая карта мира // БСЭ. 1972. Т. 9. С. 488.
 30. Ходоров В.Н. Эволюция питающих провинций — важнейший фактор осадочного рудообразования // 27-й Междунар. геол. конгресс. Литология (осадочные породы). 1984. Т. 4. С. 75–84.
 31. Шатский Н.С. Фосфоритоносные формации и классификация фосфоритовых залежей // Совещание по осадочным породам. М., 1995. Вып. 2. С. 7–100.
 32. Шейнман Ю.М. Очерки глубинной геологии. — М.: Недра, 1968.
 33. Эштейн Е.М. Геолого-петрологическая модель и генетические особенности рудоносных карбонатитовых комплексов. — М.: Недра, 1994.
 34. Юдин Н.И. Дорифейский фосфогенез // Литология и полезные ископаемые. 1996. № 3. С. 321–328.
 35. Яншин А.Л. Эволюция фосфоритообразования // Эволюция геологических процессов в истории Земли. М., 1993. С. 158–174.
 36. Яншин А.Л., Жарков М.А. Фосфор и калий в природе. — Новосибирск: Наука, 1986.
 37. Louis P.L. Availability of Fertilizer Raw Materials Paper read at the International Conference in Cambridge on 8–9 December 1993. The Fertilizer Society, 1993.
 38. Notholt A.J.Q., Highley D.E. World phosphate resources, with particular reference to potential lowgrade ores. Transactions, of the Institution of Mining and Metallurgy. 1986. Vol. 95. July. P. A124–A132.
 39. Phosphate deposits of the World. Vol. 2. Phosphate rock resources. Cambridge University Press. 1989.
 40. Slansky M. Geology of sedimentary phosphates Elsevier. 1986.
 41. World survey of phosphate deposits. Fourth edition. The British Sulphur Corporation Limited. London. 1980.

Принята редакцией 27 января 1997 г.

УДК 553.068

© С.Г.Прудников, 1997

Условия образования и закономерности размещения россыпей Харальского золотоносного района

С.Г.ПРУДНИКОВ (Тувикопр СО РАН)

Вопросы россыпнеобразования в настоящее время находятся на весьма высоком уровне научного обобщения. Вместе с тем, в Туве они рассмотрены в самых общих чертах и в литературе почти не освещались. Основные факторы россыпнеобразования — геологические, неотектонические, геоморфологические и палеогеоморфологические — редко рассматривались в комплексе в их тесной взаимосвязи. В результате этого из поля зрения геологов выпали целые эпохи россыпнеобразования, неверно оценивались перспективы древнеледниковых районов. В данной статье на примере Харальского золотоносного района Тувы рассмотрены особенности неотектоники, развития рельефа, рыхлых отложений и россыпей как единой пространственно-временной среды.

Подобное изучение имеет еще и важное практическое значение. Многие из ранее выявленных россыпей в настоящее время в значительной мере отработаны. Перспективы прироста запасов золота как традиционных, так и "сложных" типов россыпей, особенно на флангах исследуемого района, невозможны без изучения пространственных закономерностей и особенностей их размещения, степени влияния ледниковых процессов на их распределение, уничтожение и захоронение. Кроме того, нами поставлена задача выбора геоморфологических и структурно-тектонических критериев поисков дочетвертичных россыпей, связанных с отложениями древней гидросети.

Харальский золотоносный район характеризуется отчетливо проявленным линейным размещением золотоносных россыпей (рис. 1). Ведущий элемент линейной локализации — Бийхемская межблоковая зона, представленная серией параллельных тектонических швов и зон трещиноватости шириной несколько километров, возникшая на стыке Харальско-Билинского и Кызыл-Хемского жестких блоков [12]. В межблоковой зоне известно шесть позднепротерозойских вулканических центров, имеющих преимущественно субвулканический уровень среза. Золотое оруденение района тяготеет преимущественно к субвулканическим интрузиям и жерловинам этих палеовулканов, к низам вулканогенных отложений и толще графитистых сланцев, и относится к золото-кварцевой, золото-кварцитовой и золото-сульфидно-углеродистой формациям [5, 12].

В морфоструктурном отношении Харальско-Билин-

ский и Кызыл-Хемский блоки представляют собой соответственно структуры третьего порядка: Восточно-Тувинское нагорье и сводово-глыбовое поднятие хр. Академика Обручева. К межблоковой зоне приурочена Серлигхемская впадина, расположенная восточнее района, исследований и выполненная юрской молассой (рис. 2).

Влияние структурных и рудноформационных факторов на особенности формирования аллювиальных россыпей золота осложнено наложением палеогеоморфологических, неотектонических и экзогенных факторов. Среди последних наиболее существенными являются: террасированность долин, неоднократные четвертичные оледенения, широкое развитие нивальных процессов. Сложное взаимодействие этих факторов определяет следующие характерные особенности россыпей Харальского района: все известные золоторудные проявления и золотороссыпные месторождения расположены в пределах зоны субширотного простираания шириной до 10 км. Эта локальная структура выделяется в рамках Бийхемской межблоковой зоны, ограничена глубинными разломами и получила название Центральной морфоструктуры (см. рис. 1). В центральной части морфоструктуры расположены известные россыпные месторождения Ойна, Демирчи, Харал. Восточный ее фланг перекрыт сложным комплексом ледниковых отложений средне-позднеплейстоценовых оледенений и не изучен. На юге Центральная морфоструктура отчетливо ограничена разломом Южный (Ойнинско-Демиржинский), контролирующим размещение головных частей всех россыпей района, выше которого долины ручьев золотоносны в единичных случаях. Северная граница выражена менее отчетливо, проходит по разлому Северный и контролирует нижние части россыпей, имеющие тенденцию к выклиниванию и разубоживанию; россыпи отличаются однообразием генетических типов — это простые аллювиальные россыпи долин и террас, со среднеглубокими в главных долинах третьего порядка с уклоном 0,012, реже — в нижних частях их крупных боковых притоков; золото россыпей хорошей и средней окатанности, комковидно-угловатой и прожилково-трещинной форм. Довольно часто золото в сростках с кварцем, реже — с отпечатками граней других кристаллов. Золотины покрыты пленками гидроксидов железа, оксидов марганца и носят

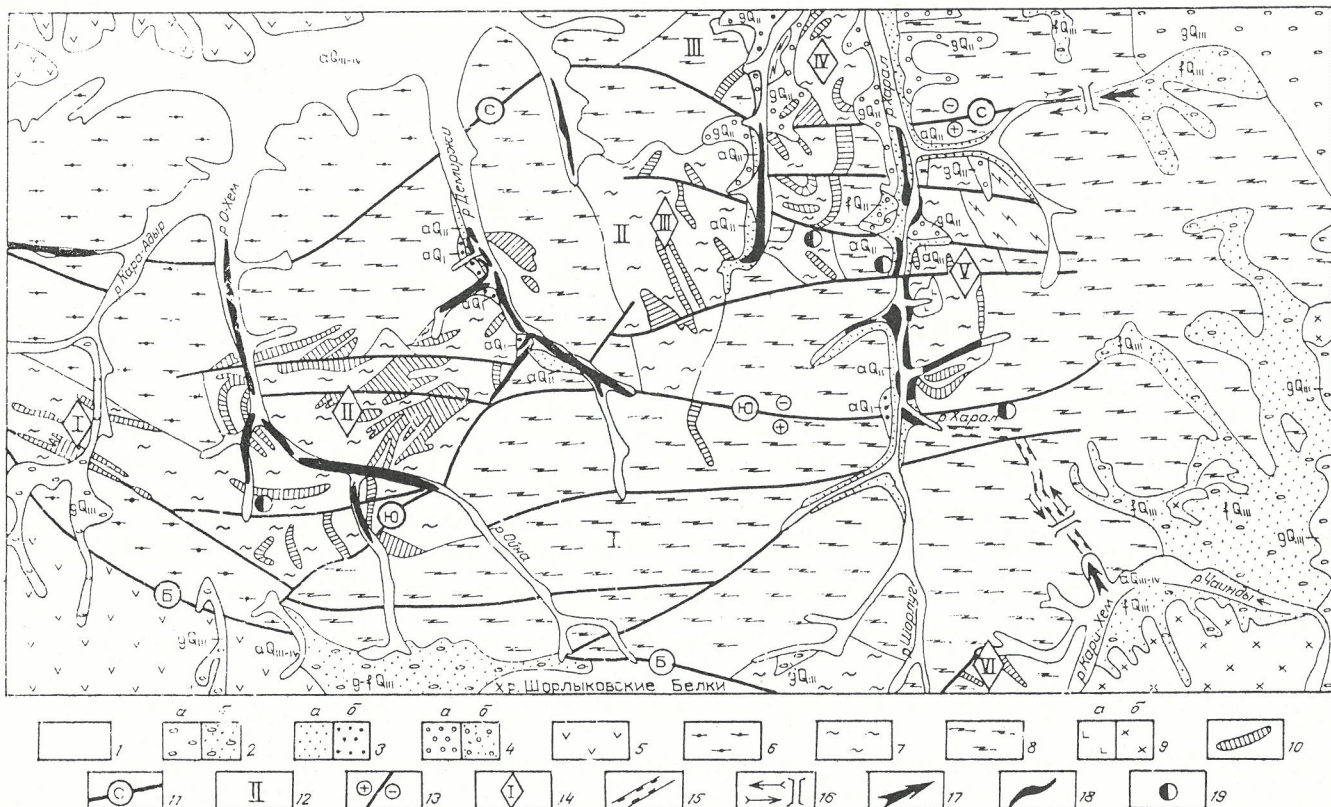


Рис. 1. Схема геологического строения района, с использованием материалов работ [4, 5]:

1 — аллювиальные отложения первой надпойменной террасы, пойменные и русловые нерасчлененные; 2 — ледниковые (а) и флювиогляциальные (б) отложения позднеплейстоценового (Азасского) оледенения; 3 — аллювиальные отложения второй (а) и третьей (б) надпойменных террас; 4 — ледниковые (а) и флювиогляциальные (б) отложения среднеплейстоценового (кахемского) оледенения; 5 — матттайгинская свита нижнего кембрия (вулканогенные и вулканогенно-территиные породы); 6 — ошемская свита нерасчлененная (метапесчаники и метаалевролиты с горизонтами углистых сланцев, конгломератов, филлитов), PR₂ oh; 7 — харальская свита верхнего протерозоя (метаморфизованные эфузивы и туфы базальтового состава, песчаники и алевролиты, PR₃ hr; 8 — демиржинская свита верхнего протерозоя нерасчлененная — кварц-биотит-гранатовые, кварц-серicit-гранатовые сланцы, PR dm; 9 — интрузии диоритов (а) и плагиогранитов (б) Таннуольского комплекса, E₁₋₂ tn; 10 — позднепротерозойские субвулканические интрузии метагаббро и метагаббро-диабазов, v PR₂; 11 — основные разломы: Б — Бийхемский, Ю — Южный (Ойнинско-Демиржинский), С — Северный; 12 — морфоструктурные блоки: I — интенсивных поднятий, II — умеренных поднятий (Центральная морфоструктура), III — относительных опусканий; 13 — направление движения морфоструктурных блоков; 14 — вулканические центры: I — Кара-Адырский, II — Ойнинский, III — Ольховский, IV — Хадынский, V — Харальский, VI — Кара-Хемский; 15 — ущельевые отрезки долин; 16 — участки перехода рек и направление движения древней гидросети; 17 — направление стока талых ледниковых вод; 18 — россыпи; 19 — золоторудные проявления

следы механических деформаций, вызванных неоднократным переотложением.

Время формирования и эволюция россыпей. Формирование рельефа Бийхемской тектонически активной зоны в течение длительного геологического периода происходило в условиях преобладающего неоднородного вертикального растяжения и последующего сжатия при разнонаправленных, часто знакопеременных движениях жестких блоков [12], в связи с этим в истории развития района имели место две основные эпохи, благоприятные для россыпнеобразования: среднемезозойская (J) и олигоцен- голоценовая (P₃—Q₄). Первая изучена слабо. Золото установлено лишь в отдельных пробах из юрских конгломератов. Ко второй относятся все известные долинные и террасовые россыпи района.

Для каждой из двух эпох россыпнеобразования характерны свои бассейны осадконакопления: не совпадающие в пространстве. Для юрского времени это Серлигхемская межгорная впадина [3, 8], для четвертичного — долина р. Бий-Хем. В зависимости от направления стока гидросети по отношению к Бийхемской межблоковой зоне формировались и россыпи, которые условно можно объединить в две группы: продольные и поперечные.

Продольные россыпи, ориентированные вдоль межблоковой зоны и относящиеся к среднемезозойской

эпохе россыпнеобразования, пока не установлены, хотя и имеются все предпосылки для их образования. В юрскую эпоху сложились для этого наиболее благоприятные условия: крупномасштабное высвобождение золота из коренных источников, обусловленное длительностью и интенсивностью процессов пенепленизации и глобального корообразования [7]; решающее значение для локализации месторождений приобрели индивидуальные особенности прогибов и поднятий, возраст и условия их сопряжения.

Серлигхемская впадина занимает центральную часть Бийхемской межблоковой зоны и в юрское время представляла собой озерно-аккумулятивную равнину для смежных поднятий [3, 4]. Питающей провинцией для впадины послужил, видимо, расположенный в непосредственной близости Харальский золотоносный район. Исходя из анализа имеющихся материалов, можно предположить, что вдоль Центральной морфоструктуры, ориентированной в субширотном направлении в сторону Серлигхемской впадины, в прошлом пролегала крупная золотоносная речная долина. Фрагменты палеодолины, прорезанной в юрских конгломератах и затем залившей базальтами ранне-среднеплейстоценово-возраст и заполненной ледниками отложениями, известны в юго-западной части Серлигхемской впадины. В каньоне р. Хан, в 3 км выше ее

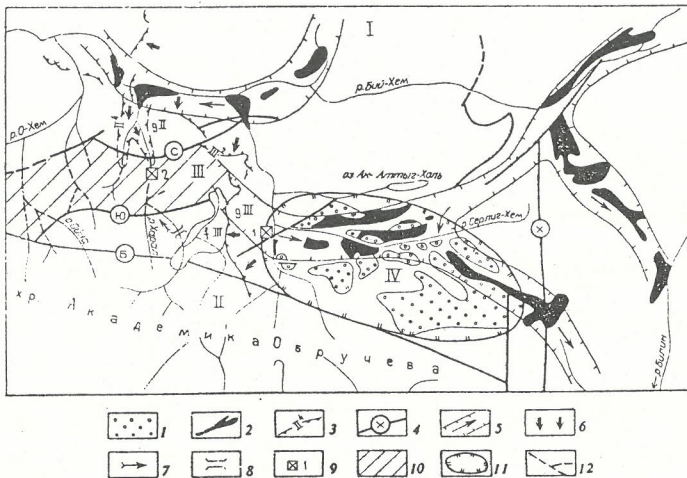


Рис. 2. Схема соотношения бассейнов осадконакопления в среднемезозойское и четвертичное время с использованием материалов работы [4]:

1 — серлигхемская свита нижней юры (сероцветные песчаники, гравелиты, конгломераты); 2 — потоки антропогенных базальтов; 3 — границы распространения ледников: II⁴ — Кахемский эпохи второго среднеплейстоценового оледенения, III² — позднеплейстоценовое оледенение; 4 — основные разломы: Б — Бийхемский, Х — Сурханский, С — Северный, Ю — Южный (Ойнинско-Демиржинский); 5 — древние долины, образовавшиеся до излияний эзоглайстоцен-раннеплейстоценовых базальтов; 6 — направление движения ледников; 7 — направление стока талых ледниковых вод; 8 — участки перехвата речных долин; 9 — опорные разрезы: 1 — р. Хан, 2 — р. Харал; 10 — контуры Центральной морфоструктуры; 11 — контуры Серлигхемской впадины; 12 — россыпи; gII — ледниковые отложения среднеплейстоценового оледенения; gIII — флювиогляциальные отложения позднеплейстоценового оледенения; морфоструктуры: I — Восточно-Тувинское нагорье, II — хр. Академика Обручева, III — Бийхемская межблоковая зона, IV — Серлигхемская впадина

устья (см. рис. 2, опорный разрез 1), на конгломератах серлигхемской свиты ($J_1\text{ sr}$) с размывом залегают мелкогалечные хорошо отсортированные конгломераты мощностью 2–6 м, которые постепенно переходят в кору выветривания — продукт химической дезинтеграции неогенового аллювия. Термический анализ определил монтмориллонитовый состав коры со следами гидрослюд, кальцита. Мощность коры выветривания 4 м. Разрез перекрыт потоком базальтов мощностью 20 м, который, в свою очередь, несет ледниковую покрышку мощностью 2–3 м (С.П.Демьянин, 1991).

К группе поперечных россыпей отнесены все известные современные россыпи района. Они приурочены к сравнительно коротким долинам, расчленяющим систему среднегорных хребтов поперек их склонов. Формирование из связано с новейшим орогенным поднятием хр. Академика Обручева, обусловившим резкую перестройку плана речной сети и изменение направления долин. На образование поперечных россыпей есть две точки зрения. Согласно первой, они образовались в процессе трансформации древних мезозойских россыпей палеодолины на завершающих этапах развития. Понижение абсолютных отметок головных частей россыпей с запада на восток (Ойна — 1290 м, Демиржи — 1250 м, Хайдын — 1190 м, Харал — 1170 м), видимо, служит косвенным доказательством понижения продольного профиля древней долины вниз по течению. Скатывание всех рек района к правому борту долин также объясняется общим уклоном местности с запада на восток. В этом случае можно ожидать новые россыпи по простирианию Центральной морфоструктуры на восток под отложениями позднеплейстоценового оледенения. Причем, возможно, обнаружение как древних юрских, так и четвертичных россыпей, возникших за счет перемыва последних. Подобные россыпи, связанные с нижнеюрскими золотоносными конгломератами унаследованных впадин, давно известны в Алтае-Саянской провинции, Приамурье и других районах Сибири и Дальнего Востока [6, 7]. Согласно второй точке зрения, современные россыпи сформировались в резуль-

тате размыва продуктивной линейной коры выветривания в ее же контурах. Остаточные коры выветривания не установлены. Они оказались снесенными и переотложеными в области аккумуляции крупных речных долин. Во втором случае имеются перспективы выявления новых россыпей золота по простирианию Центральной морфоструктуры в обе стороны. Возможно и совмещение роли линейных кор выветривания в питании аллювиальных россыпей и россыпей древней гидросети, выступавшей в качестве промежуточного коллектора.

Неотектонические движения и их роль в формировании террасового ряда и размещении россыпей Харальского района. История долины р. Харал и особенности ее строения изучались многими исследователями. Так, коленообразный речной перехват в верховье р. Харал и узкое ущелье в средней части долины некоторые ис-

следователи объясняли неотектоническими движениями (В.М.Рожанец, А.П.Божинский и др., 1963). М.Г.Гросвальд [4], отвергая неотектонический фактор, решающую роль отводил речной эрозии при стоке талых ледниковых вод позднеплейстоценового оледенения. По нашему мнению, определяющее влияние на формирование рельефа всего Харальского района оказали блоковые неотектонические движения. Это подтверждается хорошей корреляцией террасового ряда рек Ойна, Демиржи, Харал, расположенных в пределах единых неотектонических блоков. Некоторые отличительные особенности строения долины р. Харал объясняются последующим наложением эрозионной деятельности талых ледниковых вод. Поднятие района привело к вертикальному перемещению отдельных блоков вдоль субширотных разломов, что обусловило ступенчатость рельефа, к расчленению и глубокому врезанию современных рек и перестройке плана речной сети. М.Г.Гросвальд [4], а вслед за ним и О.А.Раковец [10] выделили три фазы неотектонических движений. Главная Саяно-Тувинская фаза датируется эзоглайстоценом — ранним плейстоценом, вторая (мерзлойская) — второй половиной среднего плейстоцена и относится к межледниковой эпохе, и третья (жомболокская) — слабо выраженная голоценовая фаза. Анализ террасового ряда Харальского района свидетельствует о существовании еще одной фазы неотектонических движений, создавшей уровень второй надпойменной террасы и относящейся, по-видимому, к началу среднего плейстоцена.

Выделяются следующие основные неотектонические блоки, определившие формирование рельефа и россыпей района:

- 1) интенсивных поднятий — от осевой части хр. Шорлыковские белки до разлома Южный — охватывает верховья долин;
- 2) умеренных поднятий — в пределах Южного и Северного разломов — включает Центральную морфоструктуру;

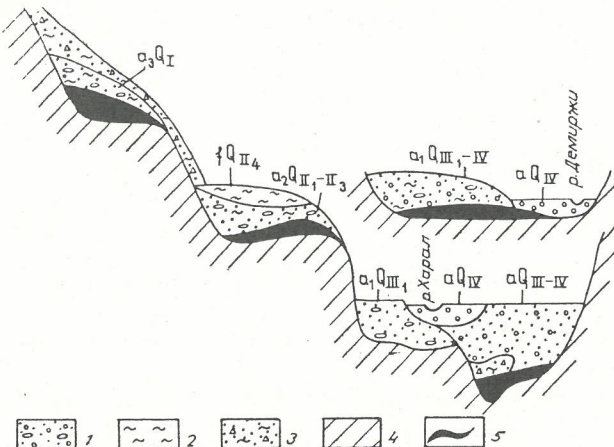


Рис. 3. Строение долин Харальского района:

1 — аллювиальные отложения пойм и террас; 2 — флювиогляциальные отложения среднеплейстоценового оледенения; 3 — делювиально-пролювиальные отложения прислоновых шлейфов; 4 — коренные породы; 5 — золотоносный пласт

3) относительных опусканий характеризует нижние отрезки долин ниже разлома Северный.

Первый тип морфоструктур характеризуется высоким энергетическим потенциалом рельефа, обусловившим высокую активность эрозионных процессов и отрицательный баланс обломочного материала. В осевой части хребтов сохранились древние поверхности выравнивания (итчплены) в виде выровненных, слабо вехолмленных поверхностей, видимо, неогенового возраста. Долины глубоко врезаны, с крутыми симметричными бортами. Относительные превышения составляют 550—750 м. В днище выделяются пойма и первая надпойменная терраса; в долине р. Харал — вторая надпойменная цокольная терраса. В пределах блока как основные долины, так и их боковые притоки в основном не золотоносны. Отмечаются точечная золотоносность и небольшие россыпи по рекам Демиржи и Ойна.

Второй тип морфоструктур включает Центральную морфоструктуру и характеризуется умеренными поднятиями. В его пределах размещены практически все россыпные месторождения района. Отчетливо выражен террасовый ряд трех уровней (рис. 3). Первая надпойменная терраса высотой 1—2 м является аккумулятивной. Расположена она вдоль пойменной части долин и ранее включалась в состав высокой поймы. Большинством исследователей принимается голоценовый возраст отложений террасы. По нашему мнению, формирование уровня террасы произошло раньше — в мерзлякскую fazu неотектонических движений, и отложения террасы формировались в условиях начавшегося позднеплейстоценового оледенения. Мощность аллювиальных отложений террасы 2—2,5 м в долине р. Демиржи и до 20 м в долине р. Харал. К пойменной части долины р. Демиржи, ширина которой достигает 500 м, приурочены основные россыпи золота. Местами в разрезе пойменной части р. Харал отмечается погребенный врез, характеризующий этап эродирующей деятельности талых ледниковых вод верхнеплейстоценового оледенения.

Вторая надпойменная терраса является цокольной. Высота ее в долине р. Демиржи 6—14 м, в долине р. Харал от 12 м в нижней части блока до 50 м в верхней. Этот уровень террас вмещает основные россыпи р. Харал и часть россыпей р. Демиржи.

Третья надпойменная терраса в виде сильно эродированных фрагментов прослежена по левому борту р. Демиржи в средней ее части. Ширина фрагментов 50—200 м, протяженность до 2 км. Терраса является цокольной. Высота цоколя над уровнем поймы от 20 м

в верхней части до 30 м в нижней. Мощность аллювия 0,5—7 м. В 1995 г. В.С. Горшков впервые установил ее золотоносность.

В долине р. Харал третья надпойменная терраса выделяется в виде фрагмента в левом борту долины. Высота террасы над уровнем поймы 80 м. Ширина фрагмента до 130 м, длина до 1 км. Золотоносность террасы не изучена.

Еще один фрагмент террасы установлен в левом борту р. Харал в районе узла Мозгалевский. Здесь до отметки 1200 м выявлены отложения, по составу и строению напоминающие флювиогляциальные образования и отчетливо коррелирующиеся с ледниками отложениями среднеплейстоценового оледенения. На 80 % они состоят из слабо структурированного песка с нечетко обособленными илистыми линзочками.

Морфоструктурный блок относительных опусканий характеризует нижние участки долин до их впадения в р. Бий-Хем. Широкие долины имеют трапециевидный поперечный профиль. В долинах рек Ойна и Демиржи нет явно выраженных террас. Борта пологие, сильно залесены, лишены уступов. Днища долин шириной 300—700 м включают пойму и плохо выраженную первую надпойменную террасу. По долинам рек Харал и Хайдын имеются явные следы ледниковой и водно-ледниковой деятельности. В приустьевой части отмечается конечноморенный вал хорошей сохранности позднеплейстоценового оледенения. Выше отмечены следы оледенения меньшей сохранности. Это холмисто-западинный рельеф вдоль обоих бортов долин, наличие крупных экзотических валунов в русле и на склонах, флювиогляциальные отложения террас и зандротов. Долины рек в пределах блока характеризуются избыточной мощностью аллювия (свыше 30 м по р. Харал), разубоживанием и выклиниванием россыпей.

Таким образом, четыре фазы неотектонической активизации сформировали в пределах Центральной морфоструктуры три уровня террас — пойму и первую надпойменную аккумулятивную, вторую и третью надпойменные цокольные террасы. Основной этап формирования россыпей приходится на период образования отложений второй надпойменной террасы и относится к среднему плейстоцену. Золотоносность сохранившихся фрагментов третьей террасы дает основание начальный этап россыпнеобразования отнести к раннему плейстоцену.

Роль оледенений в истории Харальского района. В районе четко проявились две фазы оледенения: среднеплейстоценовая, разделенные активизацией тектонических движений. В большей степени следы оледенения выражились в рельфе рек Харал и Хайдын. Рельеф остальной части района в эти периоды формировался под воздействием перигляциальных процессов.

Ледниковые отложения позднеплейстоценового возраста являются маркирующими для территории Тувы. Оледенение довольно полно изучено, носило сетчатый характер [4, 8], характеризуется хорошей сохранностью моренных и флювиогляциальных отложений. Конечно-моренный вал позднеплейстоценового возраста, отчетливо выраженный в рельфе, опоясывает долину р. Харал с севера на юго-восток от приустьевой части до ее верховья и далее прослеживается за пределами района на сотни километров. Вал характеризует длительное стационарное положение, имевшее незначительные размеры и не оказавшее существенного влияния на россыпнеобразование в районе. В верхней части образовалось подпрудное Верхнехаральское озеро, в результате катастрофического стока которого произошел переход верховья р. Кара-Хем и сформировалось глубоко врезанное ущелье р. Харал [4].

Второй тип оледенения носит горно-долинный характер и относится ко второму среднечетвертичному

ледниковою. На территории Восточно-Тувинского нагорья второе среднечетвертичное оледенение (каахемское) носило покровный характер, в краевых частях переходящее в сетчатое и долинное. В районе исследований среднечетвертичный ледник выделен по геоморфологическим признакам и по аналогии с горно-долинными ледниками южных склонов хр. Академика Обручева [2, 4, 8], имевшими, видимо, общий источник питания в бассейне р. Бий-Хем. От питающего покровного ледника в долине р. Бий-Хем горно-долинный ледник продвинулся вверх по долине р. Харал на 16 км до руч. Мозгальевский. Отсутствие явно выраженной конечной морены объясняется непрерывным продвижением и последующим отступлением ледника без стационарной фазы стояния. В этом отношении ледник, видимо, относится к теплому или умеренному типу [11] с температурой, близкой к точке таяния льда, в результате чего талые воды присутствуют в нем в значительных количествах, накапливаясь в трещинах и озерах на поверхности ледника и под его основанием. Наличие талой воды под основанием и позволяет теплым ледникам перемещаться со значительной скоростью. С потоками талых вод, текущими между краем ледника и коренным склоном долины, видимо, связаны и камовые террасы в левом борту р. Харал на высоте до 1200 м. После себя ледник оставил отложения основных морен, небольших подпрудных озер и флювиогляциальные отложения, отнесенные ранее большинством исследователей к озерно-ледниковым и флювиогляциальным отложениям позднеплейстоценового оледенения. Взаимоотношение отложений горно-долинного оледенения и аллювиальных отложений второй надпойменной террасы установлено в разрезе цокольной террасы р. Харал на увале Степановский в краевой части ледника (см. рис. 2, опорный разрез 2):

- 1) почвенно-растительный слой — интервал 0—0,2 м;
- 2) супесь буровато-серая, плотная, с редкой дресвой; в подошве пласта горизонт тонкозернистых песков рыжевато-бурового цвета мощностью 5 см (fQII4) — 0,2—3 м;

3) валунно-гравийно-галечниковые отложения с песчанистым заполнителем зелено-серого цвета, хорошо перемыты, сортированы, со слабо выраженной близоризонтальной слоистостью, с небольшими линзами сортированного мелкозернистого песка (aQIII3) — 3—5,5 м;

4) галька, гравий, редкие мелкие валуны в суглинике грязного буровато-серого цвета с рыжими пятнами; валуны и галька часто полуразложившиеся до рыхлого состояния (aQIII1) — 5,5—8,5 м;

- 5) трещиноватые коренные породы — 8,5—9,5 м.

Возраст отложений устанавливают следующим образом.

1. Верхняя граница оледенения устанавливается по соотношению с разломом Северный (см. рис. 1), отчетливо выраженным в рельфе в долинах рек Харал и Правая Тылба в виде сбросовой ступени и смещающим ледниковые и аллювиальные отложения второй надпойменной террасы с амплитудой 12 м. Известно, что активизация неотектонических движений произошла в межледниковые в конце среднего плейстоцена [3, 10], что подтверждается затуханием разлома под верхнеплейстоценовыми отложениями на востоке. Таким образом, флювиогляциальные отложения верхнего горизонта относятся к среднеплейстоценовому ледниковому.

2. Многочисленные находки млекопитающих специализированных перегляциальных видов (мамонтов, шерстистых носорогов) в галечниках цокольной террасы р. Харал [4] позволяют датировать возраст аллювиальных отложений второй надпойменной террасы второй половиной среднего плейстоцена, возможно, периодом начавшегося похолодания. Опорным для аллювия этого возраста в Туве является разрез Чингекат в Запад-

ной Туве [1, 8]: аллювиальный мелкий валунник с песчано-гравелистым заполнителем мощностью 5 м залегает в основании разреза под толщей межледниковых делювиально-солифлюкционных образований. В аллювии обнаружен бивень мамонта.

3. В Восточной Туве аллювиальные отложения второй половины среднего плейстоцена установлены у восточного подножья гор Улуг-Арга в каньоне Шошпак-Холь-Танма [8, 9]. “Поскольку накопление аллювия происходило одновременно с вулканическими извержениями, в составе его наряду с хорошо окатанной галькой и косослоистыми песками присутствуют неокатанные и полуокатанные обломки базальтов, туфов, а также отдельные прослои базальтов. Из вулканогенно-осадочной толщи получены спорово-пыльцевые спектры, отражающие развитие смешанных и хвойных сосново-еловых лесов. Термолюминесцентный возраст обожженной подбазальтовой части этих отложений 160 ± 35 тыс. лет” [8, с. 57]. В нашем случае, в щлихах из второй надпойменной цокольной террасы р. Харал установлено большое количество шариков черного базальтового стекла, являющегося продуктом взрывного разбрзгивания еще жидкой лавы.

4. Возраст нижнего аллювиального горизонта на основании его расположения в разрезе предположительно может быть отнесен к первой половине среднего плейстоцена. Большое количество выветрелого обломочного материала в нижнем горизонте связано, в первую очередь, с разрушением и сносом рыхлых продуктов палеоген-неогеновой коры выветривания из областей поднятия. Расположение его в продольном разрезе долины р. Харал определяется геоморфологическим положением области осадконакопления: в виде мало-мощного прослоя он появляется в средней части долины (увал Ивановский), и вниз по долине его мощность постепенно увеличивается до 20 м.

История формирования современных россыпей Харальского района. В эзплейстоцене район представлял собой водное поднятие, высшая точка которого располагалась в районе Восточно-Тувинских вулканов [4] и с которого стекали крупные равнинные древние реки. Со стороны Харальского района, видимо, вдоль Центральной морфоструктуры, стекала палеорека, впадающая в Серлигхемскую впадину (см. рис. 2).

В главную фазу (Саяно-Тувинскую) неотектонических движений в конце эзплейстоцена произошло излияние базальтовых лав, заполнивших и бронировавших главные долины района, началось становление горного рельефа. Блоковые неотектонические движения заложили современный рельеф, произошла перестройка плана речной сети, началась эрозионная деятельность рек, размыв коры выветривания и древних речных долин. Сформировались основные долины района, заложились их крупные притоки, в которых перерабатываются непродуктивные горизонты площадной коры выветривания и частично верхний золотоносный материал линейной коры выветривания. К этому времени относится формирование уровня третьей надпойменной террасы. С ее формированием связан начальный этап россыпнеобразования.

Дальнейшая активизация неотектонических движений в конце раннего плейстоцена привела к активизации морфоструктурных блоков. Эрозионный врез и последующий этап стабилизации формируют уровень второй надпойменной террасы. Перерабатывалась основная масса золотоносного материала линейной коры выветривания, формировались основные россыпи золота, приуроченные ко второй надпойменной террасе. Рыхлый материал коры выветривания сносился с верхних крутых, все время активно обновляющихся тектонических блоков и постепенно заполнял нижний блок, наращивая мощность аллювия и компенсируя понижение

ние базиса эрозии. Закладывающиеся в дальнейшем многочисленные мелкие долинки золотоносны лишь в редких случаях размыва остаточных кор выветривания либо вскрытых эрозией золоторудных тел. В условиях начавшегося похолодания произошло накопление аллювия второй надпойменной террасы. Во второй половине среднего плейстоцена оледенение горно-долинного типа охватило приустьевые части рек Харал и Хайдын. Здесь формировались аккумулятивные ледниковые формы рельефа. В целом же район развивался в условиях перигляциальной области, эрозионная деятельность рек была сведена к минимуму.

Следующая фаза неотектонических движений (мерзоярская) проявилась в конце среднего плейстоцена. Возобновившиеся тектонические подвижки носили сбросово-сдвиговый характер. Начался подъем центрального и верхнего блоков вдоль разлома Северный и, соответственно, эрозионный врез во вторую надпойменную террасу по всем долинам района до уровня первой надпоймы. Наступившее похолодание в позднем плейстоцене вновь бронировали эрозионную деятельность рек. Ледник остановился в приустьевой части р. Харал, и стационарная фаза его стояния на этот раз была длительна. Образовавшийся при этом вал опоясал бассейн р. Харал в виде дуги от устья к верховым. В верховье моренные отложения вызвали перестройку гидросети. В ходе таяния ледника здесь образовалось мощное подпрудное озеро, которое постепенно переполнилось и нашло сток через водораздел и небольшой приток р. Пра-Харал в его долину. Произошел перехват р. Пра-Харал верховьев р. Пра-Кара-Хем. Устремившиеся в долину р. Харал талые воды прорезали глубокую щель, значительно переуглубив первую надпойменную террасу. В долине р. Харал произошла сортировка золота по крупности — мелкий материал потоком унесло вниз, крупный просел в трещины и западины плотника. После стока озера образовавшийся глубокий каньон заполнился аллювием до уровня остальных рек района. Этим объясняется его большая мощность по сравнению с другими реками.

В тех долинах, где не было оледенения, в это время действовала в основном боковая эрозия, подмывались надпойменные террасы, и основной золотоносный пласт переместился на уровень первой надпойменной террасы. В голоцене, в жомболокскую фазу неотектонической активности, произошел небольшой врез в первую надпойменную террасу, сформировались отложения пойм, золотоносные только в редких случаях подмывания цокольных золотоносных террас.

Изложенный материал позволяет существенно детализировать представления об условиях формирования и сохранности аллювиальных россыпей четвертичного возраста в Харальском районе. Можно выделить следующие узловые моменты, определившие условия локализации и строение россыпей.

1. На линейное размещение россыпей Харальского района ведущее влияние оказала Бийхемская межблоковая зона, возникшая на стыке Харальско-Билинского и Кызыл-Хемского жестких блоков. В пределах межблоковой зоны при формировании и локализации россыпей района определяющими были блоковые неотектонические движения, заложившие основу современных морфоструктур. Наиболее благоприятным для концентрации россыпей является блок, названный Центральная морфоструктура, испытавший умеренные поднятия с периодами стабилизации, имеющий субширотное простиранье и ширину до 10 км. В его центральной части, оказавшейся в наиболее благоприятных геоморфологических условиях, образовались крупные россыпные месторождения золота. Фланги структуры погребены под осадками ледникового комплекса и имеют перспективы на россыпное золото.

2. Четвертичная стадия развития рельефа и россыпей охватывает четыре цикла врезания рек. Начальный этап россыпенообразования приходится на главную (Саяно-Тувинскую) фазу активизации неотектонических движений. В следующую фазу неотектонических движений, предположительно в начале среднего плейстоцена в результате переработки нижних, наиболее золотоносных горизонтов линейной коры выветривания сформировались основные промышленные россыпи района. В течение следующих циклов произошло интенсивное вертикальное и горизонтальное переотложение более древних россыпей из промежуточных коллекторов — террас.

3. Некоторые особенности формирования рельефа отразились на распределении золота по уровням террас. Так, в долине р. Харал, пережившей катастрофический сток талых ледниковых вод и интенсивную глубинную эрозию, основная россыпь расположена на второй надпойменной цокольной террасе. В долине р. Демиржи, где преобладала боковая эрозия, — в приплотниковой части первой аккумулятивной надпойменной террасы.

4. Средне- и верхнеплейстоценовые ледники получили широкое распространение в приустьевых частях долин за пределами золотоносного района и не оказали заметного разрушительного воздействия на россыпи. Более того, они способствовали повышению базисов эрозии этих рек и захоронению ранее образовавшихся россыпей.

5. В восточной части района могут быть широко распространены древние золотоносные россыпи среди юрских озерно-аллювиальных отложений Серлигхемской межгорной впадины и в аллювии древней гидросети. Изменения в рельефе, произошедшие с тех пор в связи с новейшими сводово-глыбовыми поднятиями, значительно усложнили пространственное положение древних россыпей. Предполагается, что часть из них оказалась размытой и переотложенной в аллювий современных рек, расчленяющих древние поверхности, другая — погребенной под четвертичными базальтами, элювиально-делювиальными и ледниковыми отложениями, что способствовало их полной сохранности.

СПИСОК ЛИТЕРАТУРЫ

1. Белостоцкий И.И. Очерки по истории рельефа Тувы // Тр. Всесоюзн. аэрогеол. треста. 1958. Вып. 4. С. 149—187.
2. Борисов Б.А., Минина Е.А. Стратиграфия и палеогеография плейстоцена Центральной Тувы // Четвертичный период. Стратиграфия. М., 1989. С. 125—130.
3. Вдовин В.В. Основные этапы развития рельефа. — Новосибирск: Наука, 1979.
4. Гросвалд М.Г. Развитие рельефа Саяно-Тувинского нагорья. — М.: Наука, 1965.
5. Зайков В.В. Рудоносные вулканические комплексы протерозоя и кембрия Тувы. — Новосибирск, Наука, 1976.
6. Ивенсен Ю.П. Основные типы древних золотоносных россыпей и их практическое значение // Геология россыпей. М., 1965. С. 105—114.
7. Казакевич Ю.П. Условия образования и сохранения сложных погребенных россыпей золота. — Москва, Недра, 1972.
8. Карта четвертичных отложений Тувинской АССР. (Объяснительная записка к "Карте четвертичных отложений Тувинской АССР" масштаба 1:500 000). — Л.: Мингео СССР, ВСЕГЕИ, 1988.
9. Куликов О.А., Мацера А.В. История антропогенного вулканизма Восточного Саяна // Вест. Моск. ун-та. Сер. 5. География. 1987. № 4. С. 70—76.
10. Раковец О.А. Неотектоника Тувы // Сейсмогеология восточной части Алтая-Саянской горной области. Новосибирск, 1978. С. 48—58.
11. Рейнек Г.-Э., Синех И.Б. Обстановки территенного осадкоакапеления. — М.: Недра, 1981.
12. Рудные формации Тувы. — Новосибирск: Наука, 1981.
13. Шорыгина Л.Д. Стратиграфия кайнозойских отложений Западной Тувы // Тр. ГИН АН СССР. 1960. Вып. 26.

Принята редакцией 26 ноября 1996 г.

Своеобразие кимберлитовой трубки Обнаженная и Куойского поля

и.п.илупин (цнигри)

Среди большого числа публикаций на тему о кимберлитах Якутской провинции заметную долю составляют работы, посвященные глубинным ксенолитам (глубинным включениям, нодулям), встречающимся в кимберлитах. Исследователи приводят результаты изучения образцов прежде всего из трех кимберлитовых тел: трубок Мир, Удачной и Обнаженной — соответственно Мало-Ботубинского, Далдынского и Куойского (Куойско-Беенчимского) полей. Из этих трубок собран обильный каменный материал, глубинные ксенолиты в них довольно многочисленны и весьма разнообразны, среди ксенолитов многие слабо изменены (слабо серпентинизированы и очень слабо карбонатизированы); все это делает работу с образцами из данных трубок весьма привлекательной.

Как известно, алмазоносные трубки приурочены к южной, а убого-алмазоносные — к северной части Якутской кимберлитовой провинции. Трубка Обнаженная оказывается единственной на севере провинции, для которой опубликованы многочисленные данные о составе глубинных ксенолитов и слагающих их минералах. Из-за очень частого упоминания в литературе может создаться впечатление, что эта трубка — типичная для севера провинции. В работе Н.В.Соболева [10] тр. Обнаженная вместе с тр. Удачная, Загадочная и Мир указана в списке "типов". А.В.Уханов, И.Д.Рябчиков и А.Д.Харькив [12, с.103] называют "...трубки Обнаженная, Удачная, Мир, каждая из которых по набору нодулей типична для своего района." В работе А.Ф.Сафонова, В.Д.Суворова и А.И.Зайцева [9] говорится о сопоставлении глубинных ксенолитов из кимберлитов южной и северной частей Якутской провинции, и снова "все исследованные трубы" ограничены тем же стандартным списком: Мир, Удачная, Обнаженная.

Однако, материал, заимствованный из литературы и собранный нами в ходе собственных исследований, заставляет сомневаться в том, можно ли считать характерными для северной части Якутской провинции как тр. Обнаженная, так и кимберлиты Куойского поля в целом. Рассмотрим некоторые особенности этих объектов: вещественный состав самих кимберлитов, содержание хрома в важнейшем индикаторном минерале кимберлитов — пиропе, состав глубинных ксенолитов.

Трубка Обнаженная открыта в 1957 г. геологом Амакинской экспедиции И.А.Галкиным. С этого началось знакомство геологов с кимберлитами Куойского поля. Результаты детального петрографического изучения глубинных ксенолитов из тр. Обнаженная первым опубликовал В.А.Милашев [8], показавший, что большую долю в изученной коллекции ксенолитов составляют существенно пироксеновые породы — эклогиты и пироксениты. В работе [8] графически изображен минеральный состав нодулей (для 174 образцов — треугольник ортопироксен—клинопироксен—оливин, содержание граната показано векторами); на другой треугольной диаграмме (гранат—ортопироксен—клинопироксен) показан состав гранато-пироксеновых "сегрегаций" (более 60 точек). Позднее другие исследователи сообщали сведения о соотношении типов и разновидностей глубинных ксенолитов из этой трубки [12, 13], но треугольных (или иных) диаграмм для наглядного представления минерального состава не приводили.

Своеобразие самих кимберлитов Куойского поля

подчеркивалось неоднократно. Необходимо уточнить, что на территории этого поля, помимо трубок и даек, сложенных гранатсодержащими кимберлитами, присутствуют тела, выполненные беспироповыми породами — пикритовыми порфиритами, по терминологии В.А.Милашева. По петро- и геохимическим характеристикам беспироповые породы Куойского поля существенно отличаются от пиропсодержащих. Говоря об особенностях вещественного состава Куойского поля, мы здесь рассматриваем пиропсодержащие кимберлиты.

Сравнивая кимберлиты, минералы из кимберлитов и глубинные ксенолиты Куойского поля с образцами из других полей севера провинции, мы раздельно рассматриваем группу северо-восточных (СВ) полей (Чомурдахское, Западно-Укуйтское, Верхне-Моторчунское, Мэрчимденское, Верхне-Молодинское, Толуопское; сюда же входит и Куойское) и группу северо-западных (СЗ) полей (Куранахское, Лучаканская, Средне-Куонамское, Нижне-Куонамское). Различия между этими группами полей показаны в работе [5].

В работе [3] отмечалось, что заслуживают особого внимания кимберлиты Куойского поля, химический состав которых смешен в сторону состава каменных метеоритов по сравнению с составом кимберлитов других полей Якутии; в частности, подчеркивалось низкое содержание в кимберлитах Куойки титана и повышенное — никеля. К настоящему времени в Куойском поле изучено значительно большее (по сравнению с 1970 г.) число кимберлитовых тел, но отмеченные особенности химического состава кимберлитов сохранились. Это хорошо иллюстрируется, в частности, сведениями о содержании титана (рис.1). Доля бедных титаном (менее 1 % TiO_2) объектов среди изученных тел Куойского поля — 43,8 % (14 из 32), что резко превышает соответствующие показатели и для остальных полей СВ части провинции (9,9 % — 15 из 151) и даже для южных полей (15,4 % — 26 из 169). Среди изученных кимберлитов СЗ части провинции объекты с содержанием TiO_2 менее 1 % вообще не встречены. В кимберлиите тр. Обнаженная в среднем содержится 0,45 % TiO_2 .

С точки зрения минерального состава, Куойское поле выделяется среди других объектов севера провинции тем, что во многих трубках сохранились обильные реликты свежего оливина. Кроме того, многие кимберлитовые тела Куойского поля богаты пиропом — явление, сравнительно редкое для севера провинции.

Перейдем к глубинным минералам из тр. Обнаженная, прежде всего к гранату-пиропу. Оригинальность граната из этой трубки была показана еще до того, как появилась возможность выполнять многочисленные анализы (с помощью микрозонда). А.А.Панкратов изучил распределение по цвету гранатов из 21 объекта (из 19 трубок, в т.ч. в двух случаях — раздельно из разновидностей тр. Удачной и Дальняя)[1]. С помощью эталонной коллекции цветов гранаты были разделены на пять групп: фиолетово-красные, красные, розовые с фиолетовым оттенком, оранжево-красные, розовые с оранжевым оттенком. Гранаты каждой группы взвешивались, и определялось их процентное содержание по отношению ко всему отобранныму гранату. Доля пиропов фиолетово-красных тонов в изученных кимберлитовых телах составила 14 — 93 %, и лишь в тр. Обнаженная типичные фиолетово-красные разности граната

1.Хром в гранатах из трубок Якутской провинции, по данным работы [11]

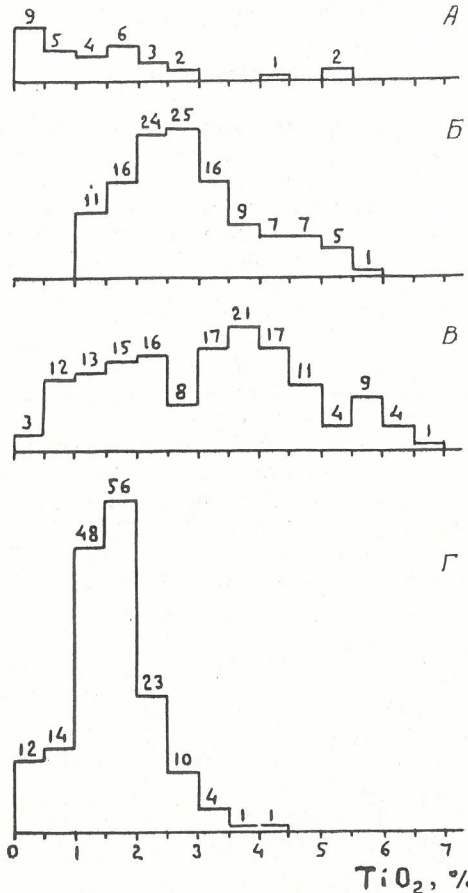


Рис. 1. Содержание титана в кимберлитах отдельных фрагментов Якутской провинции:

А — Куойское поле (n=32); Б — СЗ часть провинции (n=121); В — СВ часть провинции без Куойского поля (n=151); Г — южная часть провинции (n=169); цифры на рисунке — число образцов, приходящихся на данный интервал

не были найдены. Среди изученных А.А.Панкратовым трубок еще четыре (Чомур, Надежная и Дружба из Чомурдахского поля; Муза из Куойского поля) относятся к северной части провинции. Интенсивность фиолетово-красной окраски гранатов прямо связана с концентрацией хрома; таким образом, из приведенных наблюдений следует, что среди гранатов в тр. Обнаженная очень мало зерен, богатых хромом.

С этими наблюдениями вполне согласуются полученные позднее данные. В работе [11] приведены сведения о содержании хрома в гранатах из 27 трубок Якутской провинции, в т.ч. — из шести трубок севера провинции (табл. 1). Для каждой трубки указана доля гранатов с повышенными содержаниями хрома. Приведенные цифры хорошо иллюстрируют тот факт, что тр. Обнаженная резко выделяется на фоне других изученных трубок, в т.ч. Куойского поля.

Сведения о выборках, включающих большое число (сотни) зерен граната — это данные, в значительной степени основанные на результатах частичного микрорентгеноспектрального анализа. Обратимся к результатам полного анализа — не столь многочисленным, но зато более надежным. Будем придерживаться того же правила, что и Н.В.Соболев с коллегами [11] — гранаты, содержащие менее 0,2 % Cr₂O₃, отбрасываются как возможный ксеногенный материал. Соответственно, упоминаемые ниже образцы граната, результаты анализа которых заимствованы из публикаций или из наших материалов, это только образцы, содержащие не менее 0,2 % Cr₂O₃.

Трубка	Число зерен	Число зерен (% от числа изученных) с повышенным содержанием Cr ₂ O ₃			Среднее содержание Cr ₂ O ₃
		>5%	>7%	>10%	
<i>Куранахское поле</i>					
Университетская	118	22,9	1,7	—	3,84
Малокуонамская	156	19,2	1,9	—	3,64
Лось	74	16,2	2,7	—	3,64
<i>Куойское поле</i>					
Оlivиновая	179	28,5	3,3	—	3,91
Муза	237	12,6	—	—	3,74
Обнаженная	252	2,4	—	—	2,45

Для тр. Обнаженная имеются результаты полного анализа гранатов из перидотитов и магнезиальных пироксенитов: 8 образцов из работы [10], 13 образцов из работы [12] и 4 образца — наши материалы. Из тр. Дьянга Куойского поля проанализированы 29 образцов граната — мономинеральные зерна из штуфов, наши материалы.

Обратимся к гранатам из других полей СВ части провинции. Результаты анализа 87 образцов граната из Верхне-Моторчунского, Мэрчимденского, Верхне-Молодинского и Толуопского полей приведены в работе [6]. 19 образцов из кимберлитов Чомурдахского поля проанализированы методом “мокрой химии” — материалы Амакинской экспедиции и НИИ геологии Арктики; эти данные заимствованы нами из нескольких публикаций. Всего для СВ части провинции (без Куойского поля) собраны данные для 106 образцов.

Перейдем к СЗ группе кимберлитовых полей. Результаты анализа 47 гранатов из Средне- и Нижне-Куонамского полей приведены в работе [2]. 131 образец из различных трубок Куранахского, Лучаканского и Средне-Куонамского полей проанализирован в ЦНИГРИ (микрозонд). Всего по этой группе полей мы имеем 178 образцов.

Содержания хрома в гранатах из тр. Обнаженная и других объектов северной части Якутской провинции сопоставлены на рис. 2. Может вызвать замечание то обстоятельство, что гранаты из глубинных ксенолитов тр. Обнаженная сравниваются с гранатами, образующими мономинеральные желваки (в штуфах) и заимствованными из концентратов других трубок. В этой связи напомним, что содержание хрома в гранатах “из кимберлита” как правило несколько ниже, чем в таковых из глубинных ксенолитов тех же трубок; это спра-

2.Химический состав гранатов с низким содержанием кальция из тр. Отрицательная Лучаканского поля, %

Оксид	Шурф 14060, обр. 90-1-104	Шурф 14062, обр. 90-1-116
SiO ₂	40,95	40,43
TiO ₂	0,18	0,08
Al ₂ O ₃	18,54	18,69
Cr ₂ O ₃	6,67	6,82
FeO	7,15	7,16
MnO	0,28	0,47
MgO	20,80	21,59
CaO	3,81	2,69
Сумма	98,38	97,93

Примечание: Анализ выполнен в ЦНИГРИ, микрозонд “Камебакс”

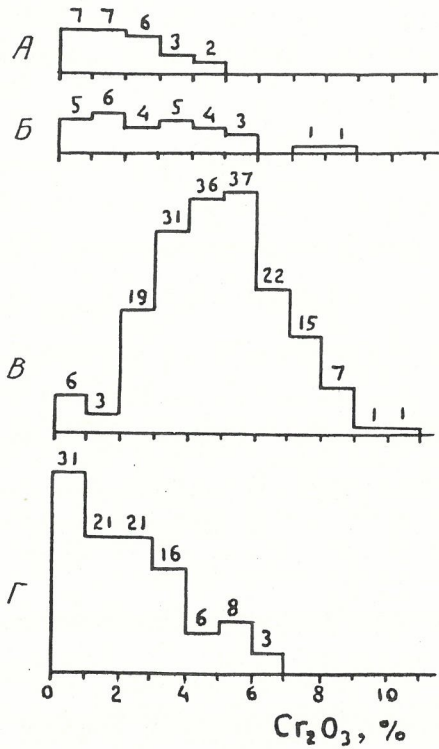


Рис. 2. Содержание хрома в гранатах из кимберлитов отдельных фрагментов северной части Якутской провинции:

А — тр. Обнаженная ($n = 25$); Б — тр. Дынга Куойского поля ($n = 29$); В — С3 часть провинции ($n = 178$); Г — СВ часть провинции без Куойского поля ($n = 106$)

ведетиво, в частности, для Куранахского и Лучаканского полей [12]. Следовательно, если бы рассматривался гранат из глубинных ксенолитов тех же полей, то обогащенность хромом (по сравнению с гранатами из тр. Обнаженная), вероятно, была бы еще более заметной.

Гранаты из тр. Обнаженная отличаются от таковых из других фрагментов северной части провинции, а также тр. Дынга практическим отсутствием зерен с повышенным содержанием хрома. В выборке из 25 образцов (см.рис. 2) ни один не превысил 4,5 % Cr_2O_3 . В упоминавшейся более многочисленной выборке (см.табл. 1) 2,4 % зерен (т.е., очевидно, 6 зерен из 252) показали более 5% Cr_2O_3 . Но и этот показатель (2,4 %)

значительно меньше такового для гранатов из тр.Дынга (17,2 % — 5 из 29); меньше, чем для образцов СВ части провинции (10,4 % — 11 из 106); резко уступает показателю для С3 части провинции (46,6 % — 83 из 178).

То обстоятельство, что гранаты из С3 группы полей заметно богаче хромом по сравнению с таковыми из СВ группы, возможно, является еще одной иллюстрацией различий между двумя группами полей севера провинции. В самих кимберлитах первой группы содержание хрома (0,119 % Cr_2O_3) выше, чем в кимберлитах второй (0,103 %) [5].

В кимберлитах севера провинции крайне редки гранаты "алмазной ассоциации" — хромистые низокальциевые. Среди 348 гранатов из трубок Куранахского поля встречено всего одно зерно, относящееся к алмазной ассоциации [11, 12]. В изученной нами коллекции среди 35 зерен из Куранахского поля низокальциевые гранаты не обнаружены; зато среди гранатов из трубок Лучаканского поля (41 зерно) два образца (тр. Отрицательная) оказались низокальциевыми (табл. 2).

Если мы обратимся к составу хромшпинелидов (рис. 3), то увидим картину, близкую к той, которая получена для гранатов. Из тех же источников, что и результаты анализа гранатов, а также из работы [7] выбраны 55 образцов шпинелидов из глубинных ксенолитов тр. Обнаженная. Имеются малочисленные анализы шпинелидов из других трубок Куойского поля — Радуга, Ноябрьская [7]; Дынга, Токур, Альфа. Сведения о хромшпинелидах СВ и С3 частей провинции — из наших материалов. Во всех случаях рассматривались только шпинелиды, содержащие более 10 % Cr_2O_3 .

Снова доля высокохромистых (более 50 % Cr_2O_3) образцов в тр.Обнаженная низкая — ниже, чем среди образцов СВ, С3 полей и других трубок Куойского поля. Как и в случае гранатов, высокохромистые шпинелиды чаще встречаются в кимберлитах С3, чем СВ групп полей.

Перейдем теперь к самим ксенолитам глубинных пород. Среди глубинных ксенолитов тр. Обнаженная весьма высока доля существенно пироксеновых пород (эклогитов и пироксенитов), соответственно снижена роль существенно оливиновых пород. По данным А.Д.Харькова, среди изученных ксенолитов эклогиты и пироксениты (суммарно) составляют в тр. Обнаженная более 40 %, тогда как в тр. Мир — 27,2 %, Удачная — 5,6 % [13]. Поэтому при вычислении среднего химичес-

3.Химический состав глубинных ксенолитов тр. Чолбон в сравнении со средним составом пород верхней мантии, %

Оксид	Трубка Чолбон		Данные из работы [13]		
	Среднее из 12 образцов	Пределы	Тр. Мир	Тр. Удачная	Тр. Обнаженная
SiO_2	29,56	15,95—37	44,40	42,50	44,60
TiO_2	0,113	0,03—0,25	0,70	0,30	0,30
Al_2O_3	1,34	0,30—3,13	4	2,60	5,30
Cr_2O_3	0,245	0,12—0,38	0,5	0,70	0,70
$\text{FeO}_{\text{общ}}$	6,45	4,28—7,69	8,06	8,54	7,03
MnO	0,092	0,046—0,13	0,15	0,15	0,15
NiO	0,224*	0,17—0,292	0,15	0,20	0,20
MgO	26,70	12,36—36,28	39	41,70	35,50
CaO	14,59	4,08—34,02	2,20	2,20	5,20
Na_2O	0,049**	0,028—0,090	0,30	0,40	0,50
K_2O	0,08	0,03—0,13	0,20	0,30	0,20
P_2O_5	0,07	0,056—0,09	0,05	0,05	0,05
П.п.п.	20,36	13,98—30,80			

Пересчитано на безводное бескарбонатное вещество

* Никель определен в шести образцах. ** Натрий определен в четырех образцах.

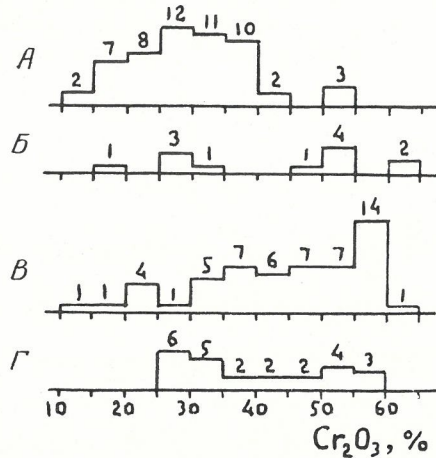


Рис. 3. Содержание хрома в хромшпинелидах из отдельных фрагментов северной части Якутской кимберлитовой провинции:

A — тр. Обнаженная (*n* 55); *B* — тр. Радуга, Ноjabрская, Д'янга, Токур и Альфа Куйского поля (*n* 12); *C* — С3 часть провинции (*n* 54); *D* — С8 часть провинции без Куийского поля (*n* 24)

кого состава пород верхней мантии для района тр. Обнаженная получаются повышенные (по сравнению с районами тр. Мир и Удачная) содержания алюминия, кальция, натрия [13].

Сведения о соотношении разных типов глубинных ксенолитов в других трубках и полях севера Якутской провинции весьма малочисленны. Тем не менее, опубликованные данные свидетельствуют о том, что ничего близкого к тр. Обнаженная в кимберлитах других полей не обнаружено. Так, из 82 глубинных ксенолитов Укуйтского поля пироксениты составляют 17 %, остальное — перидотиты; среди 64 образцов Куранахского поля пироксенитов — всего 6 (менее 10 %), эклогиты не отмечены [12].

Еще более явно отличаются от глубинных ксенолитов тр. Обнаженная изученные нами ксенолиты из тр. Чолбон Средне-Куонамского поля. Трубка Чолбон довольно богата глубинными ксенолитами, при этом не редки весьма крупные (20 см и более в поперечнике) образцы. Ксенолиты интенсивно серпентинизированы (хотя реликты свежего оливина, иногда также ортопироксена сохранились во многих образцах) и весьма сильно карбонатизированы. Карбонат присутствует в ксенолитах в виде жилок различной мощности ("продолжающихся" и во вмещающем кимберлите) и мелких неправильных выделений; судя по бурной реакции с HCl, карбонат представлен кальцитом. При отборе вещества ксенолитов на анализы удален лишь материал наиболее крупных (более 2 мм толщиной) жилок.

Собранные в тр. Чолбон ксенолиты представлены перидотитами — гранатовыми, шпинель-гранатовыми, редко шпинелевыми. Иногда присутствуют листочки слюды, измененной вторичными процессами; в результате даже в ксенолитах с заметным (первые проценты по объему) количеством слюды содержание K₂O не превышает 0,13 %. Пироксениты и эклогиты не найдены.

Выполнен анализ 12 ксенолитов. Результаты сопоставлены в табл. 3 с данными для районов тр. Мир, Удачная, Обнаженная из работы [13]. В работе [13] средние данные пересчитаны на 100%; в табл. 3 суммы несколько ниже (99,6 — 99,7 %), поскольку мы пересчитали все железо на FeO и не привели содержание серы. Большая часть образцов из тр. Чолбон проанализирована рентгено-флюоресцентным методом, при этом натрий оказывался ниже предела обнаружения. Для четырех образцов выполнен анализ методом ИНAA, результаты определения натрия этим методом использованы в табл. 3. В работе [4] показано, что в

ходе химического анализа концентрация натрия нередко завышалась. Не исключено, что завышенные данные использовались и при подсчете среднего состава глубинных ксенолитов [13], отсюда и резкие различия в средней концентрации натрия.

Для восьми образцов перидотитовых ксенолитов тр. Чолбон методом "мокрой химии" определено содержание углекислоты 3,73 — 25,88 %. Среднее по этим восьми образцам — 12,32 % CO₂, для них же CaO — 16,11 %. Полагая, что вся углекислота присутствует в образцах в виде кальцита, подсчитываем связанное в кальците количество кальция: 12,32 × 1,2742 = 15,70 CaO. Следовательно, "некарбонатного" кальция остается всего 16,11 — 15,70 = 0,41 % CaO.

Таким образом, в глубинных ксенолитах тр. Чолбон концентрации алюминия и кальция — исключительно низкие. Данные в работе [13] пресчитаны на безводное бескарбонатное вещество. В среднем для 12 образцов из тр. Чолбон получено 20,36 % потерь при прокаливании. Значит, для такого же пересчета нужно разделить полученные нами средние значения примерно на 0,8. Получим около 1,67 % Al₂O₃ и около 0,5 % CaO; выводы о весьма незначительных содержаниях алюминия и кальция остаются в силе.

Проанализированы гранаты из восьми и хромшпинелиды из трех образцов перидотитовых ксенолитов тр. Чолбон. Содержания Cr₂O₃ (%) в гранатах — 2,20; 5,82; 5,88; 5,96; 6,40; 7,42; 7,62; 7,89; в хромшпинелидах — 55,22; 59,57; 61,28. Следовательно, как по составу глубинных ксенолитов, так и по составу слагающих их минералов тр. Чолбон резко отличается от тр. Обнаженная.

Трубка Чолбон, видимо, самый наглядный из известных нам примеров, показывающих нетипичность трубки Обнаженная для севера Якутской кимберлитовой провинции. Но и другие приведенные выше данные говорят о том, что тр. Обнаженная — весьма оригинальный объект, отличающийся от подавляющего большинства трубок северной части провинции, в т.ч. и от изученных трубок своеобразного Куийского поля. Сведения о составе глубинных ксенолитов тр. Обнаженная, вероятно, могут характеризовать состав верхней мантии лишь для весьма ограниченного участка, но ни в коем случае не для всей северной части провинции, и даже не для всего Куийского поля.

Каменный материал из северной части Якутской кимберлитовой провинции предоставили автору Е.В.Карева, В.Ф.Кривонос, А.И.Крючков, Б.М.Никитин, Л.И.Николаев, В.Ф.Симоненко, В.Г.Черенков и другие коллеги.

СПИСОК ЛИТЕРАТУРЫ

- Бобриевич А.П., Илупин И.П., Козлов И.Т. и др. Петрография и минералогия кимберлитовых пород Якутии. М.: Недра, 1964.
- Евдокимов А.Н., Багдасаров Э.А. Состав и типохимические особенности пироповых гранатов из кимберлитов Средне- и Нижнекуонамских полей (Якутия) // ЗВМО. 1979. Ч.108. Вып.6. С.666—677.
- Илупин И.П. Содержание фосфора и серы в кимберлитах Якутии // Геохимия. 1970. № 9. С.1042—1052.
- Илупин И.П., Витоженц Г.Ч., Кулигин В.М. Натрий, цезий и барий в кимберлитах Сибири по данным инструментального нейтронно-активационного анализа // Геохимия. 1984. № 7. С. 1014—1019.
- Илупин И.П., Геншафт Ю.С. Новые данные о различиях между кимберлитами северо-восточной и северо-западной групп полей Якутской кимберлитовой провинции // Докл.АН (Россия). 1994. Т.338. № 2. С.207—210.
- Илупин И.П., Сандомирская С.М. Результаты изучения пиропов из кимберлитовых тел северо-восточной части Сибирской провинции // Геохимия и минералогия базитов и ультрабазитов Сибирской платформы. Якутск, 1984. С.114—129.
- Мациук С.С., Платонов А.Н., Польшин Э.В. и др. Шпинелиды мантийных пород. — Киев: Наукова думка, 1989.
- Милашев В.А. Родственные включения в кимберлитовой трубке

- "Обнаженная" (бассейн р.Оленек) // ЗВМО. 1960. Ч.89. Вып.3. С. 284—299.
9. Сафронов А.Ф., Суворов В.Д., Зайцев А.И. Признаки кимберлитового магматизма в земной коре и верхах мантии Якутии // Докл.АН СССР. Т.312. № 5. С.1204—1206.
 10. Соболев Н.В. Глубинные включения в кимберлитах и проблема состава верхней мантии. — Новосибирск: Наука, 1974.
 11. Соболев Н.В., Погоденко Н.П., Лаврентьев Ю.Г., Усова Л.В. Роль хрома в гранатах из кимберлитов // Проблемы петро-
- логии земной коры и верхней мантии: Тр.Ин-та геол. и геофиз. СО АН СССР, 1978. Вып.403. С.145—168.
12. Уханов А.В., Рябчиков И.Д., Харьков А.Д. Литосферная мантия Якутской кимберлитовой провинции. — М.: Наука, 1988.
 13. Харьков А.Д. Состав ксенолитов верхней мантии в кимберлитах от протерозоя до мела // Изв.АН СССР. Серия геол. 1984. № 5. С.40—50.

Принята редколлегией 26 ноября 1996 г

Геодинамика и сейсмичность

УДК 551.242.5

© Г.В.Афанасьев, 1997

Монголо-Забайкальский геоблок: дрейф континентальной плиты в рифее — палеозое и его последствия

Г.В.АФАНАСЬЕВ (ВСЕГЕИ)

Между Сибирской и Северо-Китайской (Дунбэйской) древними платформами в рамках субширотной части Урало-Монгольского подвижного пояса существуют два крупных геоблока: западный Монголо-Забайкальский и восточный Хингано-Становой (рис. 1). Эти геоблока, сменяющие друг друга по простирианию подвижного пояса, скорее всего, были сформированы в результате длительной и сложной переработки части некогда единого дорифейского Дунбэй-Сибирского кратона [2, 13, 14]. Генетическое родство с кратоном хорошо подтверждается для восточного геоблока преобладанием в его пределах крупных массивов раннедокембрийской консолидации (Станового, Хингано-Буреинского, Ханкайского и др.), активизированных в фанерозое и разделенных узкими межблоковыми складчатыми зонами различной ориентировки. Для западного Монголо-Забайкальского геоблока такое родство с кратоном менее очевидно, хотя также подтверждается как прерывистым кратонным окружением (древние платформы и массивы), так и наличием реликтов древнего основания внутри слагающих геоблок близширотных складчатых систем различного возраста. К таким реликтам относятся Байкальская, Муйская, Амалатская глыбы в байкалидах, многочисленные выступы основания на юге салаирод (ранних каледонид) и Керулэн-Аргунский срединный массив в герциниках.

Геоблоки разделены субмеридиональной зоной планетарного плотностного градиента [3, 5, 9] и, несмотря на единство первичной кратонной основы, резко отличаются по геологическому строению, что свидетельствует о различных путях развития в рифее — фанерозое [3—7]. Для наиболее переработанного Монголо-Забайкальского геоблока до настоящего времени остается неясным, какие процессы были ответственны за превращение крупного участка древнего кратона в своеобразную полициклическую складчатую область при фактической замене или полной трансформации верхней части континентальной коры мощностью порядка 10—15 км. Монголо-Забайкальский геоблок, таким образом, представляет собой одну из интереснейших загадок формирования континентальной земной коры. Разрешить эту проблему можно на основе углубленного анализа особенностей геологического строения и развития, отвлекаясь от традиционных для региона представлений и канонизированных тектонических схем.

Границы и тектоническое районирование геоблока. Монголо-Забайкальский геоблок имеет площадь около 2 млн. км² и криволинейные тектонические ограничения (см. рис. 1). На севере и юге он граничит с древними платформами, а на западе и востоке — со структу-

рами подвижного пояса. Западная и восточная боковые границы геоблока характеризуются торцовым сопряжением разнородных и разновозрастных региональных структур: складчатых систем (зон) и массивов. Эти

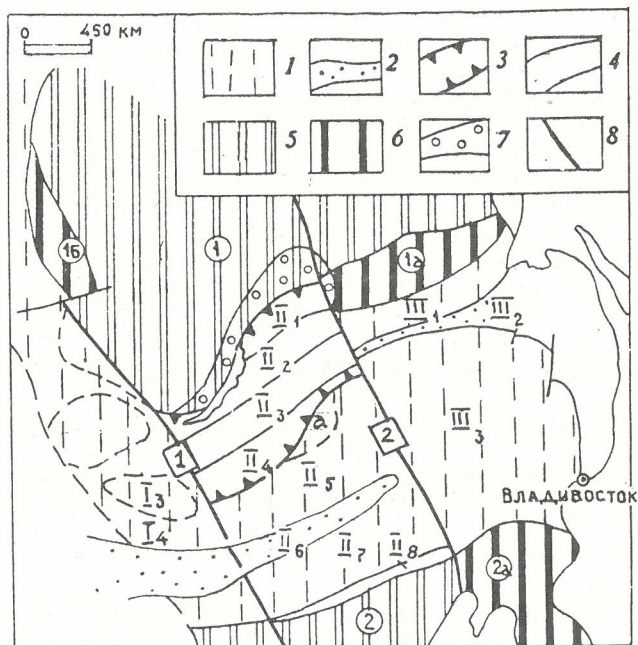


Рис. 1. Схема тектонического районирования восточной части Урало-Монгольского подвижного пояса и его обрамления:

подвижный пояс (переработанная часть кратона): 1 — активизированные массивы (литоплинты), 2 — геосинклинально-складчатые системы, 3 — зона полициклического раздвига, 4 — раздвоиво-сдвиговые складчатые системы; обрамление подвижного пояса (стабильная часть кратона): 5 — древние платформы, 6 — щиты, массивы, 7 — рифейский краевой прогиб; 8 — трансконтинентальные линеаменты. Цифры на рисунке: I — Саяно-Енисейский геоблок (блоки-массивы: I₁ — Восточно-Саянский, I₂ — Тувино-Монгольский, I₃ — Хангайский, I₄ — Байдаирский); II — Монголо-Забайкальский геоблок (Забайкальский мегаблок: II₁ — Байкало-Витимская, II₂ — Баргузино-Витимская, II₃ — СеленгиноЙяблоновая, II₄ — Хэнтэй-Даурская системы; Восточно-Монгольский мегаблок: II₅ — Керулэн-Аргунский массив (а — Агинский блок), II₆ — Южно-Монгольская система, II₇ — Южно-Гобийский массив, II₈ — Солонкерская система); III — Хингано-Становой геоблок (III₁ — Становой мегаблок, III₂ — Амуро-Охотская система, III₃ — Хингано-Буреинский мегаблок). Цифры в кружках — древние платформы: 1 — Сибирская, 2 — Северо-Китайская (Дунбэйская); щиты, массивы: 1а — Алданский, 16 — Енисейский, 2а — Сино-Корейский. Цифры в квадратах — трансконтинентальные линеаменты: 1 — Саяно-Енисейский (Ангарский), 2 — Восточно-Азиатский

боковые границы представляют собой фрагменты долгоживущих глубинных разломов планетарного масштаба, поперечных простиранию Урало-Монгольского подвижного пояса и продолжающихся далеко в пределы обрамляющих его древних платформ [3, 4, 9, 14].

Западная граница геоблока в историческом аспекте, скорее всего, соответствует зоне сопряжения Дунбэй-Сибирского кратона и его западного перикратонного прогиба (континентального склона). В современных структурах она хорошо фиксируется в магнитном и гравитационном полях и представляет собой продолжение на юг, юго-восток Саяно-Енисейского ограничения Сибирской платформы. Эта зона последовательно отсекает от Монголо-Забайкальского геоблока структуры Тувино-Монгольского, Хангайского, Байдарикского массивов, фиксируясь разломами и разновозрастными (V, PZ₁, PZ₂) прогибами северо-западного простирания, соответственно Прихубугульским, Восточно-Хангайским (Хархоринским), Долиноозерским [3, 7]. Обновление этого крупнейшего трансрегионального разлома происходило многократно с риффом до кайнозоя [9].

Восточная граница геоблока, как уже отмечалось, соответствует отрезку субмеридиональной (северо-северо-западной) зоны крупнейшего плотностного градиента, которая фиксирует Восточно-Азиатский трансрегиональный линеамент протяженностью более 5 тыс. км [3, 4, 14]. На отдельных участках линеамент трассируется крупными разломами: Оленёкским, Уддинским, Ничатским (Жуинским), Восточно-Амалатским, Юрюмским, Аникинским, Западно-Хинганским и др. Вместе с тем, значительные интервалы линеамента затушеваны тектономагматическими трансформациями позднего палеозоя — мезозоя. О масштабности и долгоживущем характере этой зоны свидетельствуют многообразие и разновозрастность региональных структур, торцово “упирающихся” в нее как в пределах подвижного пояса, так и в пределах древней платформы и не имеющих продолжение или аналогов по другую сторону линеамента (см. рис. 1). Зона Восточно-Азиатского линеамента не только разграничивает крупные и разновозрастные структуры Восточной Сибири, но и контролирует размещение древних прогибов и распространение магматических ареалов разных эпох — главным образом, эпохи мезозойской тектономагматической активизации (ТМА). Вдоль этой зоны, в частности, трассируются Удоканский авлакоген (PR₁) и Березовский прогиб (R-E). На севере она контролирует распространение полей мезозойских алмазоносных кимберлитов (Якутский ареал протяженностью более 1000 км), а на юге — положение мезозойского Большехинганского вулканогенного пояса длиной более 1100 км, ограничивающего с запада Хингано-Буреинский массив. Эти особенности подчеркивают глубинную природу трансрегионального линеамента, ограничивающего с востока Монголо-Забайкальский геоблок.

В целом, ограничения геоблока имели весьма древнее, скорее всего, дорифейское заложение и оказывали существенное влияние на его формирование в течение более 1,5 млрд. лет. Фактически в сравнительно узком (1000 км) структурном коридоре между указанными субмеридиональными северо-северо-западными долгоживущими глубинными линеаментами происходила трансформация участка консолидированного кратонного основания Дунбэй-Сибирского материка с образованием зональной субширотной складчато-блоковой структуры Монголо-Забайкальского геоблока, не имеющей продолжения ни на восток, ни на запад. Восточную границу геоблока “перешагивают”, “простреливают” только наложенные образования позднего палеозоя — раннего мезозоя, относящиеся к проявлениям тектономагматической активизации: пермские

плутонические структуры и юрские угленосные впадины, трассирующиеся из Забайкалья в пределы Станового хребта. Западная граница геоблока не является препятствием только для одной Южно-Монгольской герцинской геосинклинально-складчатой системы, которая имеет трансрегиональное продолжение на запад и является составной частью Зайсан-Гобийской геосинклинали [3, 6, 7, 14].

Распространение позднепалеозойских и мезозойских образований как активизационного, так и геосинклинального типов за пределы Монголо-Забайкальского геоблока, скорее всего свидетельствует о завершении к этому времени того длительного и специфического процесса трансформации континентальной земной коры, который происходил только в границах между субмеридиональными пограничными линеаментами.

Определив границы изучаемого геоблока в пространстве и времени, необходимо остановится на внутреннем тектоническом районировании территории. Геоблок разделен на два примерно равновеликих мегаблока*: северный Забайкальский и южный Восточно-Монгольский. Эти мегаблоки, как известно, отличаются друг от друга специфическим набором региональных структур, характером физических полей.

Забайкальский мегаблок является гетерогенным и включает пять разновозрастных субширотных (восточно-северо-восточных) складчатых систем (с севера на юг): рифейские Байкало-Патомскую, Байкало-Витимскую и Баргузино-Витимскую, венд-раннепалеозойскую Селенгинско-Яблоновую и средне-позднепалеозойскую Хэнтэй-Даурскую. Мегаблок характеризуется резко выраженной сиаличностью при необычайно широком развитии многоэтапного гранитоидного магматизма и фиксируется региональным минимумом силы тяжести. Мощность земной коры составляет 40–45 км при примерно равных мощностях (19–22 км) гранито-метаморфического и базальтового слоев [3, 5, 9].

Восточно-Монгольский мегаблок является относительно гомогенным по характеру физических полей. Ему соответствует региональный максимум силы тяжести и сильно дифференцированное магнитное поле с положительными аномалиями до 2000 γ. Он отличается несколько сокращенной мощностью земной коры (36–43 км) и гранитного слоя (8–12 км). Все эти особенности, а также асейсмичность территории свидетельствуют о существовании в основании геоблока древнейшего (дорифейского) сиалически-фемического, т.е. гранулит-гнейсового фундамента типа Станового литея [7, 14], который перекрыт прерывистыми чехлами риффа — нижнего палеозоя. Северная и южная части этой древней плиты (платформы) представляют собой многократно активизированные приподнятые массивы: Керулен-Аргунский и Южно-Гобийский. Средняя часть плиты перекрыта Южно-Монгольской герцинской складчатой системой, представляющей собой восточное миогеосинклинальное окончание (залив) транс континентальной Зайсан-Гобийской ортогеосинклинали. От Дунбэйской древней платформы мегаблок отделен узкой Солонкерской зоной, в пределах которой верхний палеозой представлен не орогенным, как на плате, а рифтогенными формациями, с которыми ассоциируют крупные тела гипербазитов [6, 7, 14].

Оконтурирование и тектоническое районирование Монголо-Забайкальского геоблока позволяет перейти к анализу особенностей геологического строения и развития составляющих его элементов и главным образом структур наиболее гетерогенного Забайкальского мега-

* Иерархия делимости на литосферные блоки дана по Л.И.Красному [5, 8, 9] и включает геоблоки, мегаблоки, блоки. В числе последних автором выделены региональные структуры: складчатые системы, срединные и обособленные массивы.

История формирования складчатых систем Забайкальского мегаблока в рифе — фанерозое (хроника событий)

Складчатые системы и срединные массивы	I цикл раннебайкальский		II цикл байкальский		III цикл салаирский		IV цикл герцинский		Этапы автономной ТМА
	1 этап R ₁	2 этап R ³ ₁	1 этап R ₂₋₃	2 этап R ³ ₃	1 этап V—E ₁	2 этап E ₂ —S	1 этап D—C ₁	2 этап C ₂ —T ₁	
<i>Забайкальский мегаблок</i>									
Байкало-Патомская байкальская краевая система	—	—	од	оп	од	—	—	—	—
Байкало-Витимская раннебайкальская система	Д	П(?)	Д+од	оп	од	оп	—	оп	N-Q
Баргузино-Витимская байкальская система (массив)	—	—	Д	П	од	оп	—	оп	N-Q
Селенгино-Яблоновая салаирская система	—	—	—	—	Д	П	—	оп	J, N-Q
Хэнтэй-Даурская герцинская система	—	—	—	—	—	—	Д	П	J
<i>Восточно-Монгольский мегаблок (северная часть)</i>									
Керулен-Аргунский массив	од	—	од	оп	од	оп	од	оп	J, K ₁ , N-Q

П р и м е ч а н и я . Этапы формирования складчатых систем, Д — демиссионный, П — ТМ перестройки. Этапы отраженной активизации складчатых систем и массивов: од — отраженной демиссии, оп — отраженной ТМ перестройки.

блока. Эти особенности хорошо известны [1, 3, 5—8, 14], истолковываются обычно с позиций геосинклинально-платформенной (+ТМА) концепции и ее разновидностей, однако могут иметь и иное объяснение.

Особенности геологического строения и развития складчатых систем Забайкальского мегаблока. Складчатые системы этого мегаблока представляют собой субширотные (восточно-северо-восточные) региональные структуры, сформированные в рифе — палеозое и не продолжающиеся за его пределы (см. рис. 1). Границы между ними являются тектоническими — по зонам крупных разломов, сопровождаемых гипербазитами. Характерны сходные размеры складчатых систем: протяженность около 1000 км, ширина 200—250 км, мощность вулканогенно-осадочного выполнения 10—12 км.

Для систем этой части геоблока установлен целый ряд наиболее общих особенностей развития [3]: 1) каждая система формируется в результате определенного тектono-магматического цикла длительностью от 600 до 150 млн. лет; 2) каждый цикл развития распадается на два этапа: начальный демиссионный этап и конечный (завершающий) тектono-магматической (ТМ) перестройки; 3) за рамки такой цикличности выходят процессы отраженной и автономной ТМА.

Первый этап цикла обычно считается собственно геосинклинальным, включающим образование и заполнение соответствующих прогибов осадками и вулканитами. Второй этап считается орогенным (геосинклинальным), объединяющим процессы сводово-глыбовых движений, складчато-разрывных деформаций и гранитоидного магматизма.

Специфическая черта рифей-палеозойского периода развития рассматриваемой части геоблока — многочленность проявления процессов ТМ перестройки в каждой региональной структуре. Наиболее ранние из них следуют непосредственно за демиссионным этапом развития данной системы и относятся к завершающему орогенному этапу ее формирования. Более поздние синхронизируются с завершающими этапами ТМ перестройки соседних более молодых систем и должны относиться к проявлениям отраженной ТМА. Число этапов последней в каждой системе в принципе может соответствовать и в действительности соответствует числу более молодых систем в мегаблоке. Закономерны большие интенсивность и экстенсивность гранитообразования на этапах отраженной ТМА, что приводит к формированию крупнейших многофазных ареалов и поясов распространения гранитоидов. Процессы авто-

номной активизации проявляются преимущественно в мезозое — кайнозое на консолидированном основании складчатых систем.

Хронология циклического процесса формирования складчатых систем Забайкальского мегаблока и его южного Керулен-Аргунского обрамления отражена в таблице с выделением четырех циклов: раннебайкальского (допатомского), байкальского (патомского), салаирского (раннекаледонского) и герцинского*, а также выделением этапов автономной ТМА в мезозой-кайнозое [3, 5, 8]. Структурно-вещественное выражение циклов и этапов развития складчатых систем характеризуется в соответствии с материалами современных крупных сводок [1, 3, 5—8, 12—14]. При этом для анализа использованы содержащиеся в ряде сводок описания складчатых систем и срединных массивов [3, 5, 6, 14] и сопровождающие эти описания палеотектонические схемы и разрезы по циклам и этапам развития территории [3, 6].

Обобщение данных о структурно-вещественных и геоисторических особенностях складчатых систем Забайкальского мегаблока позволяет отметить многие черты единства их геологического строения и истории формирования при некоторых различиях. Следует выделить пять наиболее общих черт (особенностей) складчатых систем, имеющих первостепенное значение для их тектонической диагностики.

Первая особенность складчатых систем состоит в их обособлении в рамках Монголо-Забайкальского геоблока с тулем выклиниванием у восточной его границы и сопряжением с Саяно-Енисейским перикратонным прогибом на западе.

Вторая особенность заключается в заложении систем на едином (едином) древнейшем гранулит-гнейсовом основании — “становидах”, “алданицах” при отсутствии отложений предшествующих циклов в основании разрезов. Эти отложения появляются только на крайнем западе систем в зонах их сопряжения со структурами Саяно-Енисейского перикратонного прогиба. Например, в Хангае к западу от Хэнтэй-Даурской системы, в Джигинской зоне к западу от Селенгино-Яблоновой системы [3, 14]. Реликтами древнейшего дорифейского основания складчатых систем являются

* Использование общепринятых терминов классической геосинклинальной концепции (“байкальский”, “каледонский”, “герцинский”) связано с глобальным характером циклов (эпох) подвижности земной коры независимо от форм этой подвижности (геосинклинальной, активационной, плейтектонической).

Байкальская и Муйская глыбы в Баргузино-Витимской, выступы метаморфитов на юге Селенгино-Яблоновой системы, включая Нерча-Нерчуганский блок.

Третья особенность складчатых систем заключается в широчайшем развитии (преобладании) монотонных однообразных карбонатных с биогермами или терригенных аспидных (глинистых) формаций на демиссионном этапе развития при подчиненном распространении вулканогенных формаций среднего и основного составов в приразломных зонах. Эта особенность позволила В.Г. Беличенко ввести термин известняковые миогеосинклинали для характеристики систем байкальских и салаирских циклов. Синхронно с формированием известняковых миогеосинклиналей на южном склоне Сибирской платформы и ее Алданского фланга отлагались карбонатные толщи Байкало-Патомского и Кодаро-Удоканского перикратонных прогибов, отличающиеся существенно доломитовым составом. Подобные отложения были свойственны также северной окраине Керулен-Аргунского массива. Отличие герцинского цикла — преобладание тонкотерригенных глинисто-кремнистых отложений часто ритмичного строения (терригенные миогеосинклинали). На этом едином фоне выделяется наиболее ранняя Байкало-Витимская система, возникновение которой связано с интенсивным проявлением континентального рифтогенеза на границе между Ангаро-Ленским и Монголо-Забайкальским геоблоками кратона. По времени вспышка рифтогенеза следовала за формированием эпикратонного Акитканского вулкано-плутонического пояса (протовулканогена). Расколы рифтовой системы, вероятно, проникали вглубь до кровли верхней мантии, с чем был связан интенсивный магматизм основного и ультраосновного составов. Бассейны седimentации этой системы были относительно дифференцированы. В узких приразломных трогах отлагались осадочно-вулканогенные формации типа килянской, муйской, пурпуральной свит с вулканитами основного состава и карбонатно-кремнистыми осадками. На более стабильных межтроговых пространствах накапливались отложения вулканогенно-осадочных и осадочных формаций: горбюлоской, муухтунной и других свит, серий. С вулканитами преобладающей спилит-диабазовой формации пространственно ассоциируют основные и ультраосновные интрузии муйского, кедровского и парамского комплексов. Следует отметить, что постепенно угасающие процессы рифтогенеза в пределах этой системы продолжались и в патомское время на фоне преобладающей монотонной терригенно-карбонатной седimentации с локализацией вдоль долгоживущих расколов — регматических зон.

Четвертая и пятая особенности складчатых систем — проявление процессов ТМ перестройки. В частности, четвертая особенность состоит в сильнейшем боковом сжатии с образованием результирующей мозаично-глыбовой структуры, в которой сочетаются складчатые и разрывные дислокации двух основных направлений: северо-восточного и северо-западного (складчатость сдвига, по А.В. Лейве). При этом складчатые структуры представлены как брахиальными, так и линейными формами, а разрывные нарушения — как сбросами, так и надвигами.

Пятая особенность состоит в массовом крупнообъемном и многоэтапном гранитообразовании с формированием грандиозных мигматит-плутонов, плутоногенных массивов и поясов. Относительно скромно эти процессы проявились в наиболее ранней Байкало-Витимской рифтовой системе, где концу раннего рифея принадлежат лишь небольшие интрузии габбро-плагиогранитовой формации, обычно относимые к вышеупомянутым комплексам. В более поздней Баргузино-Витимской системе начало мощного бато-

литообразования относится к самому концу рифея, после чего с перерывами оно проявлялось неоднократно на фоне геократического режима. К концу рифея здесь относится первое поколение гранитоидов баргузинского комплекса, слагающих часть крупнейшего Ангаро-Витимского батолита — ядро Баргузино-Витимского массива. Следующие поколения баргузинских гранитоидов относятся к раннему и среднему палеозою и представляют собой проявления отраженной активизации, синхронной завершающим этапам возникающих южнее более молодых систем. К последнему этапу массивового — крупнообъемного гранитообразования относится более половины упомянутого батолита. Позднерифейская ТМ перестройка Баргузино-Витимской системы отразилась в структурах ранее сформированной Байкало-Витимской системы, а также в пределах Керулен-Аргунского массива. В первой зафиксированы как позднерифейские баргузинские гранитоиды, так и субаэральные орогенные образования: кислые и редкие вулканиты и пестроцветные молассоиды (падринская серия, жанокская свита). В структурах Керулен-Аргунского массива к этой эпохе относится формирование урулунгуйского комплекса автохтонных и отчасти реоморфических гранитных батолитов (800—850 млн. лет назад). Магматизм завершающего этапа следующей по времени Селенгино-Яблоновой системы охватывает конец кембрия, ордовик и, вероятно, силур. К нему относится массивное гранитообразование преимущественно палингенного характера, что позволило называть систему глутоногенной геантклиналю [3]. Связанные с этим этапом отраженные ТМ проявления в предшествующих более северных системах, как уже упоминалось, имели весьма значительную интенсивность. Геократический режим этого времени распространился на всю территорию байкальид-салаирид Забайкалья. Гранитондный магматизм этого времени известен и в пределах Керулен-Аргунского массива.

Оrogenный этап развития наиболее поздней герцинской Хэнтэй-Даурской системы (PZ_3-T_1) проявился как в гранитообразовании, так и в интенсивном наземном вулканизме, с которым было сопряжено формирование молассовых (вулканогенно-молассовых) прогибов типа Предхэнтэйского. Эти процессы отражаются также в соседних консолидированных структурах Селенгино-Яблоновой системы на севере и Керулен-Аргунского массива на юге. В первой наиболее ранние гранитоиды этого этапа (340—300 млн. лет) формируются путем ультраметаморфической ремобилизации древних гранитогнейсовых куполов и входят в состав крупного Тувино-Забайкальского плутонического пояса. Более поздние ($P, P-T$) магматиты представлены вулканитами Орхон-Селенгинского вулкано-плутонического пояса, который смешен к южному краю системы. В пределах Керулен-Аргунского массива процессы отраженной активизации этого времени проявились достаточно интенсивно, что подтверждается картированием целого ряда пермских вулкано-тектонических структур в основании мезозойского Восточно-Монгольского вулкано-плутонического пояса. Высокой мобильностью территории Хэнтэй-Даурской системы характеризуется также на этапах автономной активизации в мезозое, когда формируются многочисленные наложенные впадины (T, J_1, J_2).

Подводя итог рассмотрению структурно-вещественных и геисторических особенностей складчатых систем Забайкальской части геоблока, следует выделить первые три особенности, позволяющие диагностировать депрессионные структуры демиссионных этапов. Эти особенности свидетельствуют: о тафрогенном (раздвиговом) происхождении структур и связи их с перикратонным прогибом, о заложении их на единообразном дорифейском кратонном основании, о слабой

дифференцированности прогибов и простой их морфологии. Эти особенности определенно свидетельствуют в пользу отнесения структур демиссионных этапов развития систем не к геосинклиналям, а к более простым по форме крупным линейным тафрогенным депрессиям типа интракратонных авлакогенов в понимании Н.С.Шатского и А.А.Богданова [10, 11]. Каждый такой авлакоген, вероятнее всего, в начале представлял собой единый слабо дифференцированный раздвиговый прогиб*, размерами $1000 \times (200+250)$ км, который на западе сопрягался с Саяно-Енисейским перикратонным прогибом, а на востоке тупо выклинивался в зоне Восточно-Азиатского линеамента. После заполнения стратифицированными образованиями этот прогиб подвергался интенсивной и неоднократной ТМ перестройке (4–5 особенности), не свойственной ни миогеосинклиналям, ни тем более авлакогенам. Последовательное проявление растягивающих и сжимающих усилий при формировании этих своеобразных складчатых систем позволило Л.И.Красному [5, 8] отнести их к раздвигово-сдвиговому типу. После превращения авлакогена в такого рода складчатую систему происходило заложение нового авлакогена южнее и субпараллельно предыдущему с развитием по той же схеме. После начального раздвига (I цикл) отмечается сокращение длительности циклов вдвое (II – 600, III – 300, IV – 150 млн. лет)** при примерно равной ширине возникающих складчатых систем, что свидетельствует об ускорении процесса. Результатом такой последовательности событий явилось клавишное размещение разновозрастных складчатых систем, не перекрывающих друг друга и ограниченных рамками структурного коридора между субмеридиональными линеаментами.

Таким образом, в итоге весьма длительного и единогообразного процесса трансформации земной коры возникла полициклическая тектоническая зональность Забайкальского мегаблока (ранние байкалиды — байкалиды — салаириды — герциниды), развивающаяся от края Сибирской в сторону Северо-Китайской платформы. Латеральным ограничением этой тектонической "клавиатуры" на юге является Керулен-Аргунский массив, т.е. край древнего Восточно-Монгольского литоплинта (плиты). Отражение ТМ перестроек всех циклов развития Забайкальского мегаблока в структурах этого массива (см. таблицу) позволяет предполагать активное участие, литоплинта (плиты) в процессе трансформации земной коры. Это предположение подтверждается, с одной стороны, размещением Забайкальского мегаблока и плиты в едином структурном коридоре и, с другой, ограничением геоблока в целом рифтовыми зонами: рифейской Байкало-Витимской на севере и пермской Солонкерской на юге. Первая, вероятно, является начальной, а вторая — финальной для длительного процесса трансформации континентальной земной коры, в котором рифтогенез и крупнообъемное гранитообразование, т.е. явления-антагонисты играли весьма важную роль.

Геодинамические причины и механизм циклической и зональной трансформации земной коры (гипотеза дрейфа континентальной плиты). После рассмотрения особенностей геологического строения и развития региональных структур Монголо-Забайкальского геоблока можно сделать выводы о том, какого рода единый длительный процесс, совмещающий антагонистические тенденции, мог обеспечить, с одной стороны, последовательное и единообразное формирование серии

субпараллельных разновозрастных авлакогенов, а, с другой, превращение их в гранитизированные складчатые системы. Этот процесс, судя по приведенной выше информации, обладал следующими чертами: 1) происходил в течение 1,4 млрд. лет циклически с периодическим (через 600–150 млн. лет) смещением на юг при шаге в 200–250 км; 2) ограничивался поперечным структурным коридором между трансконтинентальными долгоживущими линеаментами субмеридионального простирания (границами геоблока); 3) развивался на едином древнейшем сиалическом основании, залегающем на глубинах 10–12 км от современной дневной поверхности; 4) обладал постоянно высокой, хотя и пульсирующей энергетикой, связанной с движениями земной коры (рифтинг, деформации сжатия) и несомненным влиянием верхней мантии (тепловой поток, магматизм); 5) происходил в зоне циклического одностороннего раздвига между древними платформами при взаимодействии возникающих складчатых систем (на севере) и древнего литоплинта (на юге).

Всеми перечисленными чертами, скорее всего, мог характеризоваться процесс, обусловленный длительным и прерывистым горизонтальным движением — дрейфом континентальной плиты. Дрейф происходил по определенной поверхности раздела (расслоения) земной коры и в определенном направлении между двумя крупнейшими линеаментами. Латеральный отрыв Монголо-Забайкальской плиты от Ангаро-Ленской части кратона (раздвиг, отторжение) произошел по Байкало-Витимской рифтовой зоне в раннем риффе, т.е. в глобальную эпоху авлакогена [10, 11]. Одновременно произошли вертикальное отслоение плиты и ее скольжение по некой границе раздела плотностных неоднородностей коры. В современных структурах Забайкалья поверхность скольжения плиты, являвшаяся дном всех разновозрастных авлакогенов, скорее всего соответствует ступенчатой границе между верхним "гранитно-осадочным" и нижним "диорит-метаморфическим" слоями, на которые Г.И.Менакер делит условно "гранитный" слой классической модели земной коры [3]. По сейсмическим данным, эта граница может отвечать кровле волновода, залегающей на глубинах 10–14 км. В пределах Восточно-Монгольского мегаблока эта поверхность может соответствовать границе гранитного и базальтового слоев земной коры [7].

Дрейф континентальной плиты происходил с севера на юг (юго-юго-восток), вероятно, с поддвигом под Дунбэйский континент по Солонкерскому шву. По мере перемещения — дрейфа плиты в ее кильватере на освобождающемся пространстве и утоненной коре формировались крупные разновозрастные тафрогенные депрессии — авлакогены, а на их основе — складчатые системы, т.е. новая континентальная кора (гранитно-осадочный слой, по Г.И.Менакеру).

Результатирующая однодиаправленная тектоническая зональность и клавишная структура геоблока явились свидетельством как самого дрейфа плиты, так и прерывистости — цикличности этого процесса. Континентальная плита, некогда отторгнутая от тела кратона, за 1,4 млрд. лет прошла 700–750 км, освободив место для четырех складчатых систем.

В современной структуре геоблока северную тыловую часть плиты, скорее всего, представляет Керулен-Аргунский массив. По мере дрейфа он вместе с плитой перемещался на юг с шагом 200–250 км за один цикл. При этом массив последовательно ограничивал с юга каждую вновь возникавшую складчатую систему, а затем отрывался от нее по раздвигу в начале нового цикла. Явления отрыва, несомненно, сопровождались частичным обрушением края плиты, особенно северо-восточного выступа, а также эскарпа кратона на востоке с образованием аллохтонных древних глыб типа

* Палеореконструкции для демиссионных этапов развития складчатых систем весьма затруднены в связи с неполнотой разрезов и распространением соответствующих отложений часто в виде ксенолитов среди преобладающих гранитоидов [1, 3].

** Приведена округленная длительность циклов.

Муйских, Амалатской, Нерчуганской, Агинской и др. При таком отрыве на краю плиты (массива) могли также сохраниться реликты образований отторгнутых систем. Такой реликт байкалид, в частности, может представлять собой тектонизированная зеленокаменная толща ононской и кулиндинской свит. Тектоно-магматическая перестройка каждой системы, несомненно, отражалась в структурах сопредельного массива, в результате чего он испытал многократную отраженную активизацию, в том числе гранитизацию (см. таблицу).

По мере дрейфа плиты ее южная фронтальная часть постепенно исчезала в Солонкерской зоне подвига, а оставшийся фрагмент плиты между этой зоной и Керulen-Аргунским массивом в среднем палеозое был перекрыт Южно-Монгольским геосинклинальным прогибом — заливом Зайсан-Гобийской ортогеосинклинальной системы. Эпиллатформенное (эпиглазиное) положение этого залива подтверждается наличием в основании девонско-нижнекаменного угольного геосинклинального разреза субплатформенных терригенно-карбонатных отложений чехла (ϵ -S) при отсутствии выходов древнего сиалического фундамента. С возникновением наложенной герцинской геосинклинали было связано или совпало по времени завершение дрейфа континентальной плиты.

Мощность дрейфующей континентальной плиты, вероятно, была соизмерима с таковой складчатого и гранитизированного вулканогенно-осадочного выполнения четырех разноворзастных примерно разновеликих авлакогенов, последовательно возникавших в ее кильватере. Освобождающееся пространство при этом компенсировалось не только вулканитами, осадками и гранитоидами, но и сводово-щитовым волнообразным "всплытием" редуцированного древнего сиала на поверхности верхней мантии с соответствующим подъемом поверхности Мохо и повышением теплового градиента. То есть, компенсация пространства происходила как сверху, так и снизу.

Выдвижение гипотезы о прерывисто-циклическом дрейфе континентальной плиты в течение рифея — палеозоя с определенными последствиями: формированием линейных тафрогенных структур типа авлакогенов (растяжение, раздвиг) и их превращением в гранитизированные складчатые системы (сжатие, сдвиг), требует теоретической разработки механизма соответствующих геодинамических процессов. Противоположность знака тектонических напряжений, включающих начальное растяжение и последующее сжатие, предполагает наиболее вероятное поступательно-возвратное движение плиты с образованием так называемых раздвигово-сдвиговых структур [5, 8]. Механизм дрейфа при этом в каждом тектоническом цикле должен включать три главных элемента: а) отторжение (отрыв) плиты в начале дрейфа от края кратона, а затем от края возникшей складчатой системы; б) поступательное движение плиты до полной остановки (раздвиг); в) ограниченное возрастание движение плиты до новой остановки (сдвиг). Элементы "а" и "б" входят в рамки первого этапа формирования складчатой системы, а элемент "в" — отвечает второму завершающему этапу ТМ перестройки, который, как правило, включает интенсивные деформации и массовое гранитообразование. Исключением из этого правила является первый раннебайкальский цикл, отличавшийся особой интенсивностью рифтогенеза и мантийного магматизма, которые препятствовали массовому гранитообразованию и деформациям сжатия.

В развитие гипотезы следует привести некоторые соображения о причинах геодинамических событий. В качестве вероятных причин вертикального отложения плиты по некой крупной границе неоднородностей

коры могут быть упомянуты процессы пульсирующего неравномерного расширения Земли и различия скорости вращения разных оболочек литосферы. Отторжение и первоначальное отталкивание плиты (раздвиг) происходили, вероятно, в результате разуплотнения — расширения гранитизированных недр ранее возникшей складчатой системы. Роль такой системы в предрифее — раннем рифе, наверное, сыграл Акитканский вулкано-плутонический пояс, возникший вдоль южного края Ангара-Ленского геоблока. Последующее медленное поступательное движение плиты, скорее всего, происходило под действием элементов "двойной тяги", роль которых играли: сводово-волновое воздымание поверхности верхней мантии с редуцированным сиалем, которое расширяло зону раздвига в кильватере плиты; засасывание веществом верхней мантии фронтальной части плиты в зоне подвига. Южная фронтальная часть плиты, кроме того, могла испытывать шарьяжное состругивание и (или) сводово-складчатое коробление. Не исключается движение плиты на "воздушной подушке", т.е. на слое газов, выделявшихся при дегазации мантии. Торможение, остановка и ограниченное возвратное движение плиты могут объясняться либо временной сменой знака конвективных движений вещества верхней мантии в зонах раздвига и подвига, либо разрядкой тектонических напряжений в зоне подвига. Наиболее вероятно синергическое (объединяюще усиливающее) взаимодействие указанных мантийных и коровых причин.

Коровая составляющая механизма возвратного движения плиты может быть обоснована наиболее реально. В ее основе лежит подмеченная тенденция ускорения движения континентальной плиты от более ранних к более поздним циклам развития полициклического раздвига, причем эта тенденция, вероятно, была характерна и для каждого цикла в отдельности. Теоретически ускорение было связано с усиливающейся в процессе движения плиты механической и термической обработкой поверхности скольжения (шлифовкой, разогревом). При ограниченной "пропускной способности" зоны подвига такое ускорение приводило к нагромождению, скучиванию масс в южной фронтальной части плиты с накоплением тектонических напряжений, т.е. к эффекту сжимаемой пружины. Эти напряжения, достигнув в конце цикла определенной критической величины, реализовались (разряжались) в форме ограниченного возвратного движения плиты, ее отбрасывания, отката.

Возвратное движение плиты порождает сжатие и частичное раздавливание "начинки" [8] возникшего авлакогена с деформацией и гранитизацией его недр при развитии дислокаций двух главных направлений: северо-северо-западного и восточно-северо-восточного. При этом южная граница системы "штампуется" в соответствии с конфигурацией северной части плиты. Разрядка напряжений сжатия приводит к началу событий следующего цикла: отторжению (отрыву) и дальнейшему поступательному движению плиты с образованием в ее кильватере нового авлакогена, а затем на его основе — новой складчатой системы. При формировании каждого авлакогена отрыв северо-восточного выступа плиты (Приаргунского) приводил к образованию ниши (зияния), которая затем заполнялась всплытием или обрушением глыб древнейшего основания с выравниванием границ системы. На месте такого рода зияний, вероятно, были сформированы Южно-Муйская, Амалатская, Нерча-Нерчуганская зоны развития альточных дорифейских структур.

В связи с циклическим подвигом южной фронтальной части плиты результаты ее трансформации доступны наблюдению (изучению) только для последнего — герцинского цикла. Поступательному движению плиты

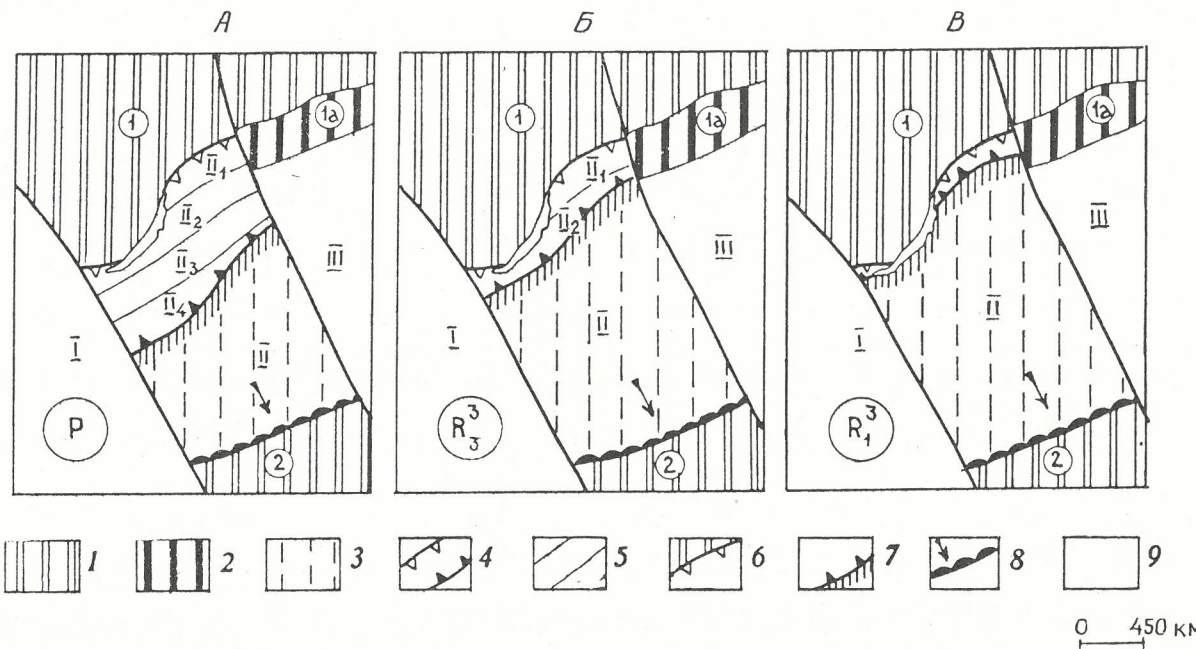


Рис. 2. Палеотектонические реконструкции зоны Забайкальского полициклического раздвига:

A — герцинский цикл (конец дрейфа плиты); *B* — байкальский цикл; *C* — раннебайкальский цикл (начало дрейфа); 1 — древние платформы; 2 — Алданский щит; 3 — Монголо-Забайкальская плита; 4 — зона полициклического раздвига; 5 — раздвиго-сдвиговые складчатые системы Забайкалья; 6 — линия первичного отрыва плиты; 7 — тыловая часть плиты (Керулэн-Аргунский массив); 8 — фронтальная часть плиты (Солонкерская зона поддвига); 9 — пограничные линеаменты; остальные усл. обозн. см. рис. 1

и формированию в ее кильватере (зоне раздвига) Хэнтей-Даурского авлакогена соответствовало сильное сжатие фронтальной Южно-Гобийской части с массовыми излияниями порфиритов в девоне и образованием надвигов. Возвратное движение плиты сопровождалось отрывом от края Дунбэйской платформы и формированием пермской Солонкерской рифтовой зоны, а также орогенной коровой активизацией (граниты, вулканиты, молассы) структур плиты и обрамляющих ее с севера систем. Распространение коровых магматических образований позднего палеозоя за пределы геоблока (Орхон-Селенгинский пояс) — в структуры Западного Становика четко фиксирует окончание дрейфа континентальной плиты.

Некоторые тектонические и металлогенические следствия дрейфа континентальной плиты. Наряду с формированием клавишной структуры Забайкальского мегаблока и гранитизацией возникших складчатых систем весьма важным следствием дрейфа является смещение Керулэн-Аргунского массива, т.е. северного края плиты на 700–750 км в южном направлении. Палеотектонические реконструкции (рис. 2) методом “обратного дрейфа” (т.е. последовательного “изъятия” складчатых систем) позволяют определять первичное положение массива на крайнем севере геоблока виз-а-ви с Алданским щитом — на месте новообразованной Байкало-Витимской складчатой системы. Эти построения косвенно подтверждаются подобием конфигурации двух ныне разобщенных линий: Прибайкальской дуги и северного края Керулэн-Аргунского массива. Эти линии являются границами зоны полициклического раздвига, а в ретроспективе (в конце раннего протерозоя — начале рифея) составляли единое целое (см. рис. 2, *B*).

Весьма интересно, что обе упомянутые крупные структуры дорифейской консолидации (Керулэн-Аргунский и Алданский массивы) в позднем мезозое, несмотря на пространственную разобщенность, испытали однотипную и интенсивную ТМА. При этом были сформированы продольные континентальные вулкано-

плутонические пояса и ассоциирующие с ними крупные месторождения молибден-урановой с золотом, полиметаллической с серебром и флюоритовой рудных формаций. Отсутствие или ущербность проявления этих важных рудных формаций в других поясах и ареалах позднемезозойского магматизма (вулканизма) на территории Восточной Сибири и Дальнего Востока свидетельствует об отсутствии генетических связей между ними. Наиболее вероятной является мобилизация дорифейских geoхимических ресурсов в недрах Керулэн-Аргунского и Алданского массивов — близнецов, испытавших различную ТМ переработку в рифеях — палеозое и сходную — в мезозое. Эти ресурсы могут принадлежать geoхимически специализированному вулканогенно-осадочному выполнению раннепротерозойских тафrogenных депрессионных структур (proto-авлакогенов) типа тех, зеркально-симметричные пары которых реконструированы по целому комплексу прямых и косвенных признаков на Северо-Американском и Европейском кратонах [2]. В данном случае, в пределах Дунбэй-Сибирского кратона такие структуры и их пары предполагаются по косвенным признакам: отмеченным металлогеническим особенностям, фрагментарному распространению geoхимически специализированных формационных комплексов (типа федоровской серии и ее эквивалентов) и сходному проявлению мезозойской мантийно-коровой автономной активизации. Линейность мезозойских вулкано-плутонических поясов в пределах массивов-близнецов указывает на существование древнейших разломов, которые до рифея (т.е. до дрейфа плиты) могли представлять собой фрагменты некогда единого субширотного транскратонного Байкало-Алданского линеамента. Этот линеамент контролировал размещение зеркально-симметричной пары раннепротерозойских protoавлакогенов: Прибайкальского (Керулэн-Аргунского) и Алданского (Учуро-Чарского), обращенных устьями к противоположным перикратонным прогибам: Саяно-Енисейскому и Юдомо-Майскому.

Еще одним важным следствием дрейфа континен-

тальной плиты в рифе — палеозое является формирование двух крупнейших долгоживущих линеаментов: Саяно-Енисейского и Восточно-Азиатского, ширина зон которых колеблется от 25 до 70 км. Цикличность геодинамических процессов с многократным наложением отраженной, а затем и автономной ТМА привели к формированию весьма сложных (сложняющихся с севера на юг), эшелонированных по горизонтали и вертикали кулисно-ступенчатых структур. В их пределах, несомненно, подвергались переработке геохимические ресурсы как дорифейского кристаллического основания, так и вулканогенно-осадочного выполнения рифей-палеозойских депрессионных структур: перикратонного прогиба на западе и тыловых (замкнутых) частей авлакогенов на востоке. Кроме коровых геохимических ресурсов в зонах линеаментов, несомненно, присутствуют мантийные рудогенные производные, а также, вероятно, проявление алмазоносных кимберлитов мезозойского или более древнего возраста.

Подводя итог, следует сделать вывод, что выдвинутая гипотеза дрейфа континентальной плиты в рифе — фанерозое позволяет объяснить причины и механизм трансформации крупного фрагмента древнейшего краятона в полициклическую складчатую область. С позиций новой гипотезы, радикальное преобразование верхней части земной коры Монголо-Забайкальского геоблока может служить примером синэргического эффекта нелинейного геологического развития [15] с последовательно-параллельным проявлением, с одной стороны, коровых процессов движения геологических масс и крупнообъемного гранитообразования и, с другой, процессов мантийного диапиритизма щитового и щелевого типов. Новые тектонические и геодинамические построения могут иметь важное прикладное значение в металлогении и прогнозировании.

СПИСОК ЛИТЕРАТУРЫ

1. Амантов В.А. Тектоника и формации Забайкалья и Северной Монголии. — Л.: Недра, 1975.
2. Афанасьев Г.В. Среднедокембрийские рудно-геохимические провинции и производные их трансформации // Сов. геология. 1985. № 1. С. 107—117.
3. Геологическое строение СССР и закономерности размещения полезных ископаемых. Т. 7. Алтай-Саянский и Забайкало-Верхнеамурский регионы. Кн. 2. Забайкало-Верхнеамурский регион / Под ред. В.А.Амантова. — Л.: Недра, 1986.
4. Геологическое строение СССР и закономерности размещения полезных ископаемых. Т. 4. Сибирская платформа / Под ред. Н.С.Малича, В.Л.Масайтиса и В.С.Суркова. — Л.: Недра, 1987.
5. Геология зоны БАМ. Т. 1. Геологическое строение / Под ред. Л.И.Красного. — Л.: Недра, 1988.
6. Геология Монгольской Народной Республики. Т. 1. Стратиграфия. — М.: Недра, 1973.
7. Геология Монгольской Народной Республики. Т. 2. Магматизм. Метаморфизм. Тектоника. — М.: Недра, 1973.
8. Красный Л.И. Геология региона Байкало-Амурской магистрали. — М.: Недра, 1980.
9. Красный Л.И. Глобальная система геоблоков. — М.: Недра, 1984.
10. Милановский Е.Е. Рифтогенез в истории Земли (рифтогенез на древних платформах). — М.: Недра, 1983.
11. Милановский Е.Е. Рифтогенез в истории Земли (рифтогенез в подвижных поясах). — М.: Недра, 1987.
12. Салон Л.И. Геология Байкальской горной области. Т. 2. Магматизм, тектоника, история геологического развития. — М.: Недра, 1967.
13. Салон Л.И. Общая стратиграфическая школа докембра. Периодизация докембра материков северного полушария и основные черты раннего этапа геологической эволюции. — Л.: Недра, 1973.
14. Хайн В.Е. Региональная геотектоника. Т. 3. Внеальпийская Азия и Австралия. — М.: Недра, 1979.
15. Щеглов А.Д. О некоторых вопросах нелинейной геологии // Региональная геология и металлогения. 1995. № 4. С. 5—15.

Принята редактором 26 ноября 1996 г.

Литология, петрология, минералогия, геохимия

УДК 552.14/16

© А.Г.Жабин, 1997

Рудоподготовительные процессы в черносланцевых осадочных формациях

А.Г.ЖАБИН (ИМГРЭ)

К настоящему времени стали очевидными обширные рудогенерирующие потенции геологических формаций (ГФ) "черных сланцев", возникающих в различных геодинамических условиях. С черносланцевыми формациями, сложенными осадочными терригенными породами, среди которых преобладают аргиллиты, алевролиты и песчаники, реже — мергели и известняки, и обогащенными органическим веществом и раннедиагенетическими сульфидами железа, ассоциируются сульфидные свинцово-цинковые месторождения, медно- и полиметаллически-колчеданные, сурьмяно-мышьяковые с вольфрамом, золотые, платиновые и лантаноидные (европий).

Рудогенерирующие способности черносланцевых осадочных формаций обусловлены протеканием масштабных рудоподготовительных геохимических процессов. Последние можно объединить в две группы: А — прохождение внутри тела осадочной толщи представителей конкретной геологической формации, стандартных стадий литогенеза (сингенез, седиментогенез → диагенез → катагенез → метаморфизм), которые сопровождаются геологическими масштабами мобилизации

внутрипоровой и внутриминеральной воды, ее метаморфизацией, ступенчатым концентрированием металлов, аутигенным минералообразованием и возникновением рудоносного флюида, названного Р.П.Котиной [16] мобилизатором; Б — функционирование тел черносланцевых формаций в качестве мощных полистадийных, полифакторных физико-геохимических барьера, коллекторов, способных концентрировать химические элементы не только из внутреннего источника, но и любого иного внешнего.

Оба процесса А и Б представляют собой перекрывающиеся множества, однако нужно учитывать их относительную автономность.

Собственно рудоподготовительные (рудоконцентрирующие) процессы — условно выделяемая часть геохимических явлений в процессах А и Б.

Рудоподготовительные процессы в онтогенезе* черносланцевой ГФ (зарождение, рост, автометаморфизм,

* Онтогенез одиночного рудного месторождения или тела конкретной геологической формации описывается совокупностью всех данных по их развитию на стадиях зарождения, роста, автометаморфизма, аллометаморфизма (Д.В.Рундквист, А.Г.Жабин).

аллометаморфизм, разрушение) играют ту же роль, что метаболизм в онтогенезе живого существа.

Четыре основные реакции, определяющие направление рудоподготовительных процессов. 1 реакция: выделение воды из глинистой составляющей осадков при погружении, уплотнении, росте температур — давлений и поглощение натрия и калия [5, 14, 16, 17, 25].

Эволюционный ряд превращений: монтмориллонит → смектит → смешанослойные гидрослюды калиевые → серициты. Фациальная разновидность этого ряда — заканчивающийся хлоритом.

Монтмориллонит $\text{Na}_{0,33}(\text{H}_2\text{O})_4\{\text{Al}_{1,33} \text{Mg}_{0,33}\}[\text{Si}_4\text{O}_{10}] (\text{OH})_2$ 0,33 в результате некомпенсированных замещений в трехслойных пачках “пиофиллитового” или “талькового” типа: $(\text{Al}, \text{Fe})^{3+} \rightarrow \text{Mg}^{2+}$ и $\text{Si}^{4+} \rightarrow (\text{Al}, \text{Fe})^{3+}$ захватывает из порового раствора катионы таких сильных щелочей, как калий и натрий; это и есть путь к калиевым слюдам. Помимо H_2O в монтмориллоните предполагается присутствие гидратированных протонных комплексов оксония $\text{H}^+\cdot\text{H}_2\text{O}$, а также тригидрата $\text{H}^+\cdot 3\text{H}_2$ и гептагидрата ($\text{H}^+\cdot 7\text{H}_2\text{O}$) гидрония. Присутствует и адсорбированная вода. Таким образом, седиментогенный монтмориллонит является основным источником концентрирующих и транспортных водных сред, выделяющихся ступенчато на всех стадиях рудоподготовительного процесса.

Монтмориллонит и в зоне сноса (кора выветривания), и в самом осадке образуется при гидролизе силикатов с выделением избыточных компонентов, например магния или кремнезема:



2 реакция: сульфуризация и десульфуризация, в которой важнейшими являются три направления: сульфатредукция; сульфуризация железа и других элементов в силикатах, оксидах, карбонатах; десульфуризация сульфидов.

Основной эволюционный ряд превращений [6–11]: FeS_2 (pirит, марказит) → FeS (пирротин) → Fe_3O_4 (магнетит, гематит) → FeCO_3 (сидерит). При диссоциации пирита ($\text{FeS}_2 \rightarrow \text{FeS} + \text{S} \uparrow$) возникает сера, способная вновь производить сульфуризацию.

В сероводородной “эвксинской” фации миогеосинклинали помимо самого сероводорода H_2S , присутствует гидросульфид-ион HS^- , тиосульфат $\text{S}_2\text{O}_3^{2-}$; сульфит SO_3^{2-} и сульфид-ионы S^{2-} .

3 реакция: метаморфизация, разложение первичного органического вещества (ОВ). Основной эволюционный ряд превращений [24, 25]: ОВ → CO_2 → CH_4 (метанизация) → ... → твердые битумы → CaCO_3 , FeCO_3 (карбонаты с органическим углеродом). Этот ряд является частным по отношению к таковому, определяемому углефикацией.

4 реакция: эволюция состава поровых вод, приводящая к формированию мобилизата [5, 13, 14, 16–17, 24, 25]. В 1 кг морской воды при солености 35 ‰ преобладают $\text{Na}^+ = 10,7638$ г (77,3 % суммы катионов) и $\text{Cl}^- = 19,3535$ г (90,1 % суммы анионов). Наиболее же распространены типами вод, возникших при автометаморфической эволюции терригенного осадочного бассейна являются, по И.С.Грамбергу [5], хлоридно-кальциевые и бикарбонатно-натриевые, составляющие основу рудоносных флюидов.

Рудоподготовительные геохимические процессы на разных стадиях литогенеза. Сингенез (седиментогенез). Глинистый осадок или ил на этой стадии литогенеза представлен сложным бактериально-органоминерально-коллоидно-дисперсным агрегатом, содержащим во взвеси мелкие обломки минералов из зон сноса на сушке. Рудные элементы здесь содержатся и в составе

органического вещества (например, металлогорганические формы золота), и в виде собственных минералов (циркон, магнетит, ильменит, сфен, апатит, сфалерит), а также изоморфных примесей в бывших породообразующих минералах (пироксенах, амфиболах, слюдах, полевых шпатах). При аутогенных преобразованиях эти кластические зерна либо перекристаллизовываются, дорастают, теряют какие-либо элементы, либо полностью растворяются, отдавая свое вещество поровому раствору.

Диагенез (литификация). Конкрециеобразование двух фаций — карбонатное (преимущественно сидеритовое, сидероплезитовое) и сульфидное (мелльниковит → марказит → пирит). Сульфатредукция генерирует из сульфат-иона морской воды сульфид-ион, активно связывающий реакционно способное железо в сульфиды. Начинается мощный процесс дегидратации глинистой фракции пород с выделением огромной массы воды, соединяющейся с захороненными поровыми морскими водами осадочного бассейна. Количество воды при дегидратации по разным оценкам таково: по А.М.Блоху (1978) — до 33 л/м³; по В.Н.Холодову [25] — 110 л/м³; по Берсту (1969) — 10–15 % объема осадка. Начинается ионнообменная и структурная эволюция глинистого компонента: монтмориллонит, каолинит → смектиты → гидрослюда политипа 1Md → смешанослойный политип гидрослюды 2M. По В.Н.Холодову [25], гидрослюдизация в элизионных осадочных бассейнах Предкавказья началась на глубине 3,7 км при температуре 170 °C и давлении 80–85 МПа. Гидрослюдизация принципиально меняет калий-натриевое отношение в поровом растворе в пользу натрия, поскольку гидрослюды избирательно поглощают калий. Именно поэтому морские аргиллиты превращаются в существенно калиевые породы, хотя морские воды преимущественно натриевые. Калий-натриевое отношение в аргиллитах весьма высокое. Например, в районе Лухумского рудного поля, Рача (верхняя юра — нижний мел) в аргиллитах (74 пробы, среднее) 3,45/0,11 = 31,4. В алевролитах и песчаниках калий-натриевое отношение: бассейн р. Зеско, Нижняя Сванетия (среднее по 39 пробам) 2,73/1,33 = 2,05; бассейн р. Пушкиэри, Верхняя Сванетия (среднее по 44 пробам) 3,63/1,36 = 2,7. Кларковые значения калий-натриевого отношения в “глинистых породах” земной коры, по А.П.Виноградову (1962), 2,28/0,66 = 3,45.

По И.С.Грамбергу [5], концентрирование поровых вод идет уже в раннем диагенезе. По мере уплотнения концентрирование нарушает адсорбционное равновесие и обуславливает реакции обмена — магний и кальций переходят в раствор, а натрий и калий — в поглащающий комплекс (слоистые силикаты); это и объясняет возникновение вначале хлоридно-магниевых, а позже хлоридно-кальциевых, бикарбонатно натриевых вод.

Катагенез. Тепловая активация перекристаллизации, дегидратации, ионного обмена при погружении до глубины 8–12 км. На этих глубинах в осадочных бассейнах, например в Предкавказье, по современным данным, температуры, по оценке Г.М.Сухарева и др. [24], достигают при геотермической ступени на уровне 40 м/град.: на 8 км — 200, а на 12 — 300 °C. Это обычные температуры гидротермального раствора. Для глубин 4,5–5 км в Южно-Каспийской впадине температуры, измеренные в скважине, составляют 90–125 °C (Ш.Ф.Мехтиев, А.А.Геодекян и др., 1972).

Начинают функционирование два типа масштабных гидродинамических систем [25]: на первом этапе — элизионные системы (погружение, рост изотерм и давлений), на втором — инфильтрационные (воздымание, регрессия, падение изотерм и давлений). Элизионный катагенез — перераспределение газово-водных флюи-

дов, отжимание их из глин в песчаники, аутигенное минералообразование. Инфильтрационный катагенез — инфильтрация внутрипородных растворов через проницаемые песчаные пласти-коллекторы.

Метаморфизация рассеянного органического вещества (РОВ) добавляет в поровые растворы и в мобилизат углекислоту, метан и другие органические компоненты. С.Г. Неручев с соавторами (1973–1976) выделил четыре зоны (стадии) изменения ОВ: начальное нефтеобразование (0–2 км); главное (2–3,5 км); главная стадия газообразования (3,5–5 км); затухание нефтегазообразования (5–9 км). По их оценке, до глубин 5–9 км “горает” до 65 % первичного РОВ. В зоне катагенеза РОВ генерируют: углистое вещество — 55, углекислоту — 17, воду — 12, сероводород — 3 %.

Важнейший рудоконцентрирующий реагент — сероводород H_2S — возникает в ходе литогенеза глинистых толщ несколько раз: при диагенезе РОВ выделяют преимущественно H_2S и CO_2 биогенного генезиса за счет деятельности анаэробных бактерий (сульфат-редукция). Далее происходит прямое разложение РОВ за счет повышенных температур и давлений. В главную же fazу нефтеобразования H_2S генерируется преимущественно с жидкими органическими веществами — битумоидами, нефтью и водорастворимой органикой.

Второй важный рудоконцентрирующий реагент — углекислота. По экспериментальным данным И.Г. Киссина и С.И. Пахомова [14], уже при температуре 50–100 °C при взаимодействии с известняками дистиллированной воды, хлоридно-натриевых растворов начинается генерация углекислоты.

Метаморфизм региональный, в т.ч. динамометаморфический. Перекристаллизация осадков, рост идиобластов пирита, хлорита, сидерита, окварцевание цемента. Возникают метаморфогенные кварцевые и карбонатные прожилки, жилы и свиты жил, имеющие весьма существенный объем [12] и являющиеся аккумуляторами внутрипородного рудного мобилизата (табл. 1, 2). Начинающееся воздымание, инверсия терригенных толщ, сопровождается складкообразованием, кливажом, милонитизацией, активируют механохимические реакции [20].

Восстановительные функции ОВ при сравнительно низкой тепловой активации: диссоциация пирита в пирротин ($FeS_2 \rightarrow FeS + S \uparrow$), высвобождающая сульфид-ион, который обуславливает появление второго этапа сульфидообразования (пирит, сфалерит, халькопирит, арсенопирит). В результате дегидратации, ионно-обменных реакций, порово-капиллярных диссипативных явлений (А.М. Блох), лиофильно-лиофобных равновесий формируется проторудоносный раствор, мобилизат [5, 16, 17]. В итоге возникает эволюционный ряд форм проявления дисульфидов железа, описанный нами ранее [6] как предыстория колчеданного рудообразования в терригенных миогеосинклиналях: фрамбоиды → колонии фрамбоидов → конкреции → идиобластическая вкрапленность → моносульфидные слои мощностью до 25 см.

При исследовании кинетики взаимодействия воды и пород на основных этапах осадочного процесса В.П. Зверев [13] показал, что вещество претерпевает по меньшей мере 7–8-кратный переход от одной гидро-геохимической среды в другую: мобилизация (выветривание), перенос, седиментация, диагенез, катагенез инфильтрационный и элизионный. Естественно, каждый из этих 7–8 переходов имеет отношение кrudоподготовительным процессам, но в разной мере. Отметим, что кинетика растворения породообразующих минералов в коре выветривания и в ходе катагенеза различается существенно (табл. 3), но не принципиально (“у катагенеза времени больше”).

Возникновение рудоносного мобилизата. Возникно-

1. Количество характеристика распространения метаморфогенных кальцито-кварцевых жил в юрских сланцах на западном фланге Лухумского рудного поля, Центральный Кавказ [12]

Характеристика	Докинематические (доклиновые) жилы	Послекинематические (посклевовые) жилы
Число жил и прожилков	7	279
Суммарная мощность жил и прожилков, м	1,17	17,59
Объем жильного вещества, % мощности разреза 500 м	0,23	3,52

2. Количество характеристика распределения метаморфогенных кальцито-кварцевых жил в пределах рудных зон, на их флангах и на периферии рудного поля (фон) [12]

Разрез	Мощность разреза, м	Число жил и прожилков	Суммарная мощность жил, м	Количество жил от мощности разреза, %	Средняя мощность жил и прожилков, см	Максимальная мощность одиночной жилы, см
I	500	286	18,76	3,75	6,6	43
II	500	371	13,91	2,78	3,8	45
III	385	236	6,31	1,63	2,7	20

П р и м е ч а н и е : I — “фон”: правый берег р. Лухумис-Цкали, западный фланг рудного поля без видимой мышьяковой или другой минерализации; II — штолня № 18 (интервал от устья до рудной зоны); III — штолня № 14.

вение рудоносного газо-водного флюида, названного Р.П. Котиной [16] мобилизатом, есть интегральный итог всех выше перечисленныхrudоподготовительных геохимических процессов, происходивших внутри осадочной формации. Мобилизат — и концентрирующий, и транспортирующий агент.

Естественно, его возникновение не может быть прочно привязано к какой-то определенной стадии литогенеза, поскольку масштаб, скорость и глубина протекания геохимических процессов во многом определяются также и иерархически более высокими “внешними” геологическими явлениями, например, динамикой погружения — воздымания (инверсия) осадочного бассейна (его разреза), а также абсолютной длительностью этих движений.

Естественно, если черносланцевый осадочный бассейн, как это имеет место, например, в юре Дагестана (Восточный Кавказ), имеет мощность 7 км, но претерпевает воздымание вскоре после своего формирования, то многие перечисленные вышеrudоподготовительные

3. Кинетика преобразования минерального вещества на разных стадиях корообразования и литогенеза, по В.П. Звереву [13]

Стадия литогенеза	Скорость растворения породообразующих силикатов (пироксено, плагиоклазов, слюда), $\text{г}/\text{см}^3 \cdot \text{град}$	Масса преобразованного минерального вещества, $\text{г}/\text{год}$
Мобилизация поверхностная подземная	10^{-13} 10^{-14}	$2,5 \cdot 10^{15}$ $7 \cdot 10^{15}$
Перенос и осаждение (седиментогенез)	10^{-13}	$4,5 \cdot 10^{14}$
Диагенез	$10^{-14} - 10^{-15}$	$4 \cdot 10^{12}$
Катагенез инфильтрационный элизионный	$10^{-17} - 10^{-18}$ 10^{-19}	$1 \cdot 10^{13}$ $1,1 \cdot 10^{12}$

геохимические процессы проявляются в редуцированной форме, и рудоконцентрирование реализуется лишь на ранней сульфидной ступени (когданные месторождения), а концентрация мышьяка, сурьмы, золота и прочих элементов практически не проявлена. Сидеритовые диагенетические залежи, например, остаются в первозданном виде, и эволюционный ряд замещений “сидерит — пирротин, пирит — магнетит” не реализуется.

Приведем краткое изложение интересной и продуктивной идеи о мобилизате [16, 17], которую мы уже попытались применить при расшифровке стадийной эволюции геохимических аномалий в юрских черных сланцах южного склона Кавказа, в пределах Лухумского месторождения (рудные ассоциации: золотоносный арсенопирит \rightarrow шеелит + антимонит \rightarrow реальгар + аурипигмент) [11].

Мобилизат возникает в основном при глубоком эпигенезе — метагенезе, когда происходит дегидратация Al-гидрослюды-иллита и превращение ее в серицит-парагонит. Мобилизат как раствор заполняет порово-капиллярную систему и потому находится в особом диссипативном физико-химическом состоянии (А.М.Блох), но во всем подчиняющемуся классической термодинамике Гиббса.

Р.П.Котина общий состав мобилизата, применительно к золоторудным черносланцевым толщам, приводит в таком виде [16]: $(K, Na) Al_2OH_2 (Si_3 Al O_{10})H_2O + (Al^{3+}, Fe^{3+}, Me^{2+}, Na, K, Ca^{2+}, SiO_2, Au-OB) H_2O$, где Me — полиметаллы (медь, цинк, свинец и т.д.), Au-OВ — золотоорганический комплекс.

Диссипативное состояние мобилизата обуславливает то, что концентрация компонентов в нем могут существенно превышать равновесные для обычного раствора при данных температуре и давлении.

По химическому сродству к молекулам воды компоненты мобилизата подразделены на относительно более гидрофильные (кремнезем, алюмосиликатные, силикатные радикалы, гидроксиды трудно растворимых компонентов) — ТФ H_2O^* и олеофильные, сильнее взаимодействующие не с водой, а с ОВ (благородные металлы, сульфиды) — ТФ ОВ. Системы ТФ H_2O и ТФ ОВ обычно не смешиваются. Таким образом, мобилизат — микрогетерогенная лиофобная система, кинетически устойчивая в условиях закрытого порового пространства, включающая две несмешивающиеся компоненты — “гидрофильную” (силикатно-гидроксидную) и “олеофильную” (органосульфидносамородную)“ [16, с. 397].

Эволюция мобилизата происходит в следующей последовательности, определяемой уменьшением поверхностной энергии системы:

сегрегация в суспензии микрокапель в микровыделения;

агрегация дисперсных частиц твердых фаз;

при закрытых порах агрегация мобилизата приводит к ремобилизации гидрофильных компонентов вмещающей породы;

первыми кристаллизуются из мобилизата наиболее гидрофобные компоненты, а в остаточном мобилизате накапливаются гидро- и олеофильные компоненты (1 стадия концентрации золота);

термолиз ОВ \rightarrow Сграфит + $CO_2 \rightarrow CH_4 + \dots$, восстанавливающий потенции олеофильной системы: выпадение самородного золота (2 стадия концентрации золота);

при воздымании толщи флюидное давление начинает превышать литостатическое, образуются трещины, заполняющиеся мобилизатом; его дегидратация обу-

словливает кристаллизацию обильного кварца и рудных минералов — пирита, золота, сульфосолей;

распад мобилизата — переход к термодинамически устойчивому состоянию классической гидротермальной системы.

Сегрегация самого мобилизата и агрегация, дифференциация его гидрофобных компонентов сопровождаются выделением тепла [17]. Подобные тепловые аномалии в аргиллитах вызывают гравитационную неустойчивость Рэлея — Тейлора [1], которая возбуждает диапиризм в черносланцевой геологической формации, рост антиклинальных структур. Ядра таких антиклинальных куполов как раз и отличаются обогащением мобилизатом. Это и поясняет хорошо известную в черносланцевых рудных полях приуроченность оруденения к купольным структурам, поднятым блокам. Уже в начале инверсии такие зародышевые антиклинальные структуры оформляются как автономные, саморазвивающиеся рудогенерирующие структуры.

Тела черносланцевых осадочных геологических формаций как полистадийные, полифункциональные физико-химические барьеры и накопители. Некоторые из механизмов функционирования геохимических барьеров в гипергенезе и эндогенных условиях уже известны [3, 4, 23 и др.].

Ниже мы лишь просуммируем те физико-химические явления, функции и факторы, которые определяют поведение черносланцевых толщ в качестве геохимических барьеров и коллекторов. Естественно, почти все из этих явлений могут пространственно сопрягаться и в синхронном, и в последовательном режимах.

1. Изменение состава порового флюида осадка (например, горизонт, где происходит сульфат-редукция).

2. Поглощающий, адсорбционный, ионнообменный “комплекс” глинистой составляющей первичного осадка.

3. Сорбция металлов на органическом веществе (ОВ), на всех стадиях, начиная с седиментогенеза.

4. Эвксинская литофация с ОВ и дисульфидами железа; ранние и последующие генерации дисульфидов на всех стадиях как кристаллофизический осадитель металлов, в особенности золота, серебра, меди, цинка, свинца [7].

5. Фильтрация растворов внутрипородных и трещинных сквозных, транспортирующих рудное вещество через контрастные литофации, например: песчаники \rightarrow известняки \rightarrow песчаники... и т.п.

6. В трещинных коллекторах, где формируются жилы выполнения, происходит активная “адиабатическая мобилизация” растворов из вмещающих пород [4].

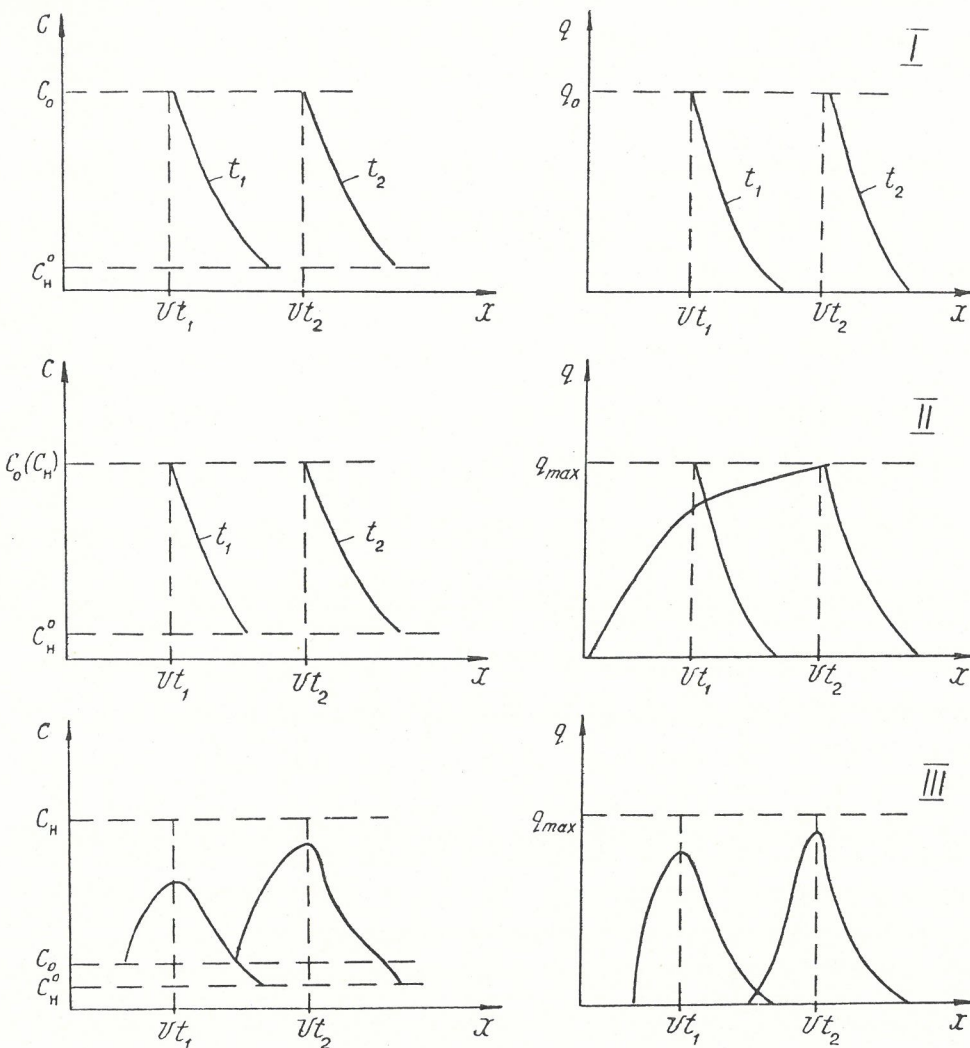
7. Захват осадочной толщей на всех стадиях ее литогенеза транзитной газово-флюидной составляющей, связанной с общей дегазацией Земли или с дегазацией зон метаморфизма и магматизма. Например, К.В.Веденполь [2] к такого рода “захваченным” элементам в осадках помимо сверхфоновых углерода, азота, хлора, брома и серы относит также кадмий, ртуть, таллий, висмут и сурьму. М.М.Константинов [15, с. 696] выделил “класс золоторудных месторождений, связанных с потоками глубинных рудоносных флюидов, формирующихся в областях, для которых магматизм нехарактерен или имеет подчиненное значение...”.

8. Динамика рудоотложения на подвижном температурном барьере [4].

9. На основе количественного рассмотрения динамики минералообразования из фильтрующихся растворов [4] на подвижных геохимических барьерах В.С.Голубев и А.А.Гариянц [3] выделили три рода таких геохимических барьеров (рисунок).

Барьер I рода: концентрирование вещества А раствора в породе происходит в соответствии со стехиомет-

* ТФ — дисперсные частицы твердых фаз.



Распределение концентраций вещества А в жидким C и твердом q состояниях по направлению фильтрации x раствора во времени t_1 и t_2 при наличии геохимических барьеров I, II и III родов, по В.С.Голубеву и А.А.Гарбянцу [3]:

C и C_H — действительная и концентрация насыщения А в фильтрующемся растворе; C_0 — начальная концентрация А в поровом растворе при $x > 0$; q_0 — начальная концентрация А в породе замещаемого минерала ВР; q_{max} — максимальная концентрация АР; V — скорость движения геохимического барьера

рией протекания реакции замещения (псевдоморфизаций) типа: $A_J + B_{RtB} = B_J + A_{RtB}$.

Барьер 2 рода: происходит концентрирование вещества в породе; оно прямо зависит от степени пересыщенностя раствора на барьере и зависит (см. рисунок) от соотношения скоростей фильтрации и движения геохимического барьера.

Барьер 3 рода: концентрирование вещества в растворе происходит как в твердом, так и в жидким состояниях.

При рудоотложении из фильтрующихся растворов на первой нестационарной стадии при подвижном барьере вся зона оруденения подвижна. При перемещении барьера происходит растворение самого первого отложений вещества (в тылу колонки) и концентрирование его на подвижном барьере. Этим обусловлено возникновение все более концентрированных растворов из первоначально разбавленных рудотранспортирующих. Это, кстати, еще один из геохимических механизмов возникновения мобилизата. В последующую стационарную стадию, когда геохимический барьер уже неподвижен (экраны разного рода), происходит локальная рудоразгрузка. Г.Л.Поспелов, В.С.Голубев и В.Н.Шарапов особо отмечали устойчивость самоорганизующегося процесса концентрирования вещества на подвижном геохимическом барьере от внешних влияний.

10. Замечательным барьером в осадочных толщах вообще, в т.ч. и черносланцевых, является граница донных осадков и водной толщи. Здесь могут разгружаться газогидротермальные источники самого разного генезиса. Этот барьер соответствует гидротермально-осадочной фации рудоотложения. Ее особенность со-

стоит в том, что источник вещества может быть эндогенным, а фация разгрузки по сути — гипергенная.

Из сказанного следует, что структура прогноза оруденения в черносланцевых геологических формациях имеет специфическую особенность. Она обусловлена не только тем, что прогноз основан на сложном, поливариантном отношении [18, 19] оруденения с ГФ (табл. 4), но и тем, что собственные рудогенерирующие геохимические процессы напрямую связаны со степенью эволюционной зрелости самой ГФ, т.е. с полностью ее онтогенеза.

В табл. 4 (IV и V типы металлогенических формаций) показано, что черносланцевые ГФ реализуются в отношении оруденения универсально: они могут быть раздельно и совместно рудовмещающими, рудоносными и рудогенерирующими.

Уже то обстоятельство, что проявление барьерных функций не является вероятностно-обязательным, а зависит от конкретной геологической ситуации во вмещающем блоке земной коры, свидетельствует о существенной доле *нелинейных связей* тела черносланцевой ГФ с наложенной рудоносностью. В этом отношении положительный прогноз оруденения дается по наличию во вмещающем ГФ блоке магматогенных и метаморфических факторов, функционирующих после или в периоде возникновения тела ГФ.

Поэтому комплексный прогноз рудоносности распадается как бы на два "автономных" вероятностно-логических направления: 1) где суммируются геолого-геохимические критерии, связанные *напрямую* с саморазвитием, онтогенезом тела конкретной черносланцевой формации, например: геохимическая специализация на

4. Взаимоотношение оруденения с геологическими формациями, по А.И.Кривцову [18]

Типы металлогенических формаций по соотношению геологических формаций и их роли в рудогенезе	Типы геологических формаций по установленной и предполагаемой роли в рудогенезе				Примеры месторождений
	Рудовмещающие, РВФ	Рудоносные, РНФ	Рудогенерирующие, РГФ	Рудообразующие, РОФ	
I. РВФ+РГФ	C		T+B+Э		Жильные и скарновые
II. РВФ=РНФ		C+T+B			Медистые песчаники и сланцы; свинцово-цинковые в карбонатных толщах; колчеданное семейство
III. РВФ=РНФ=РГФ		C+T+B+Э			Никелевые и медно-никелевые; хромитовые, титаномагнетитовые магматические: пегматитовые
IV. (РВФ=РНФ)+РОФ	C+T+B			T+Э	Сканированные и регенерированные стартiformные: метаморфотенно-гидротермальные: метаморфизованных металлоносных черносланцевых толщ
V. (РВФ=РНФ)+(РОФ=РГФ)	C+T+B		T+B+Э		
VI. РВФ+(РВФ=РНФ=РГФ)	C		C+T+B+Э		Грейзеновые; молибден- и молибден-медно-порфировые

П р и м е ч а н и е : С — среда рудонакопления, Т — источник транспортирующих агентов, В — источник рудного вещества, Э — источник энергии при рудообразовании.

мышьяк, серу, ОВ, золото, цинк, медь и другие элементы, полнота прохождения стадий литогенеза, наличие продуктивных лиофаций типа эвксинской, распространение вкрапленной сульфидной минерализации и т.п.; 2) в котором суммируются потенциальные, но нелинейно реализуемые барьерные функции тела черносланцевой ГФ.

Автор благодарит профессора Г.В.Ручкина за доброжелательный разбор статьи и полезные советы, которые были учтены.

СПИСОК ЛИТЕРАТУРЫ

- Артюшков Е.Б. Образование конвективных деформаций в слабо литифицированных осадочных породах // Изв. АН СССР. Серия геол. 1965. № 12. С. 15—26.
- Веденоль К.В. Накопление легко летучих элементов в осадках; дегазация при метаморфизме // I Междунар. геохим. конгресс. 1971. Т. 4. Кн. I. М., 1973. С. 90—99.
- Голубев В.С., Гарибянц А.А. Динамика минералообразования — методы и задачи исследований, интерпретация результатов // Динамические модели физической геохимии. Новосибирск, 1982. С. 4—9.
- Голубев В.С., Шаратов В.Н. Динамика эндогенного рудообразования. — М.: Недра, 1974.
- Грамберг И.С. Основные направления диагенетического преобразования поровых вод и поглощенного комплекса морских глинистых отложений // Физические и химические процессы и фации. М., 1968. С. 106—112.
- Жабин А.Г. Диагенетическое сульфидонакопление в аргиллитовой юре Кавказа как предистория колчеданного рудообразования // АН СССР. 1976. Т. 288. № 2. С. 445—448.
- Жабин А.Г., Кременецкий А.А. Рудоконцентрирующий геохимический барьер как функция пирит-пирротинового превращения // Отечественная геология. 1993. № 1. С. 71—80.
- Жабин А.Г., Самсонова Н.С., Абесадзе Г.Н. Золотоносные диагенетические пиритовые конкреции // Литология и полезн. ископ. 1993. № 4. С. 117—120.
- Жабин А.Г., Самсонова Н.С., Косавец Ю.Г. Платиноиды и золото в диагенетических пиритовых конкрециях юрских сланцев на южном склоне Центрального Кавказа // Разведка и охрана недр. 1992. № 2. С. 2—3.
- Жабин А.Г., Самсонова Н.С., Чичуа И.Б. и др. Арсенопирит и пирит как концентраторы золота в черных сланцах южного
- склона Большого Кавказа (Грузия) // Изв. АН СССР. Серия геолог. 1991. № 6. С. 102—113.
- Жабин А.Г., Самсонова Н.С., Чичуа И.Б. и др. Метаморфическая эволюция гидротермально-осадочных геохимических аномалий // Литология и полезн. ископ. 1991. № 3. С. 107—121.
- Жабин А.Г., Чичуа И.Б., Ярошевич В.З. Диагностические признаки метаморфогенных жил // Записки минералог. об-ва. 1991. № 4. С. 21—33.
- Зверев В.П. Кинетика взаимодействия воды и породы на основных этапах осадочного процесса // Изв. АН СССР. Серия геолог. 1992. № 2. С. 105—113.
- Киссин И.Г., Пахомов С.И. Об основных направлениях метаморфизации подземных вод под влиянием высоких температур (по экспериментальным данным) // Изв. АН СССР. Серия геолог. 1970. № 12. С. 74—89.
- Константинов М.М. Генетические системы золоторудных месторождений // Докл. АН СССР. 1984. Т. 275. № 3. С. 696—699.
- Котина Р.П., Швецов П.Ф. Формирование автономной рудогенерирующей структуры на стадии метагенеза // Докл. АН СССР. 1988. Т. 302. № 2. С. 236—239.
- Котина Р.П., Митлин В.С. Количественная оценка термических эффектов процесса дифференциации вещества на стадии метагенеза // Изв. вузов. Геология и разведка. 1990. № 3. С. 56—64.
- Кривцов А.И. Принципы классификации геологических формаций по их роли в рудогенезе // Геология рудных месторождений. 1964. № 1. С. 67—71.
- Кривцов А.И. Прикладная металлогенетика. — М.: Недра, 1989.
- Ляхов Н.З., Болдырев В.В. Механохимия георганических веществ // Изв. Сибирь, отд. АН СССР. Серия химич. наук. 1983. № 12. Вып. 5. С. 3—8.
- Овчинников Л.Н. Образование рудных месторождений. — М.: Недра, 1988.
- Овчинников Л.Н. Прикладная геохимия. — М.: Недра, 1990.
- Перельман А.И. Геохимия. — М.: Высшая школа, 1979.
- Сухарев Г.М., Власова С.П., Парануха Ю.К. Геотермическая характеристика и теплофизические параметры мезо-кайнозойских отложений Большого Кавказа и Предкавказья // Физико-механические свойства горных пород верхней части земной коры. М., 1968. С. 82—85.
- Холдов В.Н. Постседиментационные преобразования в элизионных бассейнах (на примере Восточного Предкавказья). — М.: Наука, 1963.

Принята редакцией 26 ноября 1996 г.

Геофизика и глубинное строение

УДК 551.24

© Г.А.Масляев, 1997

Геологическая природа геофизических аномалий Балтийского щита

Г.А.МАСЛЯЕВ (ВНИИгеофизика)

Геофизические аномалии Балтийского щита представляют большой интерес для изучения взаимосвязи с геодинамикой щита. Наиболее интенсивная геодинамическая активность Балтийского щита отмечалась в каледонский и герцинский этапы тектогенеза и выражалась в значительных проявлениях платформенного магматизма. В настоящее время геодинамика щита фиксируется по ряду геолого-геофизических параметров.

Балтийский щит по геологическому строению верхней части консолидированной земной коры близок к Украинскому массиву [7]. Однако в геофизическом отношении он является своеобразным тектоническим элементом, отличающимся по многим упругим, магнитным и гравитационным параметрам не только от Украинского массива, но и от других структурных элементов консолидированной земной коры Русской платформы.

По данным глубинных сейсмических зондирований (ГСЗ), толщина земной коры в пределах Балтийского щита изменяется от 55 км (центральная часть) до 35 км (периферия). При этом, по В.В.Белоусову и Н.И.Павленковой [2], области максимальной толщины земной коры отвечают наиболее высокоскоростной (средняя скорость продольных волн более 6,5 км/с) ее тип. Этот высокоскоростной тип земной коры, как и для Воронежского массива, обусловлен увеличенной толщиной ее нижней части со средней скоростью продольных волн 6,7–7,4 км/с. В строении коры щита отмечаются слои, характеризующиеся пониженной скоростью продольных волн. Эти слои однако имеют относительно малую толщину, располагаются на различной глубине и прерывисты по простирианию. Кроме того, в толще коры прослеживаются тонкие, не более 2 км, слои, которым свойственны относительно высокие скорости сейсмических волн. В некоторых частях Балтийского щита обнаружен переходный слой от коры к верхней мантии, достигающий толщины 8–10 км и имеющий переменный градиент скорости по вертикали разреза литосферы [3, 8]. Границные скорости вдоль поверхности Мохоровичча (М) изменяются от 7,9 до 8,3 км/с.

Наиболее неопределенны выводы об упругих свойствах верхней мантии [3, 8, 11]. Особенно это касается вопроса об обоснованности выделения, глубины залегания и толщины астеносферного слоя (волновода). Однако решение вопроса о наличии достаточно мощного и пластичного астеносферного слоя имеет принципиальное значение для выяснения геологической природы геофизических аномалий Балтийского щита.

По результатам обобщения данных ГСЗ было установлено, что строение литосферы Балтийского щита до глубины 80 км однородное, а до глубины 300 км характеризуется чередованием слоев с относительно пониженными и повышенными скоростями продольных сейсмических волн. Данные наблюдений по наиболее представительному профилю ГСЗ "Феннолора", расположенному вдоль западного побережья Ботнического залива, позволили выделить на глубине 220–230 км кровлю горизонта, которому свойственно понижение скорости продольных сейсмических волн с 8,8 до 8,5 км/с [4, с. 71]. Нижняя граница этого сейсмическо-

го горизонта в центральной части Балтийского щита отбивается на глубине 300 км по повышению скорости продольных сейсмических волн до 9 км/с. Этот сейсмический горизонт условно был принят за астеносферу [4, 9]. Таким образом, под Балтийским щитом астеносфера имеет относительно небольшую толщину (70–80 км). Кровля астеносферы от центральной части щита воздымается в южном направлении с глубины 230 до 130 км.

Результаты изучения характера дисперсии поверхностных сейсмологических волн Релея [11, с. 19–35] свидетельствуют о наличии по периферии Балтийского щита на глубине до 110 км маломощного слоя с относительно пониженной скоростью. Его кровля была отождествлена с подошвой литосферы [11]. В центральной части щита слой пониженной скорости волн Релея прослежен уже на глубине 170 км (рис. 1), что фиксирует увеличение толщины литосферы более чем на 60 км. Примечательно, что оси овальных аномалий увеличенной толщины литосферы Балтийского щита, выявленных как по ГСЗ, так и по дисперсии поверхностных волн Релея, совпадают с ориентировкой Ботнического залива.

Судя по значению невязок (в процентах) по отношению к абсолютной величине волн Релея [11, с. 1–17], до глубины 300 км от раздела М для центральной части Балтийского щита свойственны повышенные скорости этих волн (невязка более +2 %), а по периферии они понижаются (невязка –1–2 %). Ось положительной аномалии волн Релея ориентирована в основном также вдоль Ботнического залива. По Л.П.Виннику, В.С.Рябому, Л.Н.Старобинец, А.В.Егоркину и Н.И.Чернышеву (1978), в разрезе литосферы Балтийского щита по Р-волнам отмечается понижение скорости этих волн на глубинах до 100 км от поверхности земли, что отличает строение литосферы щита от других структур Русской платформы, а также указывает на относительно повышенную геодинамику щита и разуплотнение верхней мантии. В целом в литосфере Балтийского щита установлено чередование слоев (до 7) с пониженной скоростью продольных волн [4, 9]. Имеющиеся геоэлектрические данные [4, 9] также не позволяют уверенно выделить в мантии щита достаточно мощный электропроводящий слой, который можно было бы отождествить с астеносферой.

Таким образом, данные ГСЗ, результаты анализа Р-волн и электропроводности, полученные после исследований А.С.Алексеева, Л.Л.Ваньина, М.Н.Бердичевского, А.В.Николаева, Б.А.Окулесского и В.З.Рябого (1977), не опровергают их вывод об отсутствии в мантии Балтийского щита астеносферы, если под последней понимать слой в основании верхней мантии, характеризующийся пониженной скоростью продольных и поперечных сейсмических волн и находящийся частично в расплавленном или аморфном состоянии.

По потенциальным геофизическим параметрам Балтийский щит существенно отличается от других структур земной коры Русской платформы. Наиболее значительной геофизической особенностью щита, выявленной на начальных этапах его изучения, следует считать приуроченность к нему отрицательной изостатической аномалии [1, 3, 8], максимальное значение которой

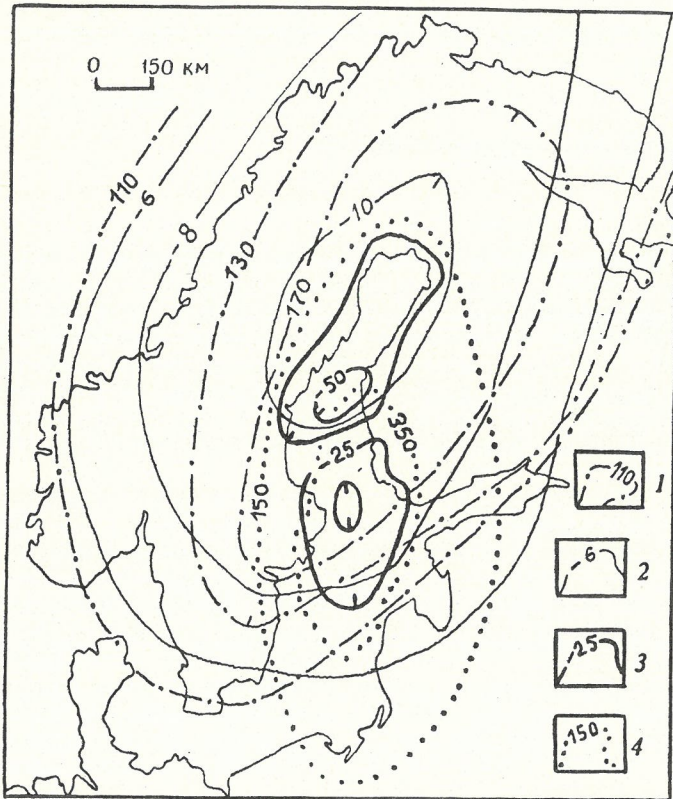


Рис. 1. Некоторые геофизические характеристики Балтийского щита:

1 — толщина литосферы по данным о дисперсии Р-волн в км, 1982 [11, с. 19–35]; 2 — уклоны высот геоида в м, 1982 [11, с. 57–76]; 3 — изостатические аномалии (редукция Эри, $T = 30$ км) в мгал, 1966 [1, с. 28]; 4 — мощность эквивалентного слоя мантии при плотности -1 в м, 1971 [8, с. 72]

(более 50 мгл) приходится на акваторию Ботнического залива. Кроме того, на основании осреднения изостатических аномалий и расчетов низкочастотной их слагающей М.Е.Артемьев [8] сделал вывод о том, что зональная изостатическая аномалия Балтийского щита обусловлена влиянием глубокозалегающей плотностной неоднородностью мантии. При этом контур мантийной аномалии ориентирован вдоль оси Ботнического залива. Ареалы отрицательной изостатической и глубинной мантийной аномалий хорошо согласуются с таковой уклонения высоты геоида в пределах Балтийского щита [11, с. 57–76], достигающего -10 м. Следует еще раз обратить внимание на то, что оси всех геофизических аномалий (волны Релея, изостазии, плотностной неоднородности верхней мантии, уклонения геоида) имеют ориентировку, согласную с очертаниями Ботнического залива (см. рис. 1).

Помимо отмеченных геофизических аномалий, не менее представительны и другие зональные глубинные гравитационные аномалии (рис. 2). Характерно, что уже на первых этапах редукции наблюденного гравитационного поля было установлено, что Балтийский щит — единственный тектонический элемент Русской платформы, которому, по расчетам Н.П.Лопатиной [8], отвечает значительная отрицательная плотностная мантийная аномалия. Показательно, что в дальнейшем отрицательные глубинные гравитационные мантийные аномалии в пределах щита были также выявлены, но путем использования при трансформации наблюденного гравитационного поля более современных методик (см. рис. 2), а также по данным, полученным с помощью дистанционных (спутниковых) методов измерения гравитации Земли (аномалии с исключением влияния

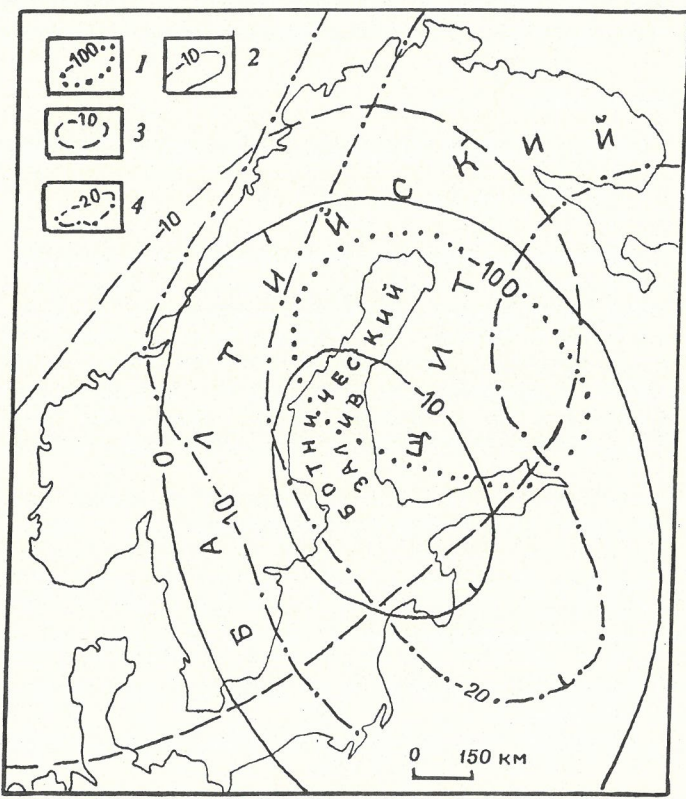


Рис. 2. Зональные глубинные гравитационные аномалии Балтийского щита:

1 — аномалия, обусловленная плотностной неоднородностью верхней мантии, мгл, в 1968 [8, с. 139]; 2 — гравитационная аномалия в свободном воздухе (модель PGS-100, соответствует разложению поля силы тяжести по сферическим функциям до 30 степени и порядка) в мгл, 1976 [3, с. 21]; 3 — остаточная аномалия силы тяжести, полученная при разложении в ряд потенциала силы тяжести (гармоники от 8 до 18 порядка) в мгл, 1979 [3, с. 15]; 4 — чистые аномалии силы притяжения, вычисленные по модели GEM-10B (по 36 гармоникам) в мгл, 1987 [6, с. 1086]

21 источника в нижней мантии и аномалии вертикального градиента силы притяжения) [10].

Отрицательные зональные гравитационные аномалии, полученные путем различных редукций наблюденного поля, а также с помощью дистанционных методов исследований, обусловлены физико-химической и гравитационной дифференциацией вещества мантии, приведшей ее к разуплотнению и геодинамической активности. Породы консолидированной земной коры Балтийского щита, судя по их упругим и плотностным свойствам, не могут создать значительных зональных отрицательных гравитационных аномалий. Мантийные массы, обуславливающие эти отрицательные зональные гравитационные аномалии, располагаются на различной глубине, включая, вероятно, и часть нижней мантии.

Таким образом, факт соответствия Балтийскому щиту глубинных мантийных отрицательных гравитационных аномалий не вызывает сомнений.

Приведенные данные о геофизических характеристиках Балтийского щита свидетельствуют о том, что часть его литосферы, отвечающая акватории Ботнического залива, является аномальной. При этом как отрицательные глубинные гравитационные аномалии, так и данные по упругим и геоэлектрическим свойствам указывают на разуплотненность и геодинамическую активность верхней и частично нижней мантии.

Геологическая природа геофизических аномалий Балтийского щита обычно рассматривается в связи с

объяснением причины возникновения отрицательной изостатической аномалии, которая была выявлена в то время, когда данные о других геофизических параметрах щита не были известны. Появление отрицательной изостатической аномалии, как правило, связывается с восходящими движениями земной коры, вызванными таянием ледникового покрова [1, 3, 6, 7 и др.].

При геологической интерпретации изостатических аномалий всегда необходимо иметь в виду, что расчеты изостатического состояния и связанного с ним движения земной коры по широко используемым моделям Эри или Пратта первоначально обосновывались на предположении о залегании консолидированной земной коры на маловязкой или даже жидкой мантии. В дальнейшем, когда по сейсмическим данным было установлено, что верхняя мантия в геофизическом отношении находится главным образом в состоянии твердого вещества, уровень изостатической компенсации (Баррель, Боуи, Виллис и др.) был перенесен в основание верхней мантии (астеносферу).

Постгляциальное изостатическое "всплытие" земной коры Балтийского щита и тем самым гляциальная природа изостатической аномалии щита ранее опровергались А.Д.Архангельским (1933), Е.Н.Люстиком (1957) и другими на основании данных по палеотектонике древних щитов как районов устойчивых поднятий, результатов сравнительного анализа изостатических аномалий со структурами платформ, слабой реологии астеносферы.

Вывод Е.Н.Люстикова (1957) об эндогенной природе изостатических аномалий и голоценового поднятия Балтийского щита был отвергнут Е.В.Артюшковым (1966), поскольку Е.Н.Люстих не учел, что на начальных стадиях постгляциального воздымания щита скорости его движения на порядок превосходили характерные для платформ скорости тектонических движений. Однако такая аргументация мало убедительна, т.к. скорости тектонических движений активизированных частей платформ были еще больше, чем на начальных постгляциальных стадиях поднятия щита. Принимая гляциальную природу изостатической аномалии, М.Е.Артемьев и Е.В.Артюшков (1966, 1967) рассчитали гипотетическую вязкость и толщину пластического слоя (астеносферы), необходимые для возникновения гляциоизостазии Балтийского щита. Для изостатических движений, судя по их расчетам, требуется наличие в мантии астеносферного слоя (волновода) с вязкостью до 10^{23} пуз., подошва которого располагалась бы на глубине порядка 200 км при толщине слоя 120–150 км. Приведенные результаты сейсмических и сейсмологических (ГСЗ и Р-волны) исследований, а также данные по электропроводности литосфера Балтийского щита свидетельствуют об отсутствии такого мощного астеносферного слоя, который способствовал бы оттоку мантийного вещества при нагрузке ледника и возникновению быстрых изостатических постледниковых поднятий земной коры щита. При этом полученные по новейшей расчетной модели значения возможной вязкости литосферы щита также не могут являться основой для объяснения гляциоизостатических вертикальных движений земной коры щита [4, 9]. Поэтому, признавая отсутствие пластического мантийного слоя (астеносферы) под Балтийским щитом, И.А.Резанов, А.Ш.Файтельсон и Г.В.Краснопевцева (1984) предлагаемую гляциоизостазию были вынуждены объяснять, но еще менее убедительно, если учесть результаты бурения Кольской сверхглубокой скважины, незначительным перетеканием серпентинитов в консолидированной земной коре на глубине 15–30 км. Если изостатический механизм постгляциальных движений коры Балтийского щита осуществлялся в консолидированной земной коре на глубинах 15–30 км, то геологичес-

скую природу мантийных геофизических аномалий, тем более, нельзя обусловливать гляциальными причинами.

Выявленное линзовидное утолщение литосферы под центральной частью Балтийского щита (более 60 км, по результатам изучения Р-волн, и до 100 км, по ГСЗ) противоречит гляциоизостатическому механизму воздымания щита и гляциальной природе изостатической аномалии.

Таким образом, сейсмические (ГСЗ), сейсмологические (Р-волны) и геоэлектрические данные (отсутствие в литосфере необходимого по толщине и вязкости астеносферного слоя, а также линзовидное утолщение литосферы) дают основание утверждать, что возникновение изостатической и других геофизических аномалий не следует связывать с постгляциальной разгрузкой Балтийского щита, т.е. с экзогенной причиной.

Имеющееся в настоящее время значительное количество геолого-геофизических данных позволяет достаточно обоснованно объяснять как изостатическую, так и другие геофизические аномалии (геоида, мощности литосферы, глубинные отрицательные гравитационные) Балтийского щита (см. рис. 1, 2) эндогенными причинами. Так, В.В.Белоусов (1958), А.А.Борисов (1964) и другие исследователи по результатам изучения неотектоники Балтийского щита пришли к выводу о том, что голоценовые поднятия были вызваны не постгляциальной разгрузкой щита, т.е. экзогенными причинами, а тектоническими процессами. При этом необходимо отметить, что изостатическое поднятие коры щита объяснялось без учета дифференцированного характера ее восходящих движений, которые рассматривались в виде единого, без прогибаний, сводового воздымания. Это достаточно хорошо выражено на составленных Де Гером (1912), Хёгбомом (1913), Борном (1923), Сауром (1958), Фроммом (1963) и другими картах постгляциальных поднятий Балтийского щита. Однако на фоне общего сводового голоценового поднятия щита контрастно выделяется неотектоническая котловина Ботнического залива. При объяснении геологической природы изостатической аномалии этот принципиальный факт не учитывался.

В геотектоническом отношении котловина Ботнического залива представляет собой регенерированный авлакоген [5]. Борта авлакогена за неотектонический этап развития земной коры приподнялись до 300 м при одновременном прогибании его днища до 150 м (Н.И.Николаев, В.И.Бабак, А.И.Медянцев, 1978). Такие неотектонические движения амплитудой до 400 м для Русской платформы аномальны. Примечательно и то, что максимальные скорости современных положительных движений Балтийского щита также приурочены к бортам Ботнического авлакогена, достигая 10 мм/год. К периферии щита скорость современных движений земной коры снижается, а знак их становится отрицательным. Современные движения коры неравномерны во времени, а периодам наибольшей скорости блоковых подвижек коры свойственна повышенная сейсмичность. Эта особенность блоковых движений коры обусловлена геодинамикой, а не изостатическими движениями.

На геодинамическую активность Ботнического авлакогена указывает также относительная аномалия теплового потока, превышающая фон на 15–20 мВт/м² и ориентированная вдоль оси авлакогена. В этом отношении показателен и вывод Е.Е.Милановского (1987) о том, что существенное возрастание геотермического градиента по разрезу Кольской сверхглубокой скважины с глубины 8 км от 15 до 25 °C/км свидетельствует об усилении теплового потока в новейший этап тектогенеза Балтийского щита, идущего из мантии. В связи с этим следует отметить, что Т.П.Егоровой, В.Г.Козленко, Н.И.Павленковой и В.И.Старostenко (1992) Бал-

тийский щит отнесен к активизированному ("разогретому") типу литосферы, как и литосфера Западной Европы, а остальная часть литосферы Русской платформы — к "холодному".

Активная современная геодинамика Ботнического авлакогена проявляется и в особенностях концентрации эпицентров землетрясений. Так, ареалы аномальной плотности эпицентров землетрясений внутренней части Балтийского щита совпадают с бортами Ботнического авлакогена (Ю.К.Щукин, 1983). Гипоцентры большинства землетрясений расположены в земной коре; магнитуда их до 5 и более.

Безусловно, что сейсмичность и геотермические особенности Балтийского щита не связаны с гляциоизостазией, а обусловлены геодинамической активностью его литосферы. Характерно при этом, что борта Ботнического авлакогена ограничены неотектоническими разломами, тогда как древние (дофанерозойские) разломы щита, обновленные неотектоническими движениями, пересекают авлакоген с северо-запада на юго-восток. Ботнический авлакоген, как и Днепровско-Донецкий, почти вкрест простирания рассекает дорифейские структуры.

Для выяснения геологической природы геофизических аномалий, приуроченных к Ботническому авлакогену, необходимо учитывать приведенные выше геодинамические характеристики Балтийского щита (неотектоническую, современных движений, геотермическую и сейсмическую). Очень важный показатель и имеющаяся тесная взаимосвязь структуры щита с морфологией геофизических аномалий, выраженная в согласованном совпадении ориентировки осей последних с простиранием Ботнического авлакогена.

Совокупность различных геофизических аномалий (см. рис. 1, 2) и особенностей геодинамической активности, безусловно, не случайна для Балтийского щита и наиболее вероятно, что геологическая природа аномалий обусловлена теми же эндогенными процессами, которые вызвали как воздымание щита, так и формирование на фоне воздымания Ботнического авлакогена.

Согласованная ориентировка осей различных геофизических аномалий и соответствие их простиранию Ботнического авлакогена, наряду с геодинамической активностью, в некоторой степени сравнимы с особенностями геолого-геофизических характеристик Байкальского рифта. Однако в пределах Байкальского рифта геофизические аномалии и геодинамика литосферы выражены более контрастно. Различие между Байкальским рифтом и Ботническим авлакогеном по ряду геофизических и геодинамических параметров следует объяснять тем, что Байкальским рифтом — "зрелая", а Ботнический авлакоген — "молодая" структуры. Байкальская рифтовая зона начала формироваться в олигоцене, а максимальное ее развитие приходится на

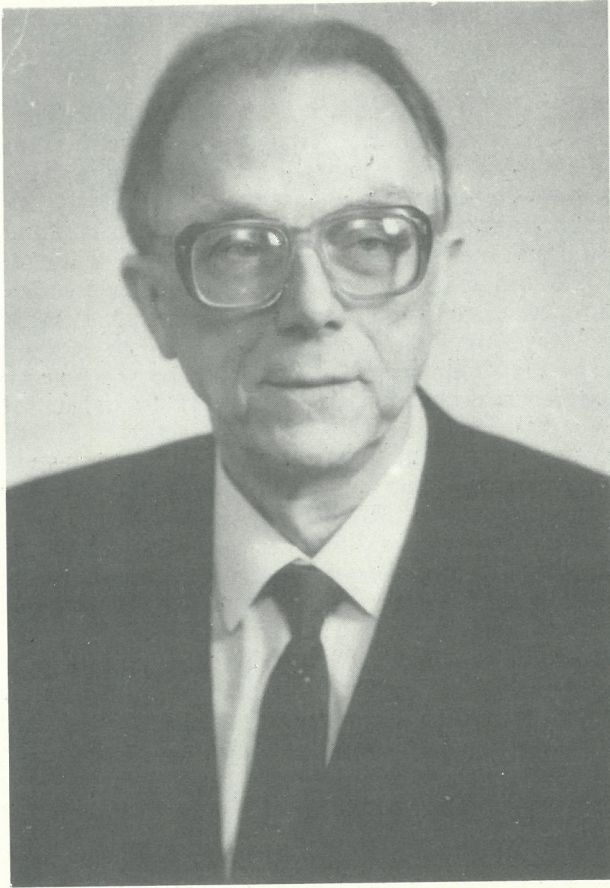
миоцен (Н.А.Логачев, Ю.А.Зорин, В.А.Рогожина, 1983). На это, в частности, косвенно указывают различия в морфоструктуре котловин Байкальского рифта и Ботнического авлакогена. Так, котловина Байкальского рифта заполнена осадочными толщами — олигоцен-нижнеплиоценовой мощностью 2—5 км и средне-плиоцен-плейстоценовой мощностью до 1 км, тогда как в котловине Ботнического авлакогена развиты относительно маломощные толщи плейстоцена. О зрелой стадии развития Байкальской рифтовой зоны свидетельствуют и геохимические показатели глубинного магматизма.

Приведенные данные о связи геофизических аномалий Балтийского щита с новейшими проявлениями эндогенных процессов полностью согласуются с теоретическими выводами А.А.Борисова (1964) о том, что глубинные гравитационные аномалии обусловлены характером и направлением современных физико-химических процессов в недрах Земли, которые, в частности, выражаются в изменении объема и плотности верхней мантии и проявляются на поверхности формами рельефа ее твердой оболочки. В этом отношении формирование в новейшее время Ботнического авлакогена является поверхностным проявлением геодинамических процессов, вызванных физико-химической и гравитационной дифференциацией верхней мантии и фиксируемых в виде различных геофизических аномалий, в т.ч. и изостатической аномалией.

СПИСОК ЛИТЕРАТУРЫ

1. Артемьев М.Е. Изостатические аномалии силы тяжести и некоторые вопросы их геологического истолкования. — М.: Наука, 1966.
2. Белоусов В.В., Павленкова Н.И. Типы земной коры Европы и Северной Атлантики // Геотектоника. 1989. № 3. С. 3—14.
3. Гравитационная модель коры и верхней мантии Земли. — Киев: Наукова думка, 1979.
4. Литосфера Центральной и Восточной Европы. Восточно-Европейская платформа. — Киев: Наукова думка, 1989.
5. Милановский Е.Е. Рифтогенез в истории Земли (рифтогенез на древних платформах). — М.: Недра, 1983.
6. Новые данные о связи фигуры Земли с древними оледенениями / Ю.А.Тараканов, М.Г.Гросвальд, Н.Ш.Камбаров, В.А.Приходько // Докл. АН СССР. 1987. Т. 295. № 5. С. 1084—1089.
7. Русская платформа / Под ред. В.Д.Наливкина, К.Э.Якобсона. — Л.: Недра, 1985.
8. Связь поверхностных структур земной коры с глубинными. — Киев: Наукова думка, 1971.
9. Строение литосферы Балтийского щита. — М.: Изд-во Нац. геофиз. комитета РАН, 1993.
10. Тараканов Ю.А. Плотностные неоднородности верхней мантии по спутниковым методам измерений гравитационного поля // Глубинное строение слабосейсмических регионов СССР. М., 1987. С. 129—136.
11. Tectonophysics. 1982. Vol. 90. № 1. P. 1—35, 57—76.

75-летие Игоря Сергеевича Грамберга



Исполнилось 75 лет со дня рождения и 55 лет творческой деятельности ведущего ученого нашей страны в области геологии и минерагении Мирового океана, действительного члена Российской академии наук, профессора Игоря Сергеевича Грамберга.

Июны 1941 г. И.С.Грамберг встретил солдатом особого студенческого добровольческого батальона. Четыре месяца тяжелых боев, серьезное ранение... После полугодового лечения в госпитале весной 1942 г. И.С.Грамберг начал геологическую деятельность со скромной должности коллектора геологоразведочной партии на Урале.

После окончания Ленинградского горного института в 1949 г. молодой специалист И.С.Грамберг пришел в НИИ геологии Арктики (ныне ВНИИокеангеология), с которым и связал все свои последующие жизненные и научные интересы.

Первые экспедиции Игоря Сергеевича — на Анабар, Таймыр, Верхоянье — ярки не только полярной экзотикой, сколько глубиной исследовательской мысли. Уже к началу 60-х годов И.С.Грамберг известен в стране и за рубежом как крупный специалист по стратиграфии, литологии, геохимии осадочных толщ севера Сибири, автор пяти монографий и множества статей, вклад которого есть и в открытии норильского газа, и в проблеме нетегазоносности Западной Сибири, и в будущей нефти Восточной Сибири. Широкое развитие в геологической практике получил предложенный И.С.Грамбергом и Н.С.Спиро метод палеогидрохимических реконструкций по поглощенным катионам, а на таких фундаментальных трудах, как "Палеогеография центральной части Советской Арктики" воспитывалось целое поколение полярных геологов.

В 1967 г., задолго до широкого разворота морской нефтегазодобычи, была составлена первая карта перспектив нефтегазоносности арктического шельфа СССР. Научный интерес И.С.Грамберга как геолога-нефтяника естественно обратился от арктической суши к шельфу и далее — к Северному Ледовитому океану.

Когда в начале 70-х годов создавалось объединение "Севморгеология" — принципиально новый научно-производственный комплекс по работам на нефть и газ на шельфе, — возглавить это объединение (и одновременно институт) было поручено И.С.Грамбергу. Объединением совместно с родственными предприятиями топливно-энергетических ведомств в кратчайшие сроки был заложен фундамент морской нефтяной отрасли — нового многообещающего направления народного хозяйства. Этот успех был достигнут во многом благодаря организаторской активности И.С.Грамберга.

Большие усилия И.С.Грамберг отдает комплексному геолого-геофизическому изучению глубоководной области Северного Ледовитого океана, справедливо рассматривая его как важный резерв минерального сырья в будущем и как район, где концентрируются стратегические и geopolитические интересы России сегодня.

За успехи в изучении геологии и ресурсного потенциала Арктического бассейна И.С.Грамберг дважды (в 1983 и 1995 гг.) удостоен Государственной премии.

С именем И.С.Грамберга во многом связано становление минерагении Мирового океана. Как руководитель с острым чувством нового И.С.Грамберг своевременно осознал роль Мирового океана в обеспечении минеральным сырьем будущих поколений человечества. Ему выпала счастливая судьба быть одним из первых среди группы лидеров нашей геологии, чьими усилиями и энтузиазмом была быстро создана эффективная, мощная морская и океанская геологическая служба Министерства геологии СССР.

Трудно даже просто перечислить направления исследований И.С.Грамберга. В их числе сравнительный анализ эволюции океанов Земли; геохимия водной толщи и осадочного чехла океана; газовые гидраты как геологический феномен и как энергетическое сырье будущего и многие другие.

Глубина и масштабность исследований принесли И.С.Грамбергу признание научной общественности. В 1979 г. И.С.Грамберг избран членом-корреспондентом, а в 1985 г. — действительным членом Российской академии наук. В течение многих лет он является членом бюро отделения геологии, геофизики, геохимии и горных наук РАН, членом президиума Северо-Западного научного центра РАН, президентом научно-технического геологического общества; он представляет Россию в Международном арктическом научном комитете в Совете МАНК.

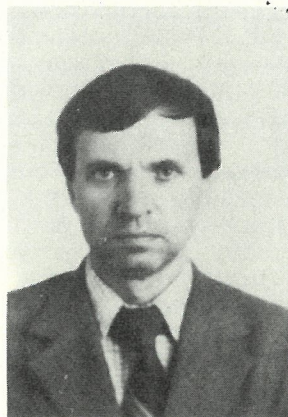
И.С.Грамберг награжден двумя орденами Трудового Красного Знамени, медалями за боевые и трудовые заслуги.

В трудной экономической обстановке последних лет И.С.Грамбергу удалось сохранить трудоспособный коллектив ВНИИокеангеология и обеспечить его стабильное функционирование.

Игорь Сергеевич встречает свой юбилей в расцвете творческих планов, успешной реализации которых ему желают коллеги, соратники и многочисленные ученики и последователи.

Коллегия МПР РФ
Отделение ГГГН РАН
Ученый Совет ВНИИокеангеология
Редколлегия журнала

60-летие Евгения Ивановича Филатова



8 июня 1997 г. исполнилось 60 лет со дня рождения Е.И.Филатова — доктора геолого-минералогических наук, профессора, действительного члена МАМР, заместителя директора ИМГРЭ. Он известен как крупный специалист в области геологии месторождений полезных ископаемых, геохимии и металлогении. Результаты исследования им закономерностей формирования полигенных полиметаллических месторождений в геодинамических структурах земной коры, эволюции рудообразования, формационного анализа рудных месторождений, вклад в разработку прогнозно-поисковых комплексов и многоцелевое геохимическое картирование имеют важное народнохозяйственное значение. Многое сделано Е.И.Филатовым в разработке и внедрении прогрессивных технологий прогноза, поисков, оценок месторождений цветных и благородных металлов и экологического состояния геологической среды. При реализации этих технологий в Восточном Забайкалье и на Рудном Алтае были выявлены новые рудоносные площади, месторождения и рудные залежи,

а для Кольского полуострова, Алтайского края, Прибайкалья, Забайкалья и Приморья осуществлены оценки природно-металлогенического потенциала и экологического состояния окружающей среды. Результаты исследований, проводившиеся Е.И.Филатовым в течение почти 20 лет в ЦНИГРИ, а затем с 1986 г. в ИМГРЭ, легли в основу монографических изданий и методических руководств: опубликовано более 200 работ, в том числе 10 книг, среди которых выделяются “Справочник по поискам и разведке месторождений цветных металлов” (1985), “Полиметаллические месторождения фанерозоя” (1986), “Формационный анализ рудных месторождений” (1988), серия работ по многоцелевому картированию территории России (1991—1996). Научно-методические основы прогноза, поисков и оценок месторождений, рудных районов, металлогенических зон, заложенные им в этих работах, реализуются в геологоразведочной практике и при подготовке специалистов.

Е.И.Филатов ведет большую научно-организационную и научно-педагогическую работу, является научным руководителем федеральной программы “Геохимическая карта России”, членом экспертного совета ВАК по наукам о Земле, специализированных советов ИМГРЭ и ЦНИГРИ по защитам докторских и кандидатских диссертаций. Е.И.Филатов создал новые курсы “Основы металлогенетики и структуры рудных полей” и “Основы учения о полезных ископаемых”, которые читает с 1989 г. в Российском университете дружбы народов. Им подготовлено несколько кандидатов геолого-минералогических наук, магистров и бакалавров.

Друзья и коллеги тепло поздравляют Евгения Ивановича с юбилеем и желают ему новых успехов, здоровья и счастья.

*Ученые советы ИМГРЭ, ЦНИГРИ
Редакция журнала*

Международные, всероссийские и региональные научные и научно-технические выставки, конференции, симпозиумы, совещания и семинары, планируемые организациями и предприятиями Министерства природных ресурсов Российской Федерации в 1997 г.

Тема	Место проведения, организации, ответственные за проведение	Время проведения	Министерства, ведомства и организации, участвующие в работе
Выставки			
Международная геофизическая конференция и выставка "Москва-97"	Москва, ВНИИГеофизика, ГНПП "Аэрогеофизика"	Сентябрь	Минтопэнерго России, ЕАГО, РАН
Международная выставка "Нефть и газ шельфовой зоны СНГ"	Санкт-Петербург, ВСЕГЕИ	Сентябрь	Минтопэнерго России, РАО "Газпром"
Международный симпозиум и выставка "Чистая вода России-97"	г. Екатеринбург, РосНИИВХ	Ноябрь	УрО РАН, Правительство Свердловской области
Конференции			
Состояние и развитие процесса недропользования по отрасли нефть и газ на территории Ненецкого автономного округа и Архангельской области	г. Архангельск, Североэолком, ГП "Архангельскгеодобыча"	Июнь	Минтопэнерго России, РАО "Газпром"
Международная конференция "Возрождение р. Агидель"	г. Уфа, Башкирский филиал РосНИИВХ	Август	Министерство по чрезвычайным ситуациям и экологической безопасности Республики Башкортостан
100-летие государственного геологического картирования в Уральском регионе	г. Екатеринбург, Уралгеолком	Сентябрь	
Международная конференция "Спектроскопия, рентгенография и кристаллохимия минералов"	г. Казань, Татарская республиканская комиссия по запасам полезных ископаемых при Кабинете Министров Республики Татарстан	Сентябрь	
Международная конференция "Забайкалье на путях к устойчивому развитию: экология, ресурсы, управление"	г. Чита, Восточный филиал РосНИИВХ	Сентябрь	Минобразования России
Международная конференция "Стихия. Строительство. Безопасность"	г. Владивосток, соорганизатор Дальневосточный филиал РосНИИВХ	Сентябрь	Администрация г. Владивосток
Всероссийская конференция, посвященная 50-летию начала планомерных геологоразведочных работ на нефть и газ в Западно-Сибирском регионе "Западная Сибирь — крупнейшая нефтегазоносная провинция мира. Этапы открытия и освоения"	г. Тюмень, ЗапСибГРЦ	Октябрь	Минтопэнерго России, РАО "Газпром"
Геоэкологическое картирование	Москва, ВСЕГИНГЕО	Декабрь	Госкомэкология России
Симпозиумы			
2-й Международный симпозиум "Нетрадиционные источники углеводородного сырья и проблемы его освоения"	Санкт-Петербург, ВНИГРИ	июнь	Минтопэнерго России
2-й Международный симпозиум "Био- и секвенсстратиграфия нефтегазоносных бассейнов"	Санкт-Петербург, ВНИГРИ	октябрь	РАН
Международный симпозиум по прикладной геохимии стран СНГ	Москва, ИМГРЭ	октябрь	РАН
Минерально-сырьевые ресурсы стран СНГ	Санкт-Петербург, ВСЕГЕИ	октябрь	Минтопэнерго России, РАН

Тема	Место проведения, организации, ответственные за проведение	Время проведения	Министерства, ведомства и организации, участвующие в работе
<i>Совещания</i>			
Геодинамический анализ осадочных бассейнов и стратегия поисковых работ на нефть и газ в XXI в.	Санкт-Петербург, ГНПП "Геологоразведка"	Июнь	Минтопэнерго России, РАО "Газпром"
Межрегиональное Сибирское совещание по проблемам серийных легенд к Госгеолкарте-200	г. Иркутск, ВостСибНИИГиМС	Июнь	
Республиканское совещание с недропользователями и геологическими организациями Республики Хакасия о формировании планов и направлений работ на 1998 г.	г. Абакан, Хакасгеолком	Июль	
Международное совещание "Геология и стратиграфия нижнего палеозоя территории стран Северо-Западной Европы"	Санкт-Петербург, ВСЕГЕИ	Август	РАН
Организация и содержание работ по созданию третьего поколения Государственной геологической карты масштаба 1:1 000 000 территории суши и континентального шельфа Российской Федерации	Санкт-Петербург , ВСЕГЕИ	Сентябрь	
6-е Уральское петрографическое совещание	г. Екатеринбург, соорганизатор Уралгеолком	Сентябрь	УрО РАН
Всероссийское совещание по геологии угольных месторождений	г. Екатеринбург, Уралгеолком	Сентябрь	УрО РАН, АО "Компания Росуголь"
Всероссийское совещание "Геологическая среда и сейсмотектонические процессы"	г. Иркутск, ГГП "Иркутскгеофизика"	Сентябрь	СО РАН
XI совещание по геологии россыпей и месторождений кор выветривания	Москва, соорганизатор МПР России	Сентябрь	РАН, Научный совет по рудообразованию и металлогении
Состояние лабораторной службы в организациях МПР РФ и задачи по ее совершенствованию	Москва, ВИМС	Октябрь	
Потенциал и перспективы рудоносности чехла Восточно-Европейской (Русской) платформы	Москва, ЦНИГРИ	Октябрь	РАН
Основные направления совершенствования принципов и методов прогнозирования месторождений твердых полезных ископаемых	Москва, ВИМС	Ноябрь	РАН
Геологоразведочные работы на медно-никелевые руды: состояние и выбор перспективных направлений	г. Апатиты , Мурмангеолком	Ноябрь	
40-летие создания геологической службы Республики Бурятия	г. Улан-Удэ Бурятгеолком	Ноябрь	
<i>Семинары</i>			
Российско-Казахский семинар по геоинформационным технологиям природопользования	Москва, ВНИИгосистем	Июль	
Геолого-экологическое обеспечение реструктуризации угольной промышленности Российской Федерации	г. Ростов-на-Дону, ВНИГРИуголь	Сентябрь	Минтопэнерго России, АО "Компания Росуголь"
Международный семинар "Бассейновый программно-целевой подход к управлению устойчивым водопользованием"	г. Тюмень, РосНИИВХ	Сентябрь	Администрация Тюменской обл., Компания RIZA (Нидерланды)
Проблемы охраны труда на геологоразведочных работах	Москва, ЦНИГРИ	Октябрь	
Всероссийский семинар по компьютерной геокартографии	г. Новокузнецк, Запсибгеолсъемка	Декабрь	
<i>Прочие</i>			
IV-й Уральский горнопромышленный съезд и совещание Уральского координационного совета по геологическому изучению недр (УКСОГЕНа)	г. Уфа, Уралгеолком, Госкомгеологии Республики Башкортостан	Июнь	УрО РАН

К 300-летию геологической службы России

О чём писал наш журнал

40 лет назад Г.М.Власов обобщил материалы по истории геологического развития Камчатки и предложил ее металлогеническое районирование. В качестве ведущих металлов, определяющих ценность рудных батогатств полуострова, были названы медь, молибден и ртуть. "Геологические условия Камчатки, — отмечал Г.М.Власов — благоприятны для формирования близповерхностных золото-серебряных месторождений. Лотковое опробование могло не дать надежных результатов из-за тонкого распыления металлов в рудах". Однако имеются сведения о наличии в шлихах знаков золота и самородного серебра.

А.С.Соколов описал основные закономерности геологического строения и размещения осадочных месторождений самородной серы. Им охарактеризованы: фациально-литологические особенности сероносных толщ; состав руд; геотектонические позиции и структурные особенности месторождений; взаимоотношения месторождений серы с залежами углеводородов. Месторождения серы было рекомендовано искать "в сульфатно-карбонатных комплексах, вдоль сочленения геоструктурных поднятий с прогибами, заключающими хлоридные щелочноземельно-натриевые рассолы и скопления углеводородов".

30 лет назад В.А.Буряк, М.П.Лобанов и П.М.Хренов выступили с гипотезой метаморфогенного рудонакопления в гнейсо-сланцевых толщах Витимо-Патомского нагорья. По их наблюдениям, "значительное полиметаллическое оруденение развито только в неметаморфизованных породах, золото-колчеданное — в породах зеленосланцевой фации метаморфизма, высокотемпературное гидротермально-метасоматическое, в том числе редкометалльное — в пределах эпидот-амфиболитовой фации, палингенные пегматиты и редкометальная минерализация — в зоне амфиболитовой фации метаморфизма". Авторы предложили выделять особый класс метаморфогенно-гидротермальных месторождений, возникающих при мобилизации вещества из вмещающих пород.

И.С.Ломоносов и С.В.Лысак рассмотрели возможности утилизации термальных вод Сибирской платформы и ее горноскладчатого обрамления для отопительных и

энергетических целей и оттаивания дражных полигонов.

20 лет назад А.И.Гинзбург, И.Т.Александрова и И.В.Шманенков выдвинули новое направление минералогических исследований — технологическую минералогию, обеспечивающую взаимосвязи минералогии и технологии минерального сырья. Первостепенными задачами были обозначены: определение количественного минерального состава и выявление основных и по-путных компонентов; изучение разновидностей и генераций основных рудных минералов, отличающихся по составу и обогатимости; технологическое картирование рудных тел; сопоставление баланса распределения рудных элементов по минералам; изучение форм вхождения их в состав руд; изучение степени контрастности руд, их гранулометрического состава и степени раскрыываемости зерен; исследования зависимости технологических свойств минералов от особенностей их состава и структуры; изучение поведения минералов в технологическом процессе; изучение "отходов" производства; разработка безотходных технологий.

10 лет назад М.Б.Бородавская, Д.И.Горжеевский, М.М.Константинов, А.Г.Волчков и В.Б.Чеквашдзе рассмотрели критерии прогноза крупных месторождений цветных и благородных металлов. Прогноз крупных и уникальных месторождений должен опираться на детально разработанные типовые модели объектов, при построении которых должны учитываться специфические особенности объектов, определяемые геологическим развитием металлогенических провинций и зон, длительность процессов продуктивного магматизма и рудообразования и др.

В.Г.Белокопь проанализировал данные о битумоидах в магматических породах Колымской сверхглубокой скважины. Колымские битумоиды были сопоставлены с битумоидами нефтяных и угольных месторождений. Показано влияние окислительно-восстановительных и термобарических условий на преобразование простых молекулярных систем в более сложные по мере миграции глубинного флюида.

Материал подготовлен к публикации
М.М.Константиновым

Contents

ORGANIZATION, MANAGEMENT, ECONOMICS, SUBSURFACE USE

- Nezhensky I.A.*
The interrelation of natural and economic characteristics of raw mineral products

GEOLOGICAL MAPPING

- Burenkov E.K., Morozova I.A., Gulyaeva N.G., Golovin A.A.*
Landscape information applied to the solution of problems of regional multi-purpose geochemical mapping

METALLIC AND NONMETALLIC MINERAL DEPOSITS

- Sokolov A.S., Frolov A.A.*
History-geological relationships between apatites and phosphorites
- Prudnikov S.G.*
Formation conditions and regularities of localization of placers in the Kharal'sky gold-bearing district
- Ilupin I.P.*
Specific features of the Obnazhennaya pipe and the Kuyskoye field

GEODYNAMICS AND SEISMICITY

- Afanasyev G.V.*
The Mongolian-Transbaikalian geoblock: Riphean-Paleozoic drift of a continental plate and its consequences

LITHOLOGY, PETROLOGY, MINERALOGY, GEOCHEMISTRY

- Zhabin A.G.*
Pre-metallizing processes in black shale sedimentary formations

GEOPHYSICS AND DEPTH STRUCTURE

- Mashyaev G.A.*
Geological origins of geophysical anomalies in the Baltic shield

- 75th anniversary Igor S. Gramberg

TERCENTENARY GEOLOGICAL SURVEY OF RUSSIA

- A backward glance at the pages of our journal